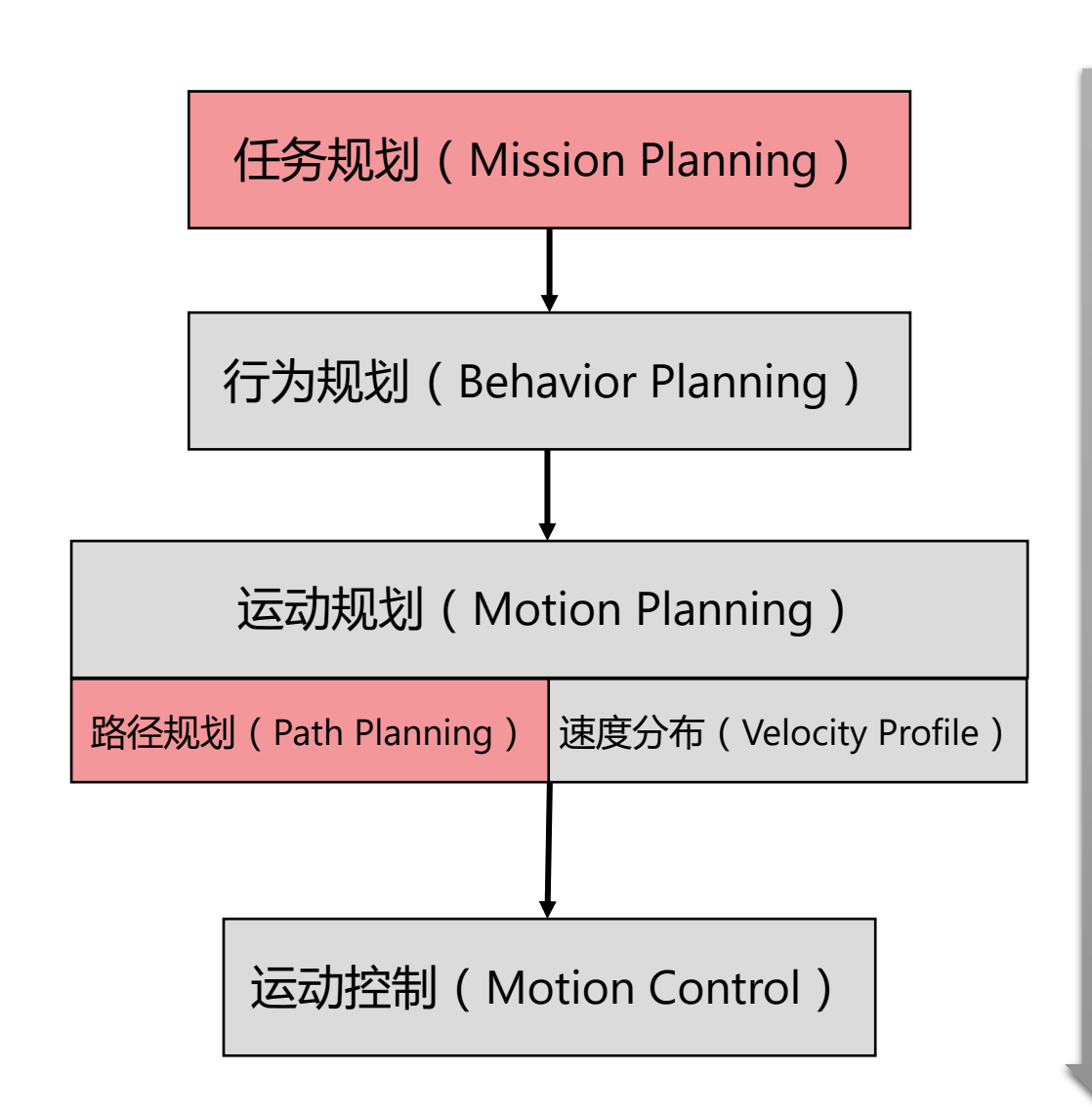


## 层级式自动驾驶规划架构



输入输出抽象程度降运行频率增高

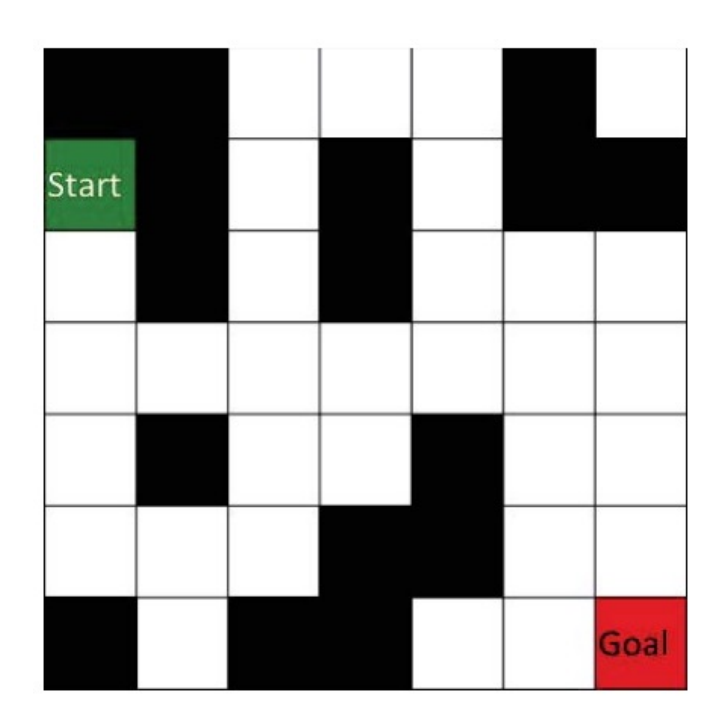
低

# 任务规划、2D路径规划 = 图搜索

路网图

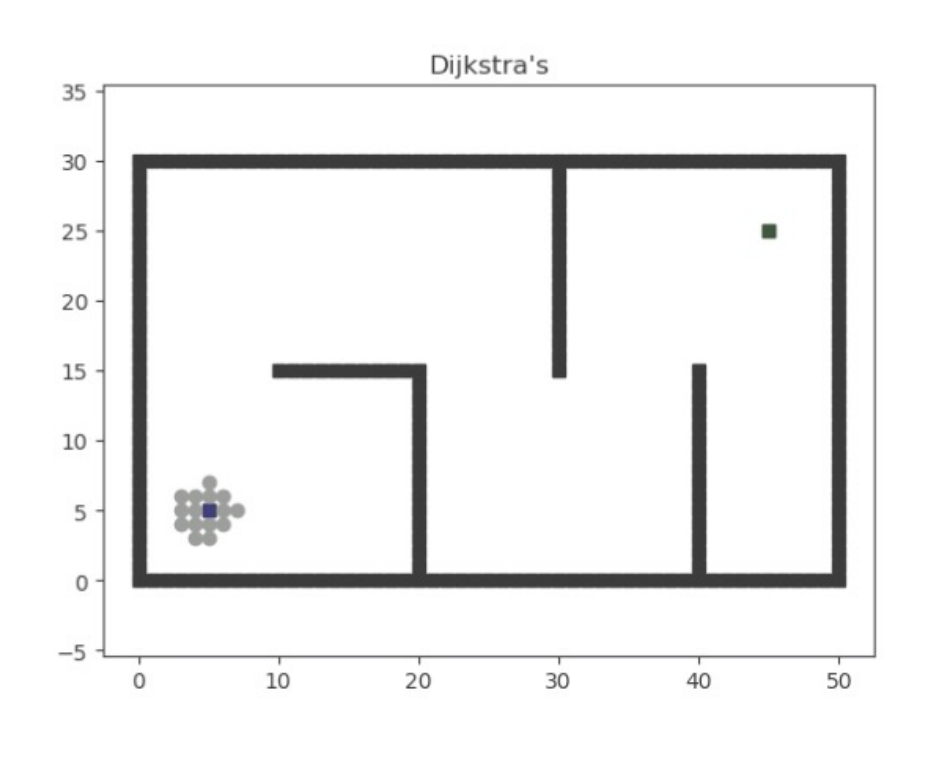


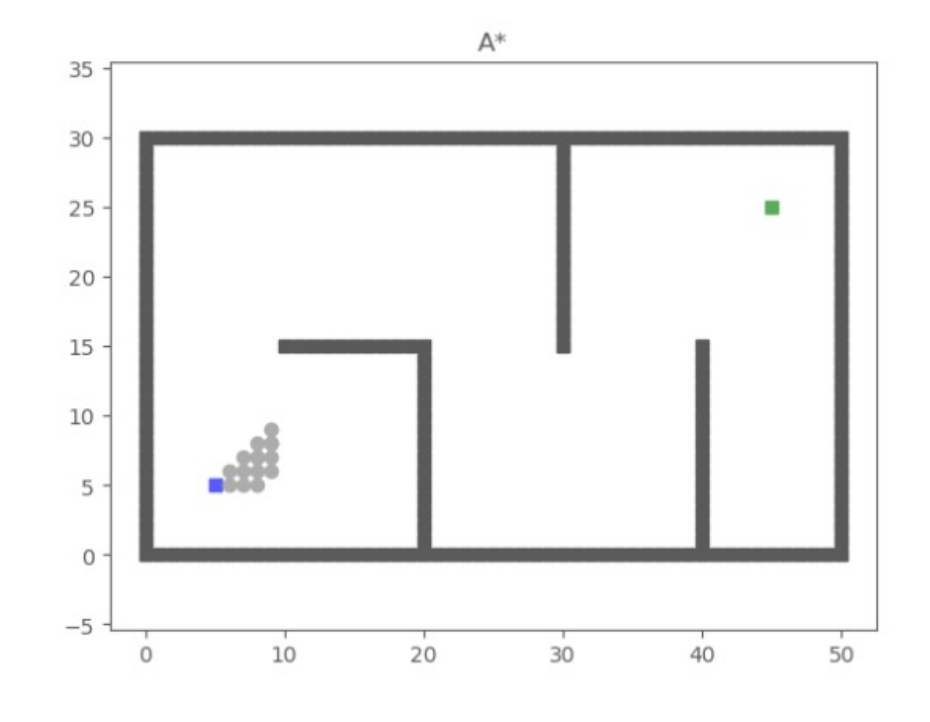
占用栅格

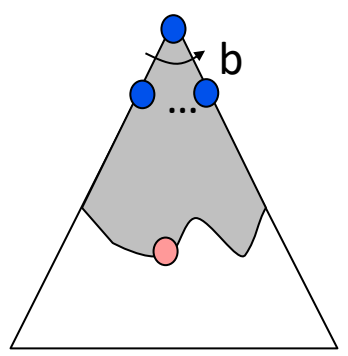


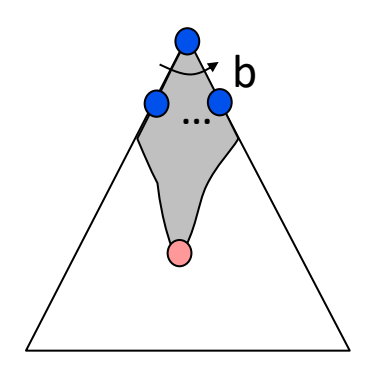
# 静态图中的路径规划:Dijkstra 与 A\*

#### 图片来自 zhm-real



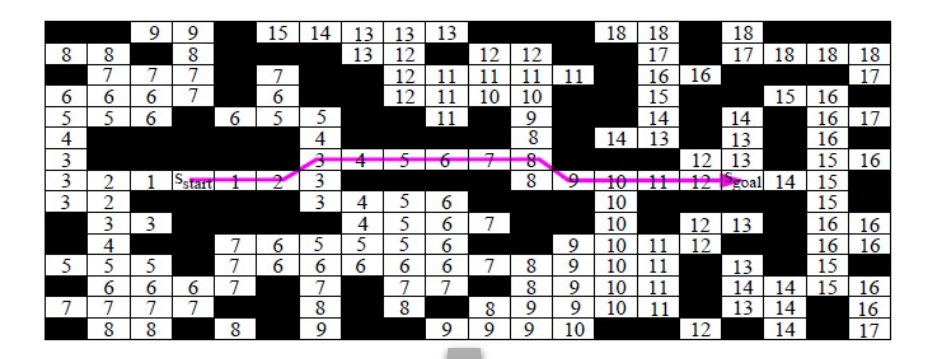


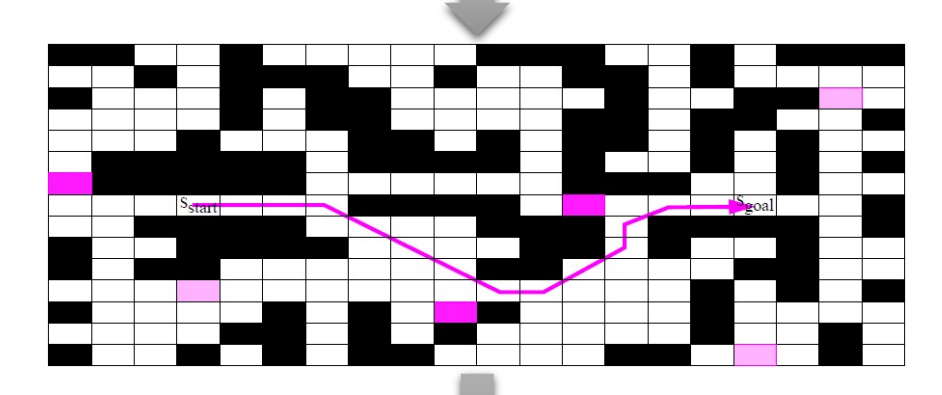


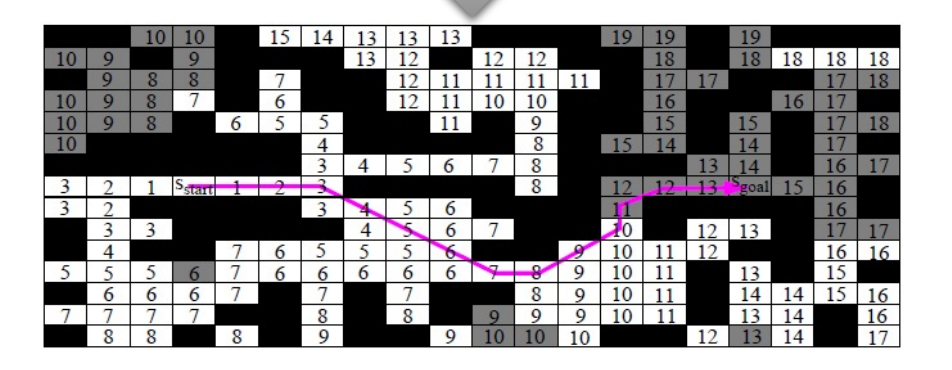


## 动态图中的路径规划:Incremental Search

- 进行A\*搜索,得到初始路径
  - 保存搜索的结果
    - 最优路径
    - 所有已搜索节点的 Cost-to-come
    - 优先队列
- **●** 重复:
  - 执行路径
  - 接收图的局部变化
  - 从最优路径附近出发,拓展和更新局部 不一致的顶点







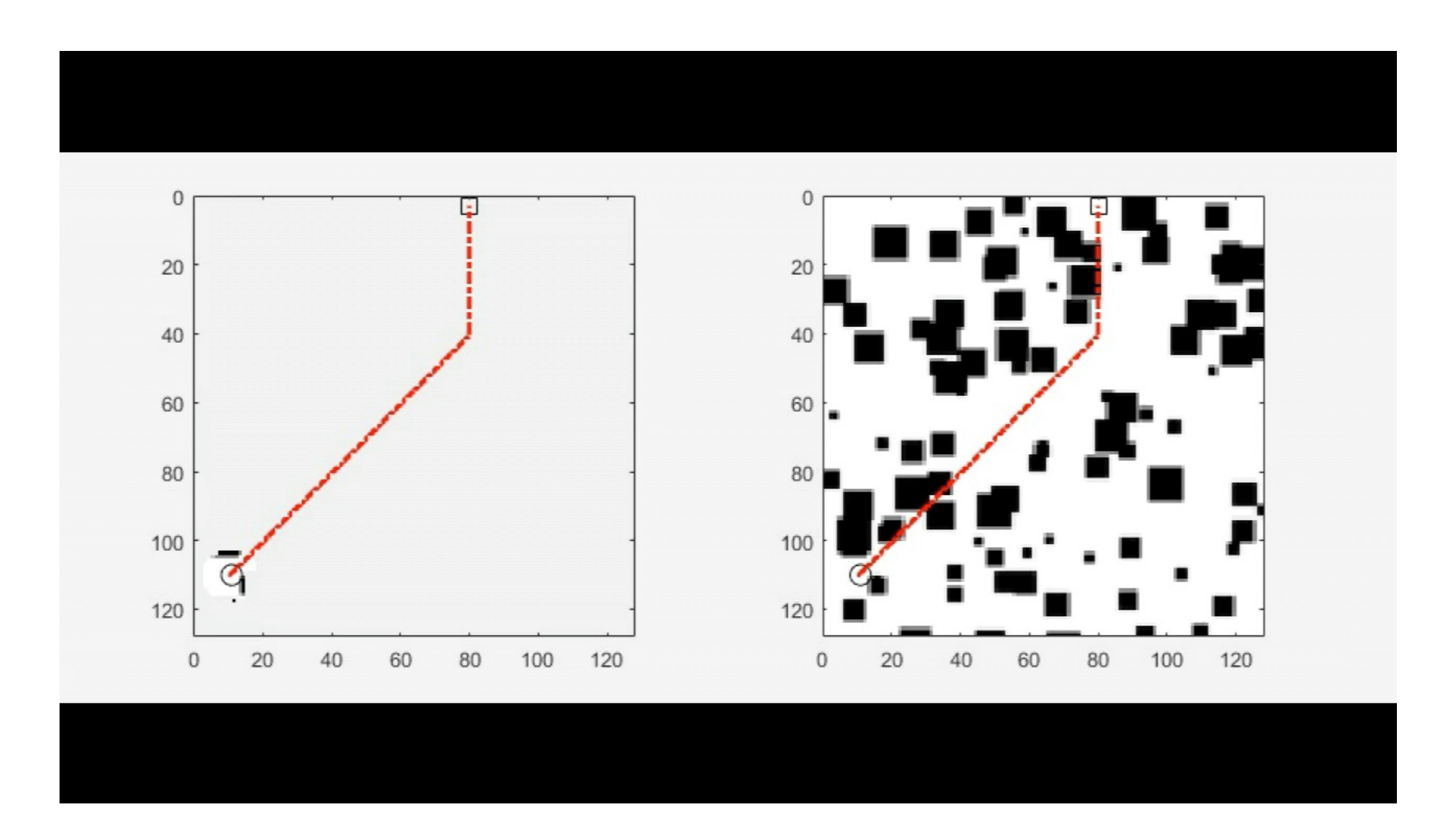
#### 动态图中的路径规划: LPA\*

```
procedure CalculateKey(s)
\{01\} return [\min(g(s), rhs(s)) + h(s, s_{qoal}); \min(g(s), rhs(s))];
                                                                        优先值拆分为两部分: (1)类似 A*; (2)类似 Dijkstra
procedure Initialize()
                                                   当第一次规划时:
\{02\}\ U=\emptyset;
\{03\} for all s \in S \ rhs(s) = g(s) = \infty;
                                                   所有估计成本皆为无穷大 ( 无信息 )
\{04\}\ rhs(s_{start}) = 0;
\{05\} U.Insert(s_{start}, CalculateKey(s_{start}));
                                                   初始扩展队列只有起点
procedure UpdateVertex(u)
                                                                        当顶点加入扩展队列时:
\{06\} \text{ if } (u \neq s_{start}) \ rhs(u) = \min_{s' \in Pred(u)} (g(s') + c(s', u));
                                                                        计算rhs-value
\{07\} if (u \in U) U.Remove(u);
\{08\} if (g(u) \neq rhs(u)) U.Insert(u, CalculateKey(u));
                                                                        检查局部一致性,若不一致,才加入队列并计算优先值
procedure ComputeShortestPath()
                                                                           每次渐进式搜索时:
\{09\} while (U.TopKey() \dot{<} CalculateKey(s_{qoal}) OR rhs(s_{goal}) \neq g(s_{goal}))
                                                                           终止条件
\{10\} u = U.Pop();
\{11\} if (g(u) > rhs(u))
                                                    估计的Cost-to-come过于悲观
{12}
        g(u) = rhs(u);
        for all s \in Succ(u) UpdateVertex(s);
                                                    更新顶点、后继顶点加入扩展队列
{13}
{14}
       else
                                                    估计的Cost-to-come过于乐观
{15}
        g(u) = \infty;
        for all s \in Succ(u) \cup \{u\} UpdateVertex(s); 重置顶点、自身与后继顶点均加入扩展队列
{16}
procedure Main()
                                 主函数入口:
{17} Initialize();
{18} forever
{19} ComputeShortestPath();
                                 LPA* 渐进式搜索
      Wait for changes in edge costs;
{20}
       for all directed edges (u, v) with changed edge costs
{21}
        Update the edge cost c(u, v);
{22}
                                     更新图
{23}
        UpdateVertex(v);
```

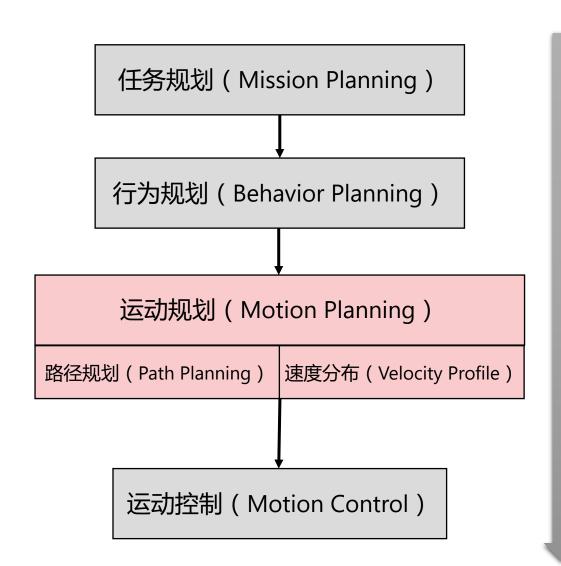
#### D\* Lite

```
procedure CalculateKey(s)
\{01'\} return [\min(g(s), rhs(s)) + h(s_{start}, s) + k_m; \min(g(s), rhs(s))]; 优先值计算 (注意 h 表示 heuristic cost-to-come )
procedure Initialize()
                                                                              当第一次规划时:
\{02'\}\ U = \emptyset;
                                                                              K_m 代表已经走过的路径长度(0)
\{03'\}\ k_m = 0;
                                                                              所有估计成本皆为无穷大(无信息)
\{04'\} for all s \in S \ rhs(s) = g(s) = \infty;
\{05'\}\ rhs(s_{qoal}) = 0;
                                                                              初始扩展队列只有终点
\{06'\} U.Insert(s_{qoal}, CalculateKey(s_{qoal}));
procedure UpdateVertex(u)
                                                                              当顶点加入扩展队列时:
\{07'\} \text{ if } (u \neq s_{goal}) \ rhs(u) = \min_{s' \in Succ(u)} (c(u, s') + g(s'));
                                                                              计算rhs-value (注意 q 表示cost-to-go)
\{08'\} if (u \in U) U.Remove(u);
                                                                              检查局部一致性,若不一致,才加入队列并计算优先值
\{09'\}\ \text{if } (g(u) \neq rhs(u))\ \text{U.Insert}(u, \text{CalculateKey}(u));
procedure ComputeShortestPath()
                                                                              每次渐进式搜索时:
{10'} while (U.TopKey() \dot{\lt} CalculateKey(s_{start}) OR rhs(s_{start}) \neq g(s_{start}))
                                                                              终止条件
{11'} k_{old} = \text{U.TopKey()};
{12'}
      u = U.Pop();
{13'}
       if (k_{old} < \text{CalculateKey}(u))
                                                                              检测到路径成本升高,重新放回扩展队列
{14'}
        U.Insert(u, CalculateKey(u));
{15'}
       else if (g(u) > rhs(u))
                                                                              估计的 cost-to-go 过于悲观
{16'}
         g(u) = rhs(u);
                                                                             更新顶点、前继顶点加入扩展队列
{17'}
         for all s \in Pred(u) UpdateVertex(s);
{18'}
       else
                                                                             估计的 cost-to-go 过于乐观
{19'}
         g(u) = \infty;
                                                                             重置顶点、自身与前继顶点均加入扩展队列
{20'}
         for all s \in Pred(u) \cup \{u\} UpdateVertex(s);
procedure Main()
                                                                       主函数入口:
\{21'\} s_{last} = s_{start};
{22'} Initialize();
{23'} ComputeShortestPath();
                                                                        第一次搜索 (逆向 A* )
\{24'\} while (s_{start} \neq s_{goal})
{25'} /* if (g(s_{start}) = \infty) then there is no known path */
\{26'\} \quad s_{start} = \arg\min_{s' \in Succ(s_{start})} (c(s_{start}, s') + g(s'));
                                                                        移动机器人、更新起点
{27'}
       Move to s_{start};
{28'}
       Scan graph for changed edge costs;
{29'}
       if any edge costs changed
{30'}
         k_{m} = k_{m} + h(s_{last}, s_{start});
                                                                        更新已经走过的路径长度
{31'}
         s_{last} = s_{start};
{32'}
         for all directed edges (u, v) with changed edge costs
                                                                        更新图
{33'}
           Update the edge cost c(u, v);
{34'}
           UpdateVertex(u);
                                                                        D* 渐讲式搜索 ( 逆向 LPA* )
{35'}
         ComputeShortestPath();
```

# 动态图中的路径规划:D\* Lite



## 层级式自动驾驶规划架构



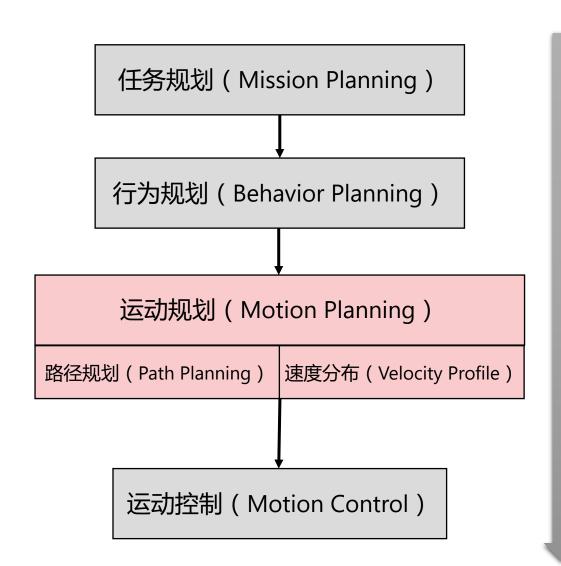
输入输出抽象程度降运行频率增高

低

## 运动规划术语

- 🏻 **轨迹**(trajectory)
  - $\tau(t)$ : 以时间 t 为参数的状态曲线
  - *t*(*t*): 以时间 *t* 为参数的速度曲线
- **路径** (path)
  - $\tau(s)$ : 以弧长 s 为参数的状态曲线
  - 弧长 (arc length ):已经走过的路径长度
    - 速度信息被抹去  $s = \int_0^{t'} |\dot{t}(t)| dt$
    - *t*(*s*) 是切线方向的单位向量
    - *节*(*s*) 是长度为曲率的法向向量
- ◎ 规划问题分类:
  - **轨迹规划** (trajectory planning) 需要输出轨迹  $\tau(t)$
  - 路径规划 (path planning) 只需要输出路径  $\tau(s)$
  - 运动规划 (motion planning ) 可以指代轨迹规划、路径规划、生成沿着路径的速度曲线 v(s)

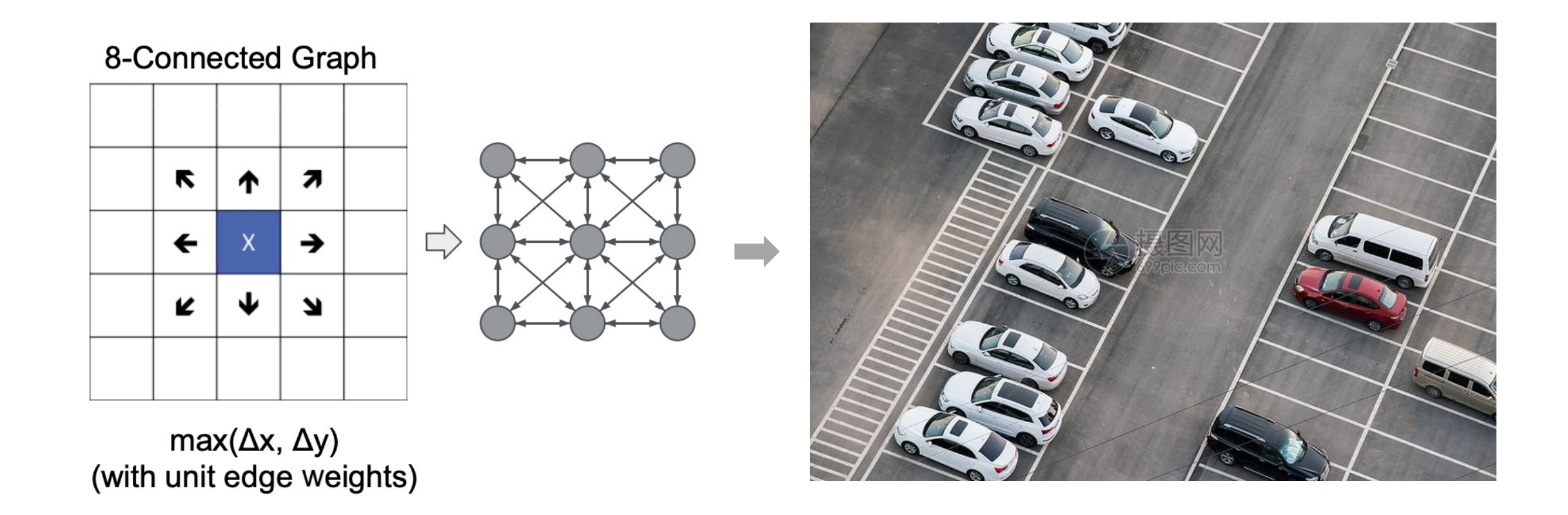
## 层级式自动驾驶规划架构



输入输出抽象程度降运行频率增高

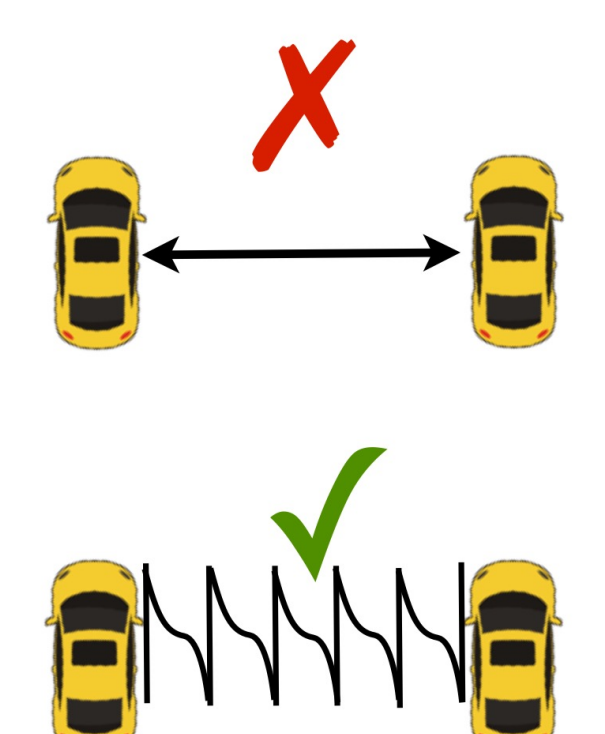
低

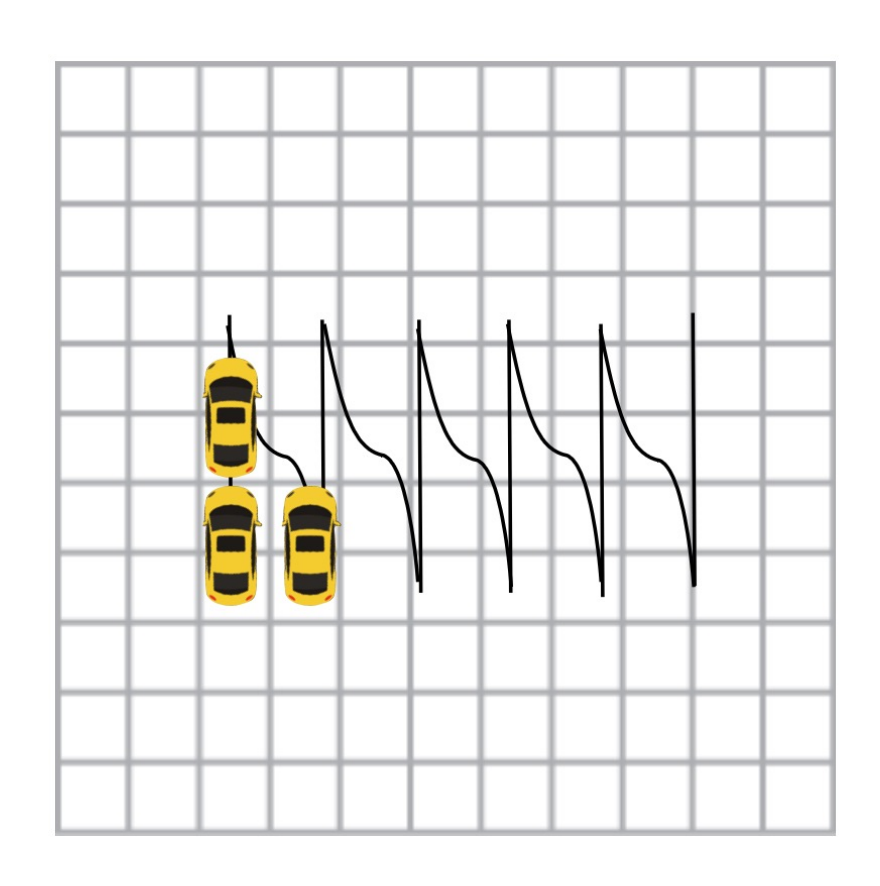
## 用 A\* 或者 D\* Lite 实现车辆路径规划?



## 车辆运动无法直接应用 A\* 与 D\* Lite!

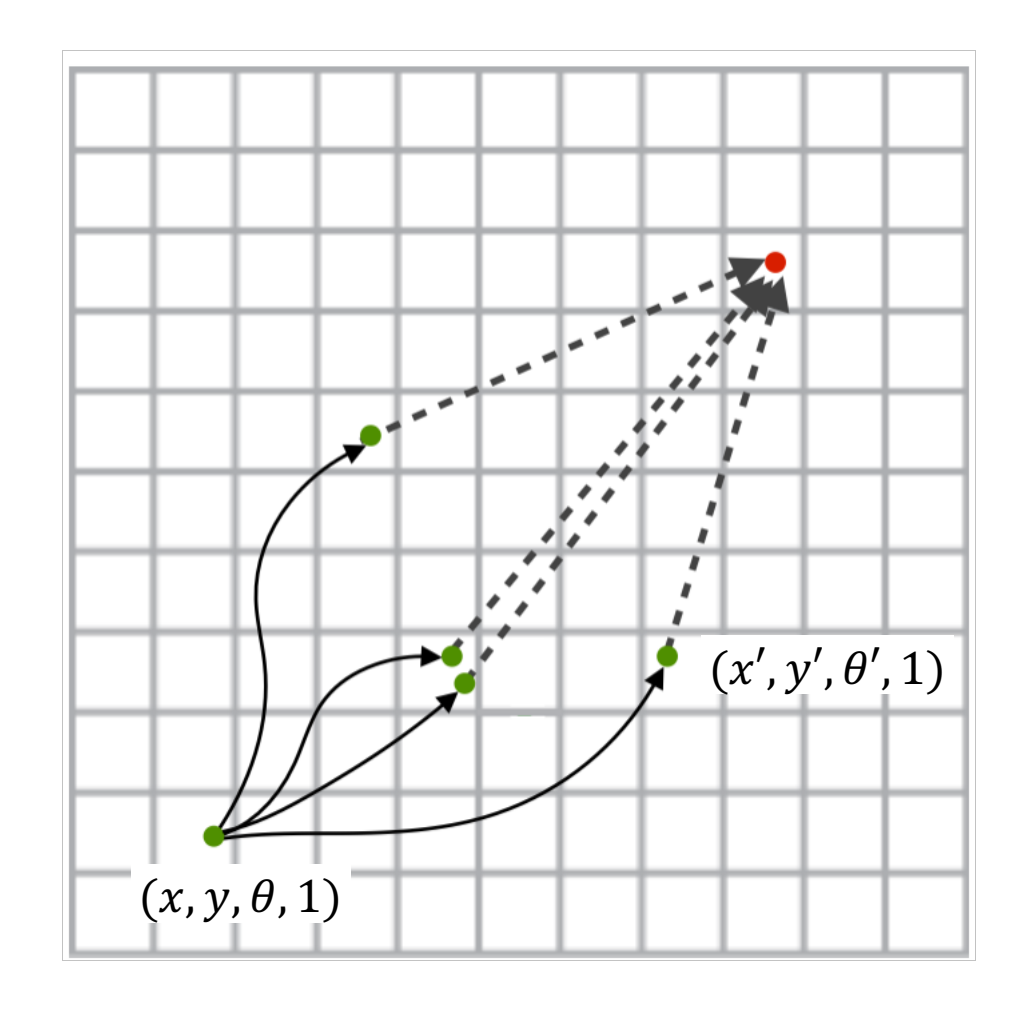
- 车辆运动学具有 nonholonomic constraint, 无法按任意方向平移
- Occupancy grid 的连通性质非常复杂





## Hybrid A\* 算法

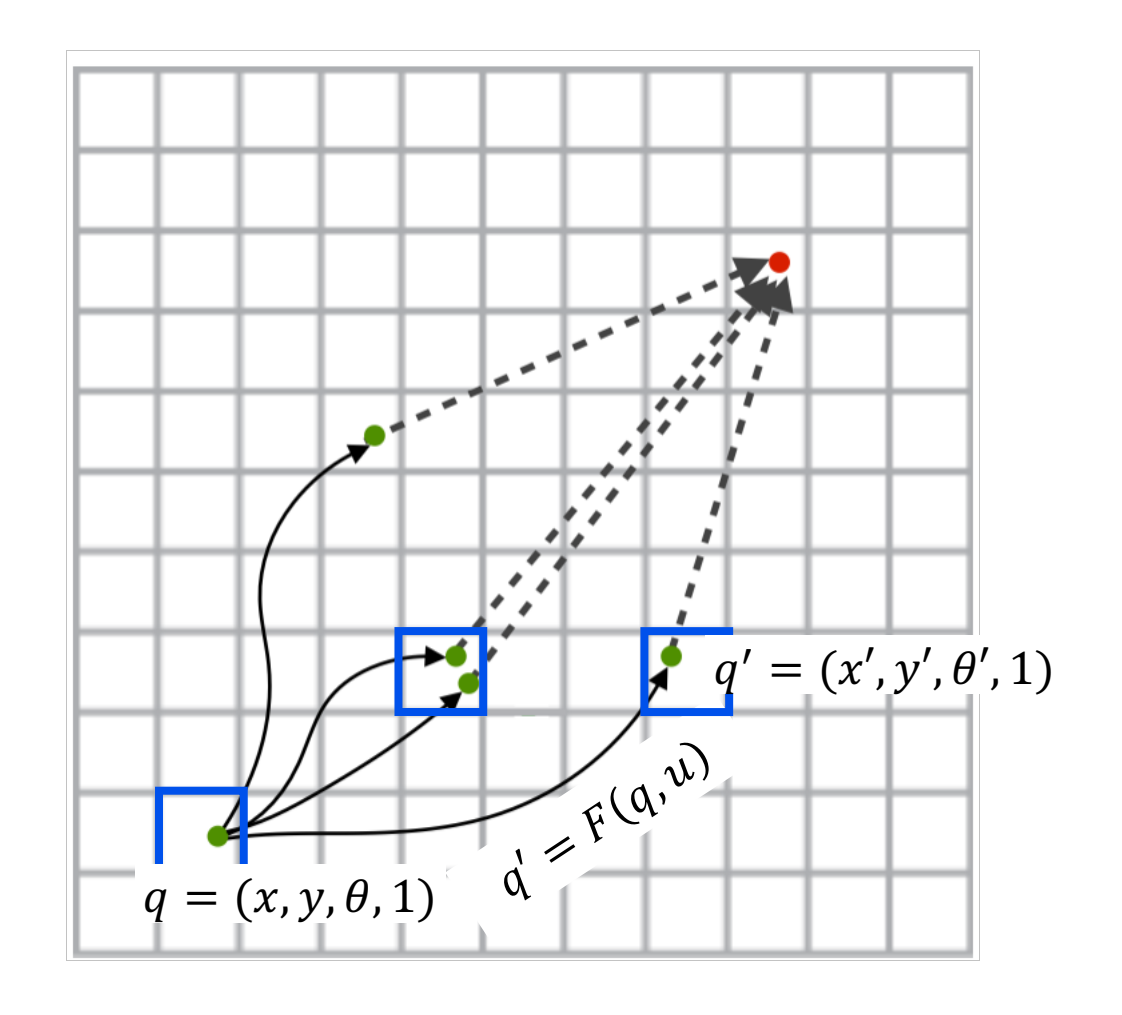
- 栅格搜索: 状态(x, y, θ, dir) 构成的空间被离散化为 4D 栅格
- Hybrid: 每个离散的格子同时保存了一个连续的 车辆状态
  - 格子中心很难被车辆到达
  - 格子中所储存连续状态是车辆可以到达的
  - "Hybrid" 的由来



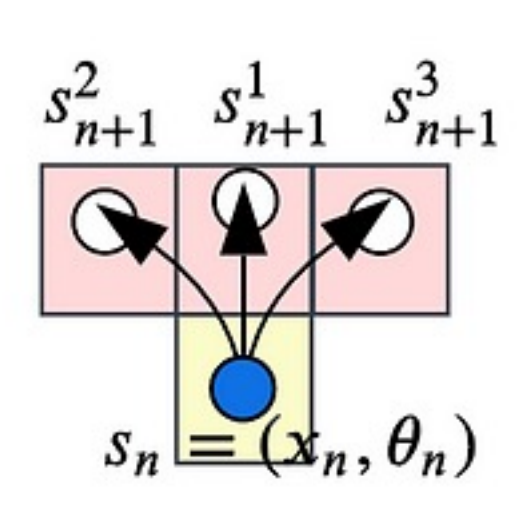
## Hybrid A\* 算法

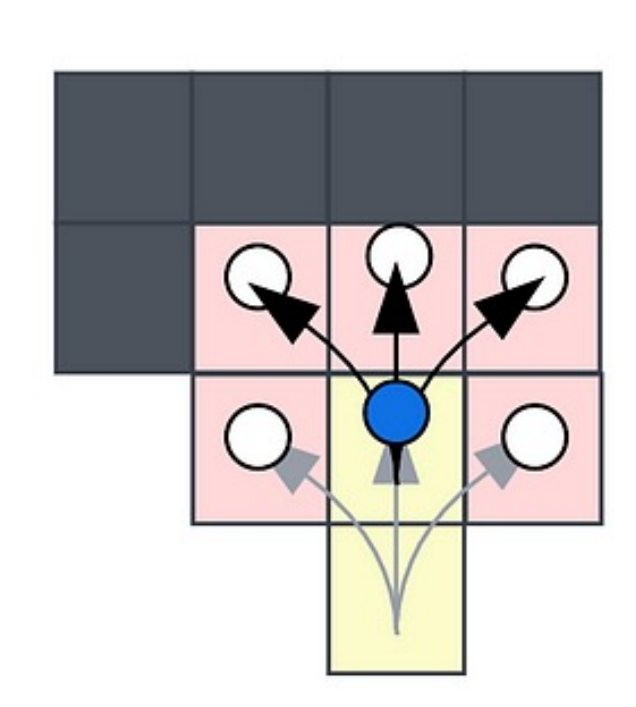
#### ◉ 节点扩展:

- 当前格子  $c_i$  包含连续状态 q
- 运行控制 u 可得到后继状态 q' = F(q, u)
- q' 落入另一个  $c_j$  , 进行如下检测:
  - 若路径  $(c_i, c_j)$  检测到碰撞:
    - 丟弃 *c<sub>j</sub>*
  - 若 *c<sub>i</sub>* 未被访问:
    - 赋值 q'
    - 加入搜索树
  - 若  $c_j$  已经被访问:
    - $c_j$  中储存了另一个  $\hat{q}'$
    - 比较 $f(\hat{q}')$ 与 f(q'), 取最优的状态

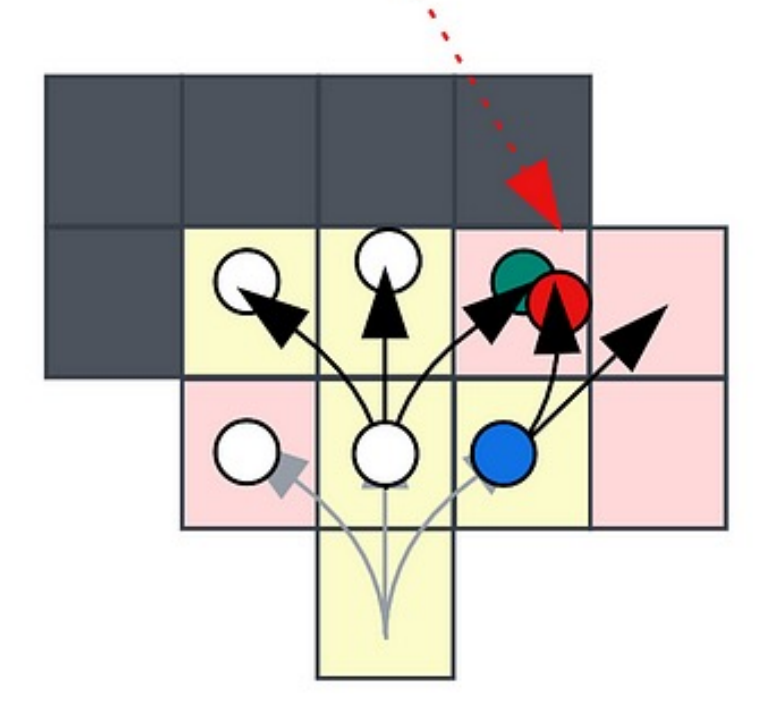


# Hybrid A\* 树扩展





比较 f(q) = g(q) + h(q)只保留最优的 q



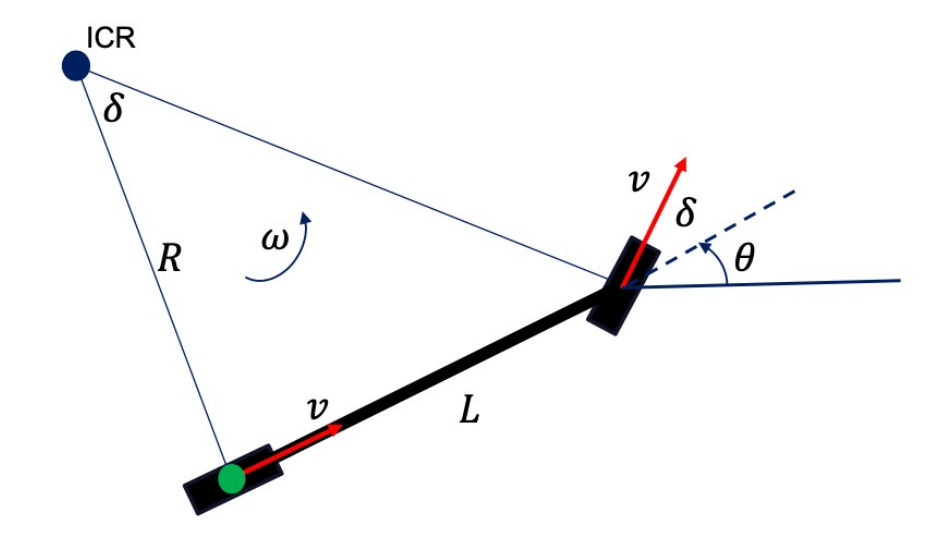
## 扩展轨迹 q' = F(q, u)

#### ◎ 离散时间的自行车模型展开

$$x_n = x_{n-1} + v_{n-1}\cos(\theta_{n-1})\,\Delta t$$

$$y_n = x_{n-1} + v_{n-1}\sin(\theta_{n-1})\,\Delta t$$

$$\theta_n = \theta_{n-1} + \frac{v_{n-1} \tan(\delta_{n-1})}{L} \Delta t$$



$$\dot{x} = v \cos(\theta)$$

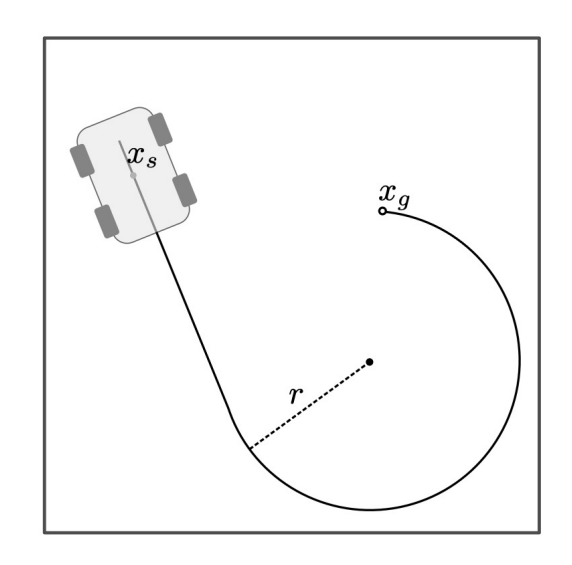
$$\dot{y} = v \sin(\theta)$$

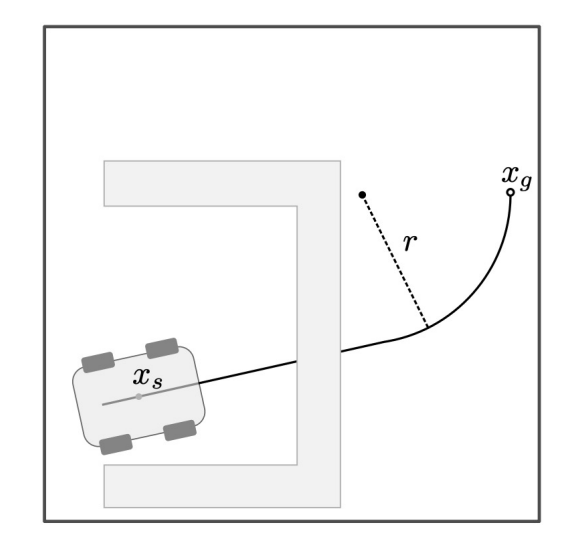
$$\dot{\theta} = \frac{v \tan(\delta)}{L}$$

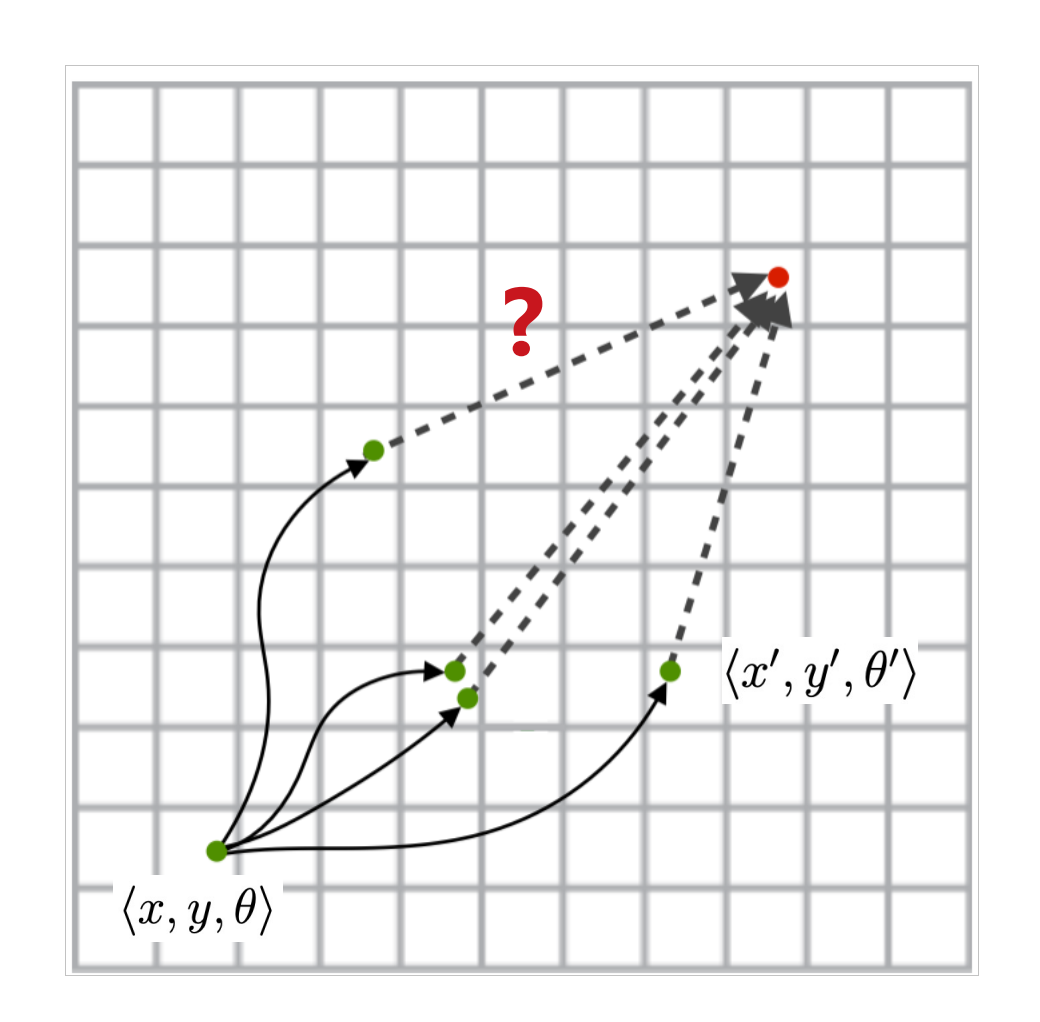
$$\delta_{min} \le \delta \le \delta_{max}$$

$$v_{min} \le v \le v_{max}$$

- ◎ 欧氏距离可用,但不好用
- 启发函数 <- relaxed problem</p>
- **圖启发1**: Nonholonomic without obstacles  $h_1$ 
  - 保持非完整约束
  - 去掉所有障碍物







图片来自 Karl's master thesis

### Dubins Car 简化模型

#### ◉ 自行车模型:

$$\dot{x_r} = v \cos \theta$$

$$\dot{y_r} = v \sin \theta$$

$$\dot{\theta} = \frac{v \tan \phi}{L}$$

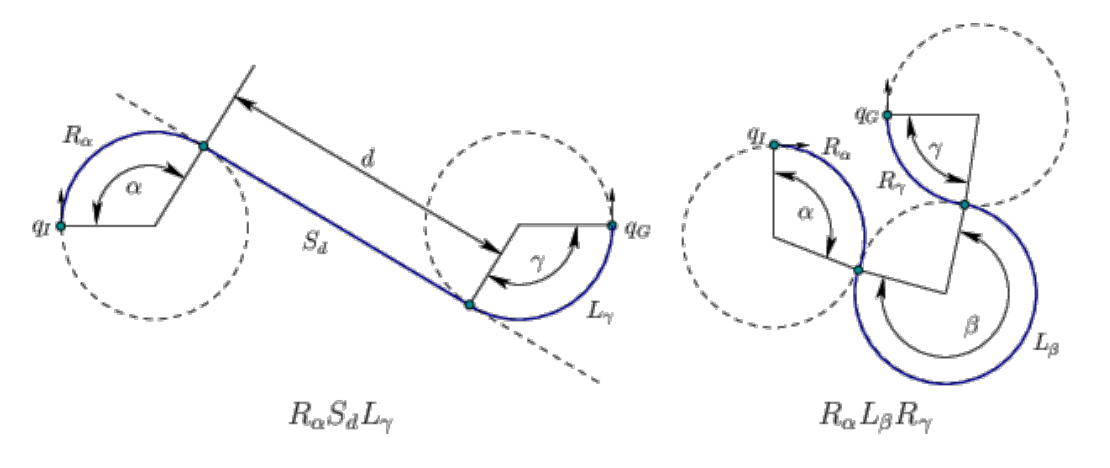
Dubins Car: 当只采用恒定速度和最大转向角时,运动学模型可以简化为:

$$\dot{x_r} = v_0 \cos \theta$$

$$\dot{y_r} = v_0 \sin \theta$$

$$\dot{\theta} = \frac{u}{r_{min}}, u \in \{v_0, 0, -v_0\}$$

Dubins Curve: Dubins car 从任意起点状态到任意终点状态的最短路径



### Dubins Curves 最短路径

#### ON CURVES OF MINIMAL LENGTH WITH A CONSTRAINT ON AVERAGE CURVATURE, AND WITH PRESCRIBED INITIAL AND TERMINAL POSITIONS AND TANGENTS.\*1

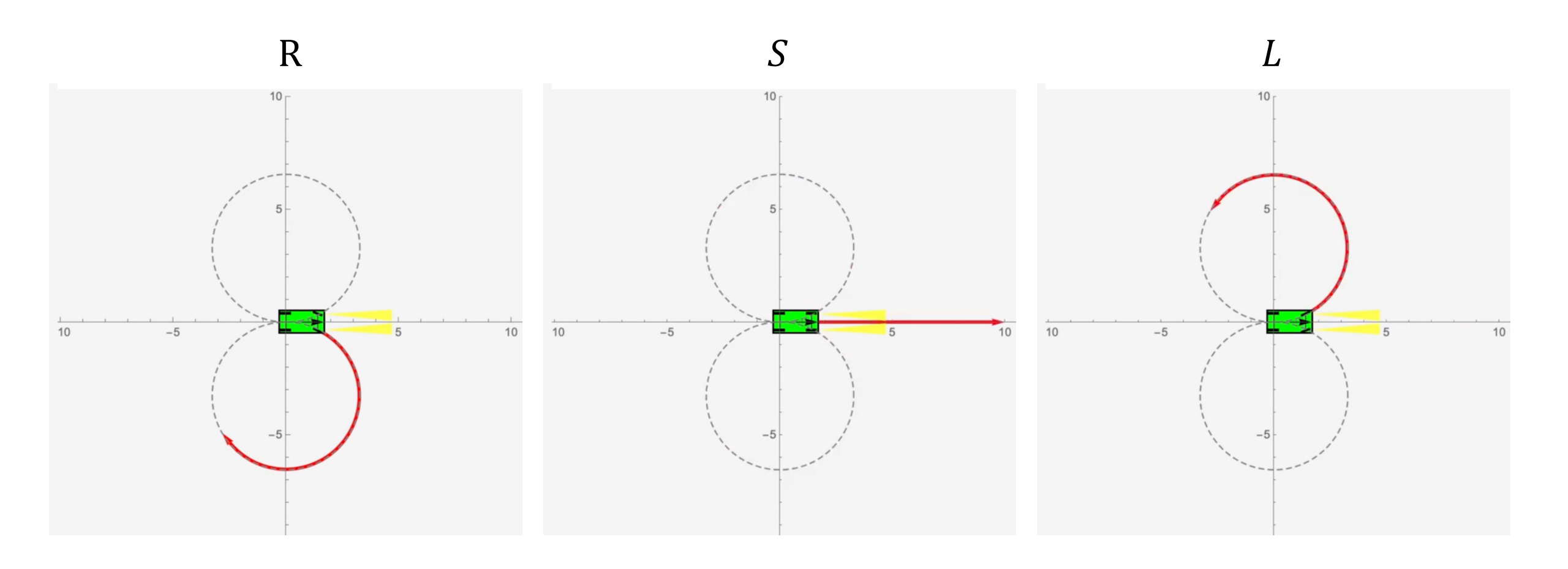
By L. E. Dubins.

6. Principal result. We wish to show that a planar R-geodesic is necessarily a very special curve, i. e. a continuously differentiable curve which consists of at most three pieces, each of which is either a straight line seg-

ment or an arc of a circle of radius R. Errett Bishop pointe author that in view of Proposition 13 it is sufficient to show the which consists of four such pieces can be an R-geodesic.

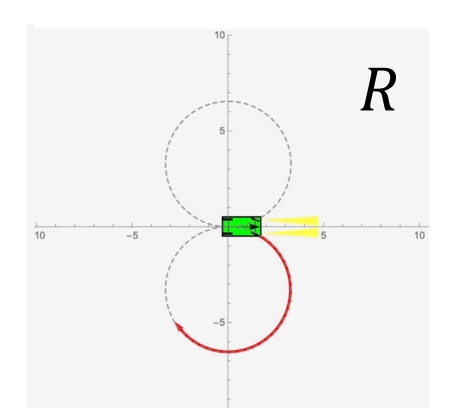
Let us designate a continuously differentiable curve by CC0 that it consists of precisely four arcs of circles of radius R. Sin designate by CLCL a continuously differentiable curve which

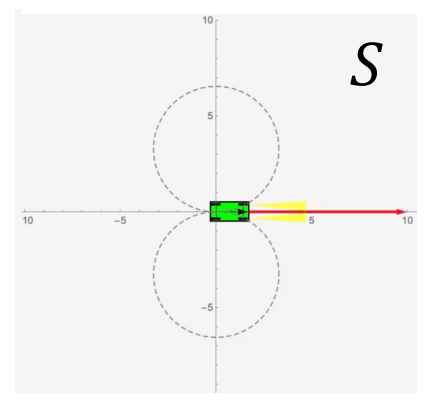
#### **Dubins Curves Motion Primitives**

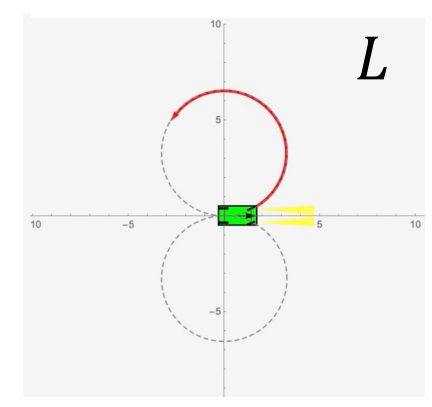


#### Dubins Curves 24 种可能性

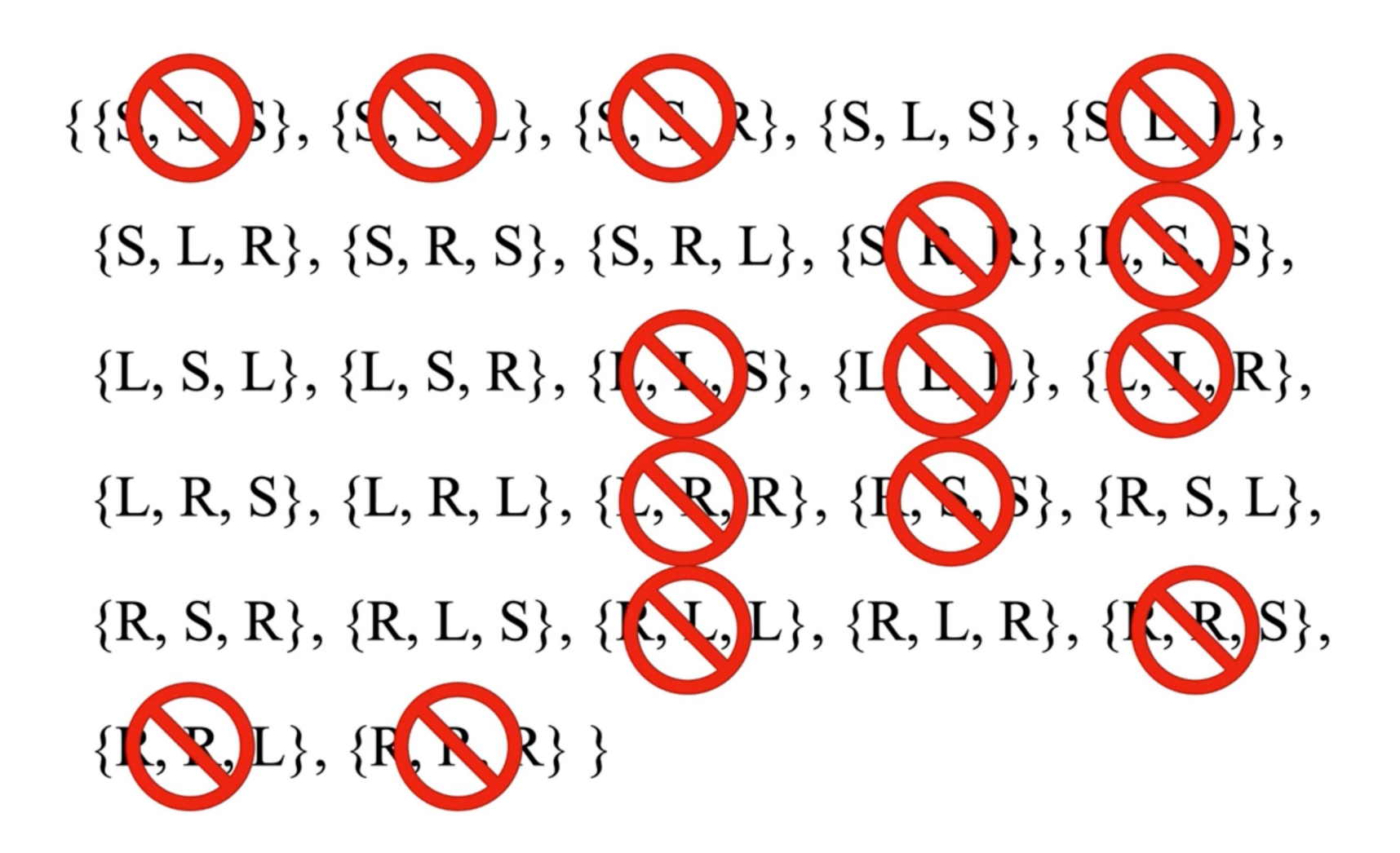
 $\{\{S, S, S\}, \{S, S, L\}, \{S, S, R\}, \{S, L, S\}, \{S, L, L\},$ {S, L, R}, {S, R, S}, {S, R, L}, {S, R, R}, {L, S, S},  $\{L, S, L\}, \{L, S, R\}, \{L, L, S\}, \{L, L, L\}, \{L, L, R\},$  $\{L, R, S\}, \{L, R, L\}, \{L, R, R\}, \{R, S, S\}, \{R, S, L\},$  $\{R, S, R\}, \{R, L, S\}, \{R, L, L\}, \{R, L, R\}, \{R, R, S\},$  $\{R, R, L\}, \{R, R, R\}\}$ 

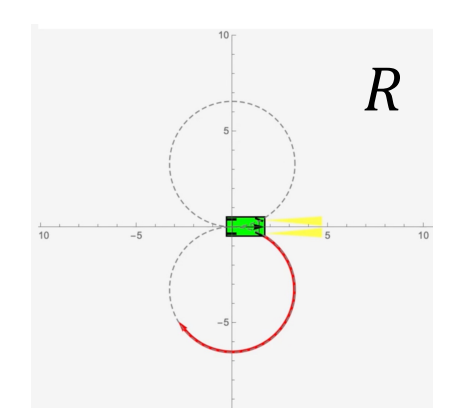


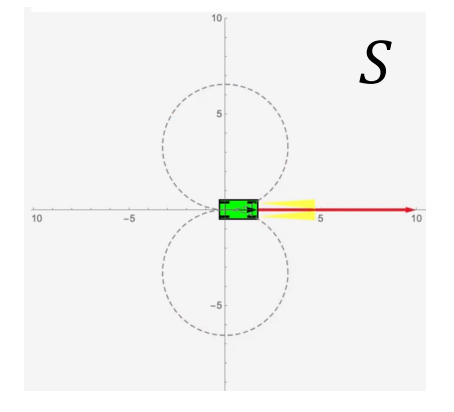


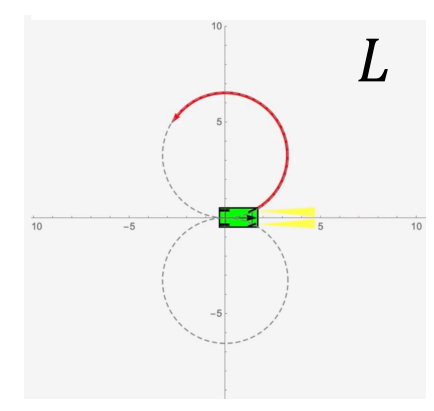


#### Dubins Curves 12 种可能性









## Dubins Curves 12 种可能性





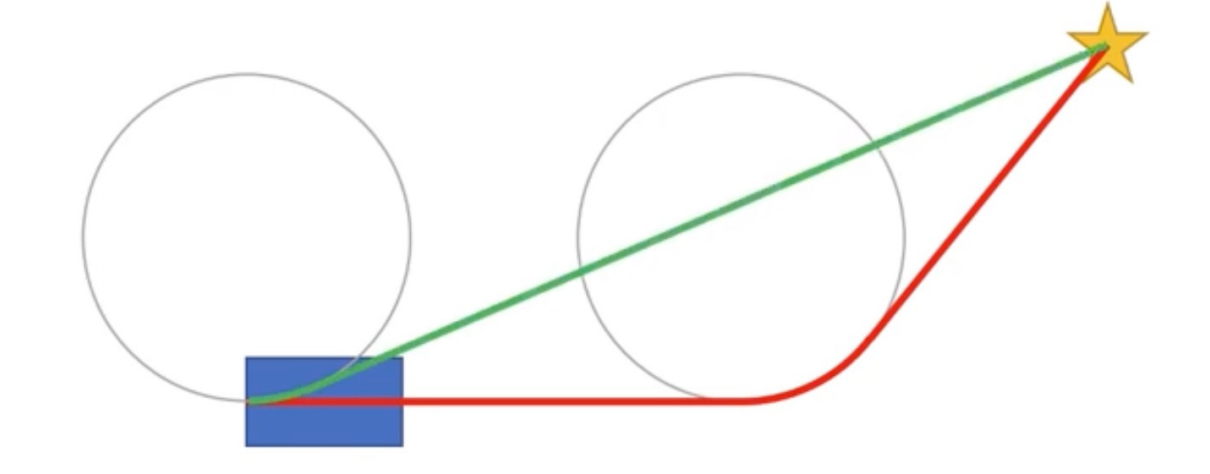
 $\{L, S, L\},\$ 

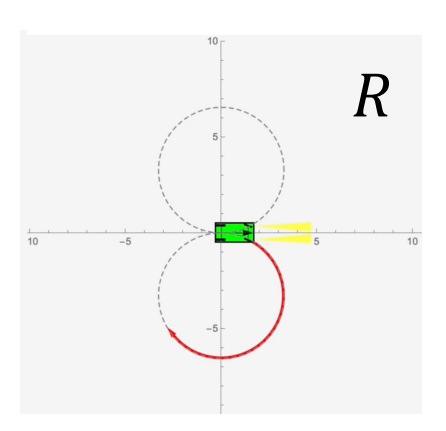
 $\{L, R, S\},\$ 

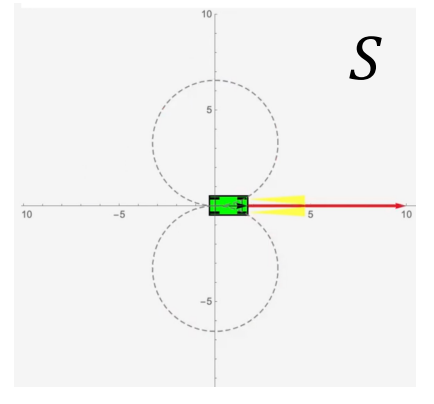
 $\{R, S, R\},$ 

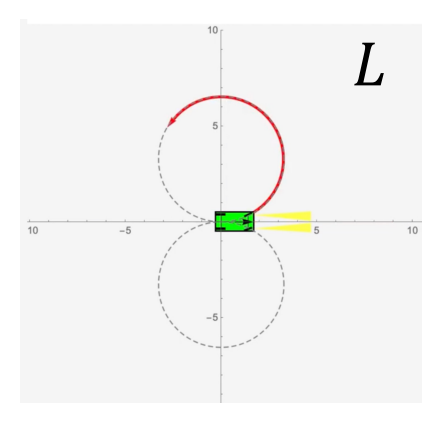




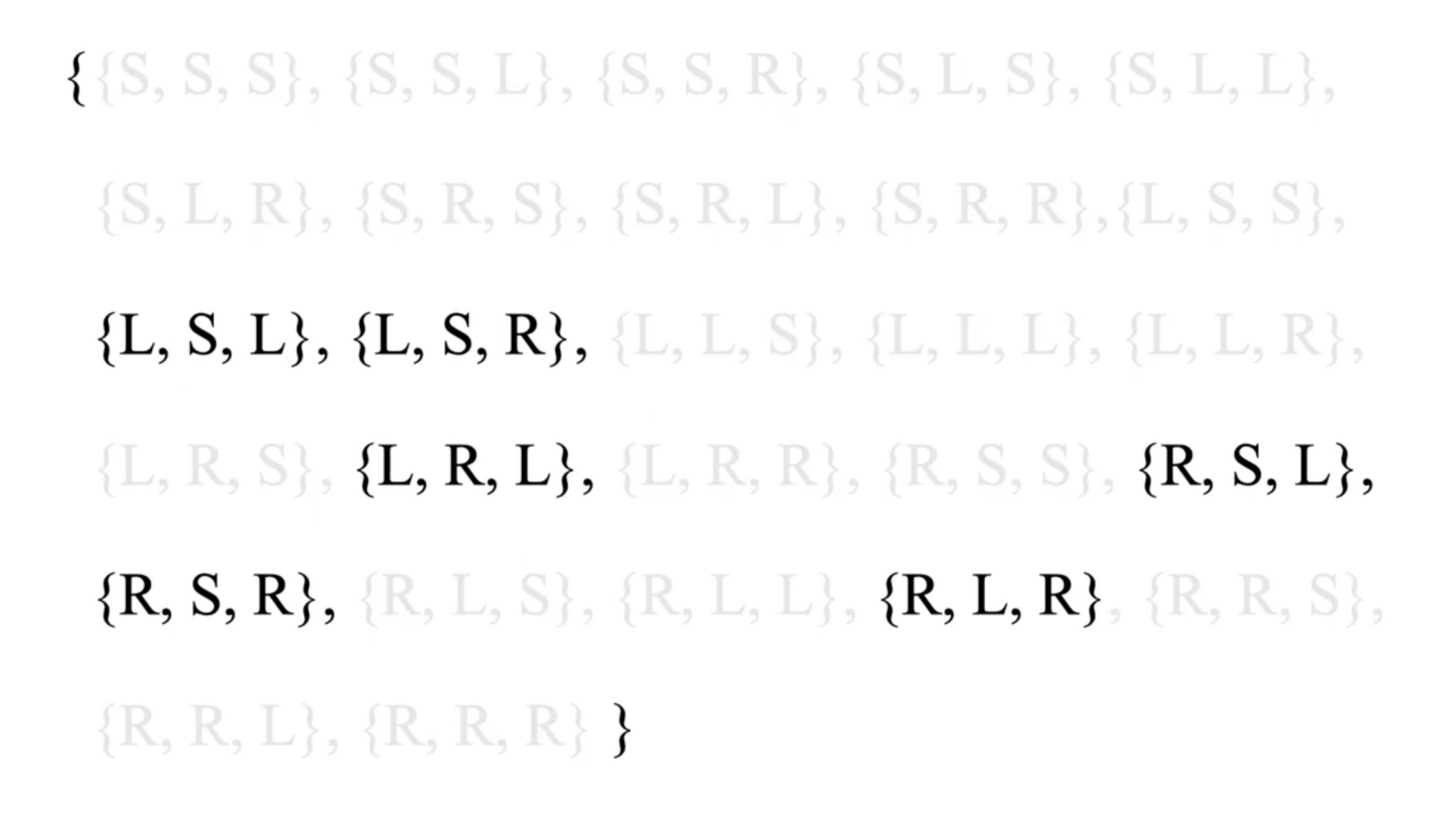


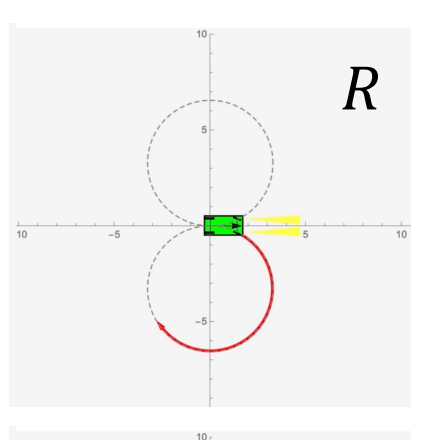


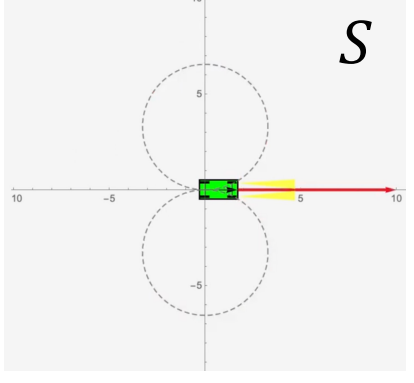


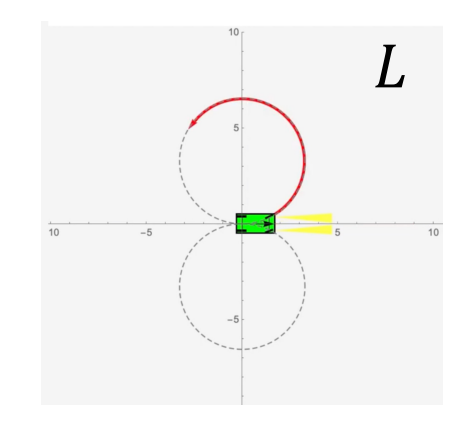


#### **Dubins Curves 6 种可能性**

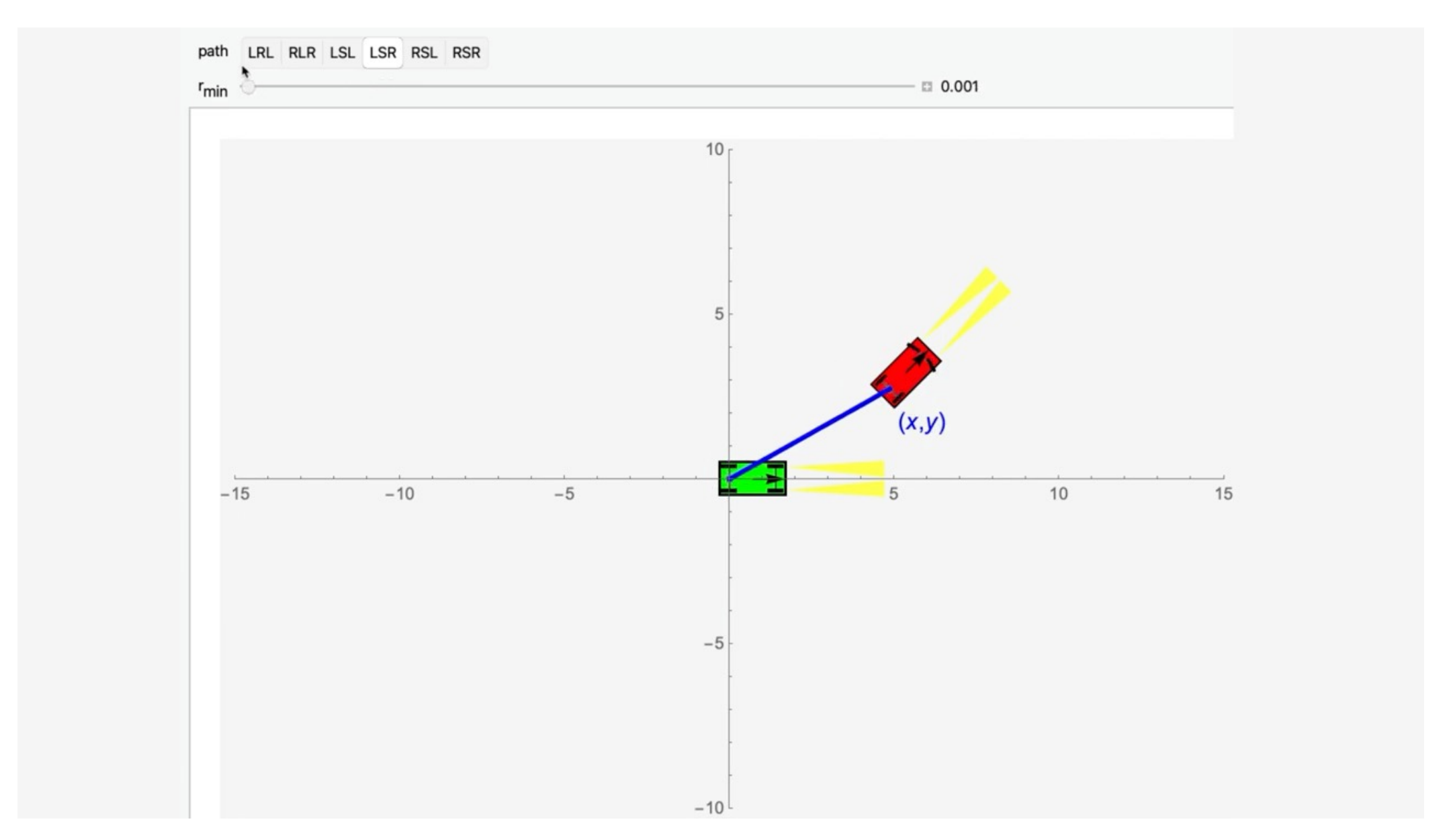








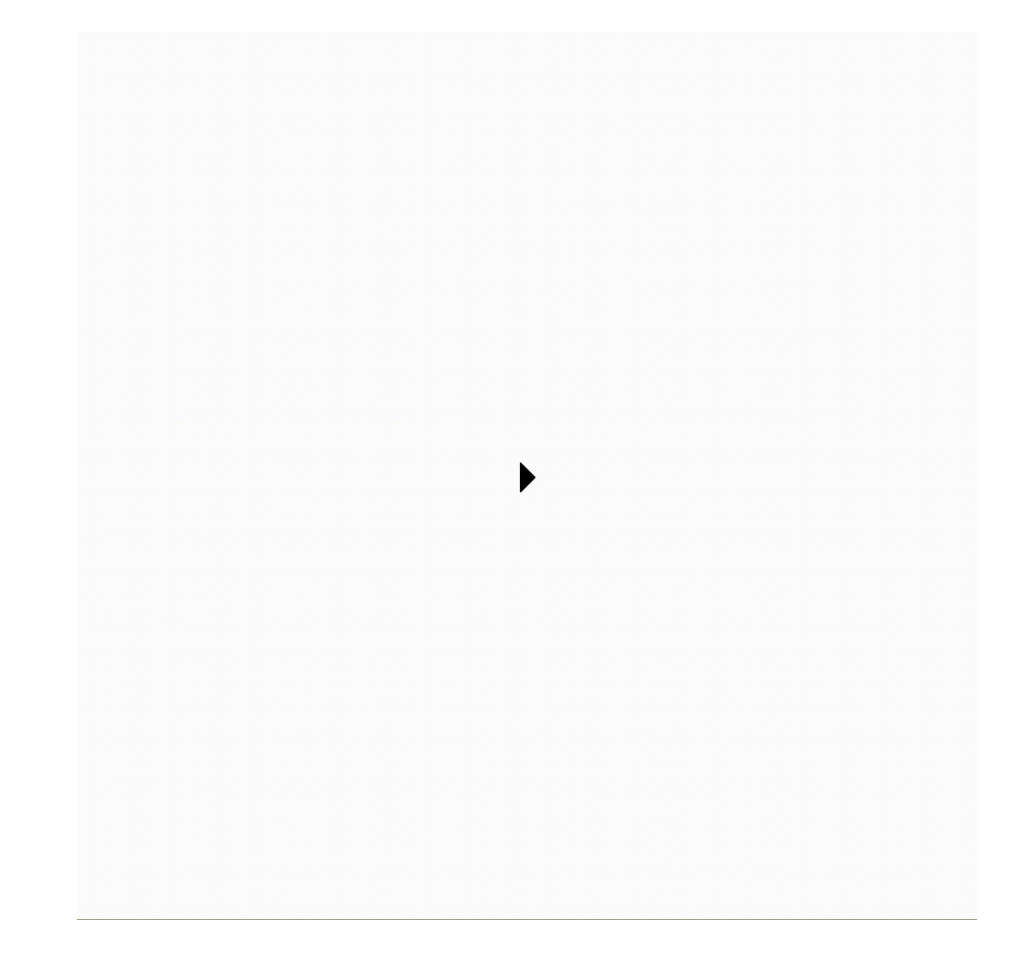
## Dubins Curves 演示



#### **Reeds-Shepp Curves**

#### ● 当 Dubins car 额外允许倒车时,有48(46)种组合:

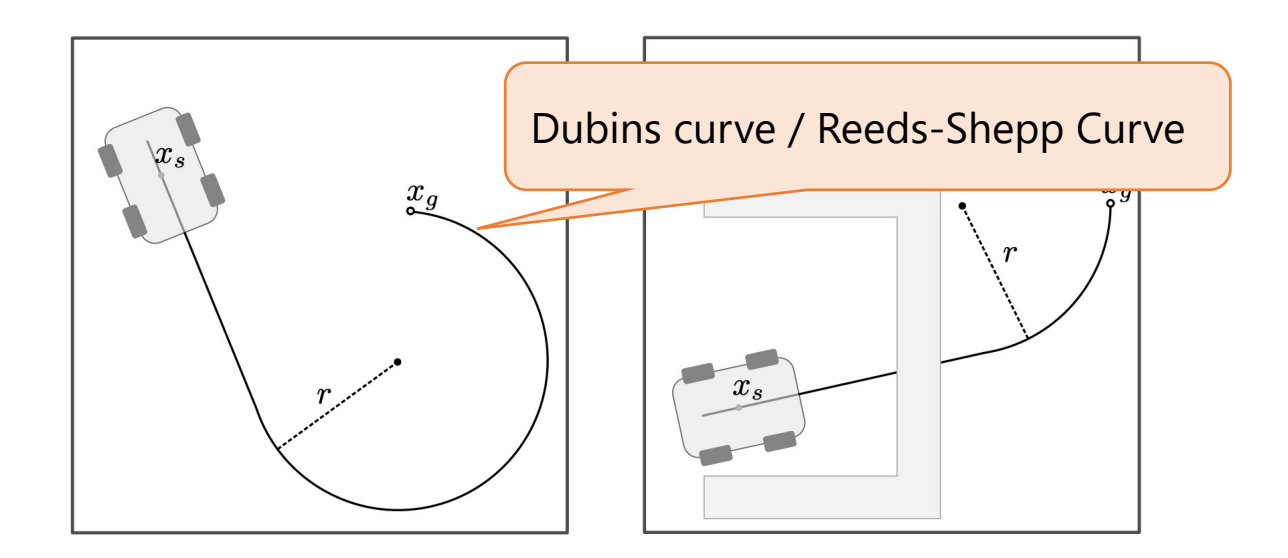
Base word	Sequences of motion primitives
C C C	$(L^{+}R^{-}L^{+})(L^{-}R^{+}L^{-})(R^{+}L^{-}R^{+})(R^{-}L^{+}R^{-})$
CC C	$(L^{+}R^{+}L^{-})(L^{-}R^{-}L^{+})(R^{+}L^{+}R^{-})(R^{-}L^{-}R^{+})$
C CC	$(L^{+}R^{-}L^{-})(L^{-}R^{+}L^{+})(R^{+}L^{-}R^{-})(R^{-}L^{+}R^{+})$
CSC	$(L^{+}S^{+}L^{+})(L^{-}S^{-}L^{-})(R^{+}S^{+}R^{+})(R^{-}S^{-}R^{-})$
	$(L^{+}S^{+}R^{+})(L^{-}S^{-}R^{-})(R^{+}S^{+}L^{+})(R^{-}S^{-}L^{-})$
$CC_{\beta} C_{\beta}C$	$(L^{+}R_{\beta}^{+}L_{\beta}^{-}R^{-})(L^{-}R_{\beta}^{-}L_{\beta}^{+}R^{+})(R^{+}L_{\beta}^{+}R_{\beta}^{-}L^{-})(R^{-}L_{\beta}^{-}R_{\beta}^{+}L^{+})$
$C C_{\beta}C_{\beta} C$	$(L^{+}R_{\beta}^{-}L_{\beta}^{-}R^{+})(L^{-}R_{\beta}^{+}L_{\beta}^{+}R^{-})(R^{+}L_{\beta}^{-}R_{\beta}^{-}L^{+})(R^{-}L_{\beta}^{+}R_{\beta}^{+}L^{-})$
$C C_{\pi/2}SC$	$(L^{+}R_{\pi/2}^{-}S^{-}R^{-})(L^{-}R_{\pi/2}^{+}S^{+}R^{+})(R^{+}L_{\pi/2}^{-}S^{-}L^{-})(R^{-}L_{\pi/2}^{+}S^{+}L^{+})$
	$\frac{(L^{+}R_{\pi/2}^{-}S^{-}R^{-})(L^{-}R_{\pi/2}^{+}S^{+}R^{+})(R^{+}L_{\pi/2}^{-}S^{-}L^{-})(R^{-}L_{\pi/2}^{+}S^{+}L^{+})}{(L^{+}R_{\pi/2}^{-}S^{-}L^{-})(L^{-}R_{\pi/2}^{+}S^{+}L^{+})(R^{+}L_{\pi/2}^{-}S^{-}R^{-})(R^{-}L_{\pi/2}^{+}S^{+}R^{+})}$
$CSC_{\pi/2} C$	$\left[ (L^{+}S^{+}L_{\pi/2}^{+}R^{-})(L^{-}S^{-}L_{\pi/2}^{-}R^{+})(R^{+}S^{+}R_{\pi/2}^{+}L^{-})(R^{-}S^{-}R_{\pi/2}^{-}L^{+}) \right]$
	$ (R^{+}S^{+}L_{\pi/2}^{+}R^{-})(R^{-}S^{-}L_{\pi/2}^{-}R^{+})(L^{+}S^{+}R_{\pi/2}^{+}L^{-})(L^{-}S^{-}R_{\pi/2}^{-}L^{+}) $
$C C_{\pi/2}SC_{\pi/2} C$	$(L^{+}R_{\pi/2}^{-}S^{-}L_{\pi/2}^{-}R^{+})(L^{-}R_{\pi/2}^{+}S^{+}L_{\pi/2}^{+}R^{-})$
	$(R^{+}L_{\pi/2}^{-}S^{-}R_{\pi/2}^{-}L^{+})(R^{-}L_{\pi/2}^{+}S^{+}R_{\pi/2}^{+}L^{-})$

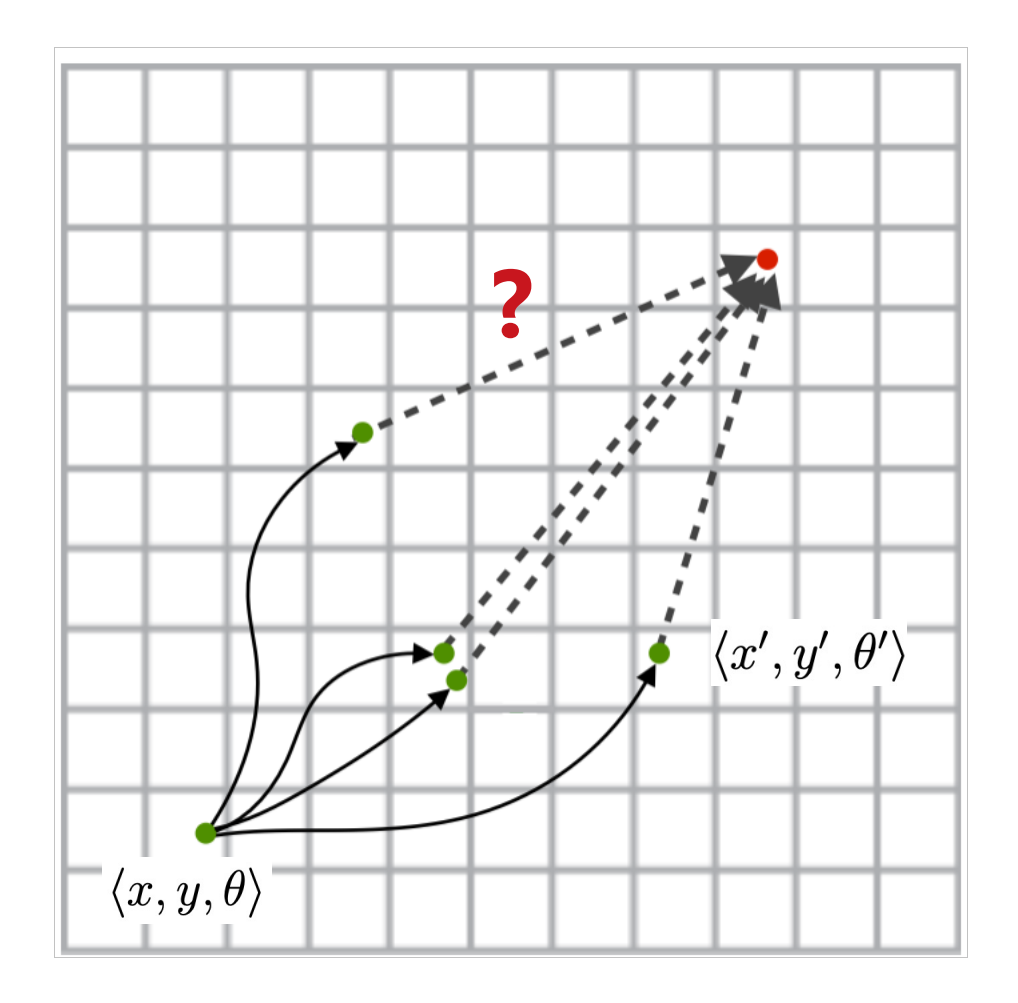


https://lavalle.pl/planning/node822.html

https://github.com/nathanlct/reeds-shepp-curves

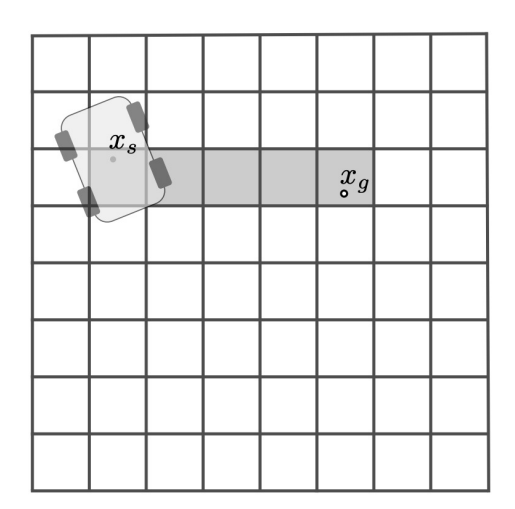
- 启发函数 <- relaxed problem</p>
- **圖启发1**: Nonholonomic without obstacles  $h_1$ 
  - 保持非完整约束
  - 去掉所有障碍物

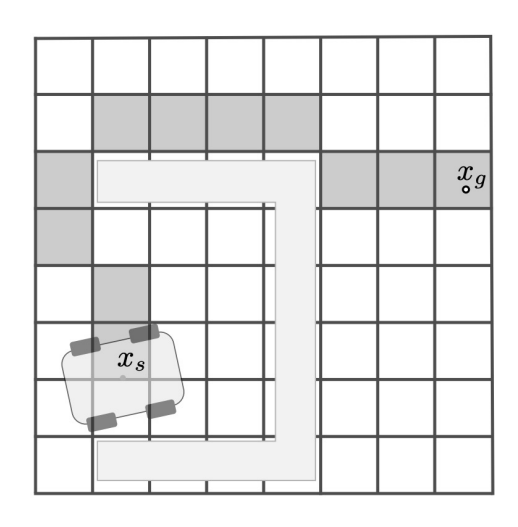


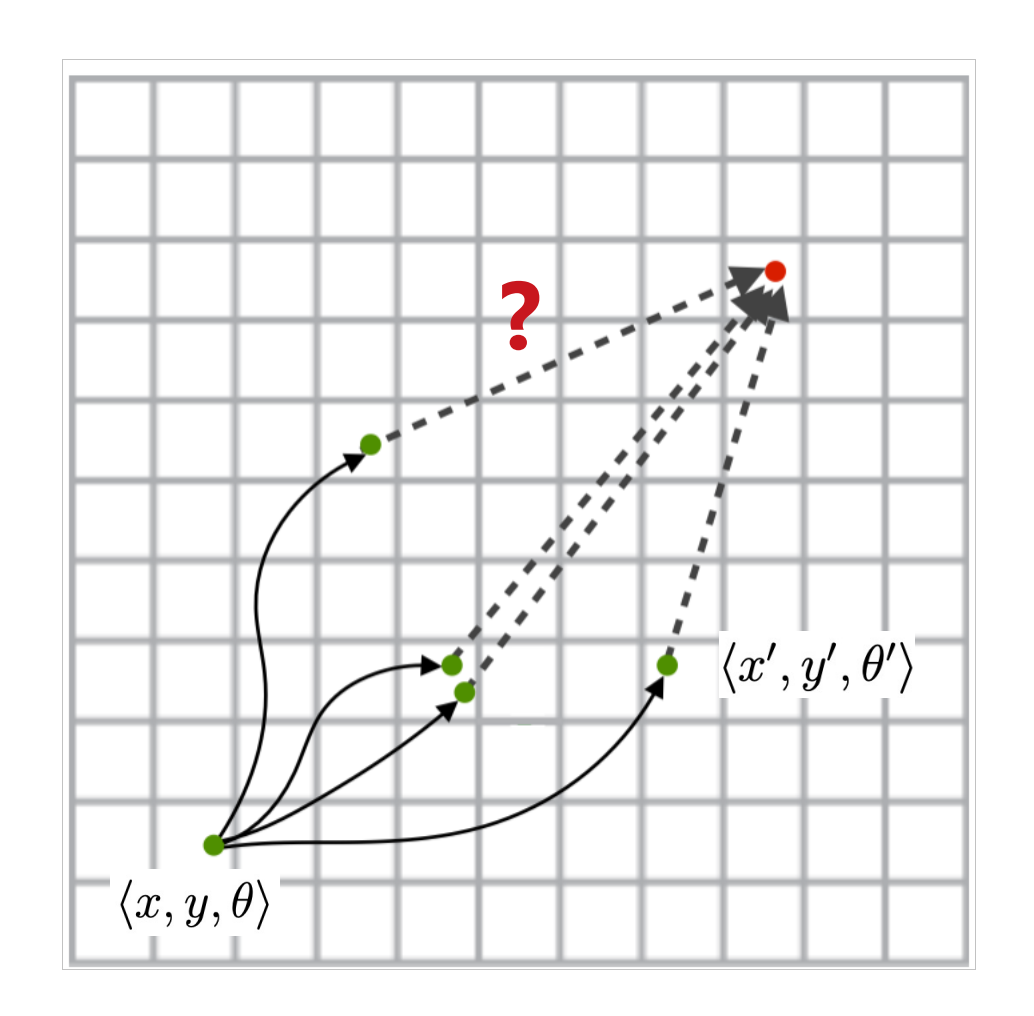


图片来自 Karl's master thesis

- ●启发函数 <- relaxed problem
- 高发2: Holonomic with obstacles h<sub>2</sub>
  - 去掉运动学限制
  - 保留障碍物
  - -> A\* , D\* Lite





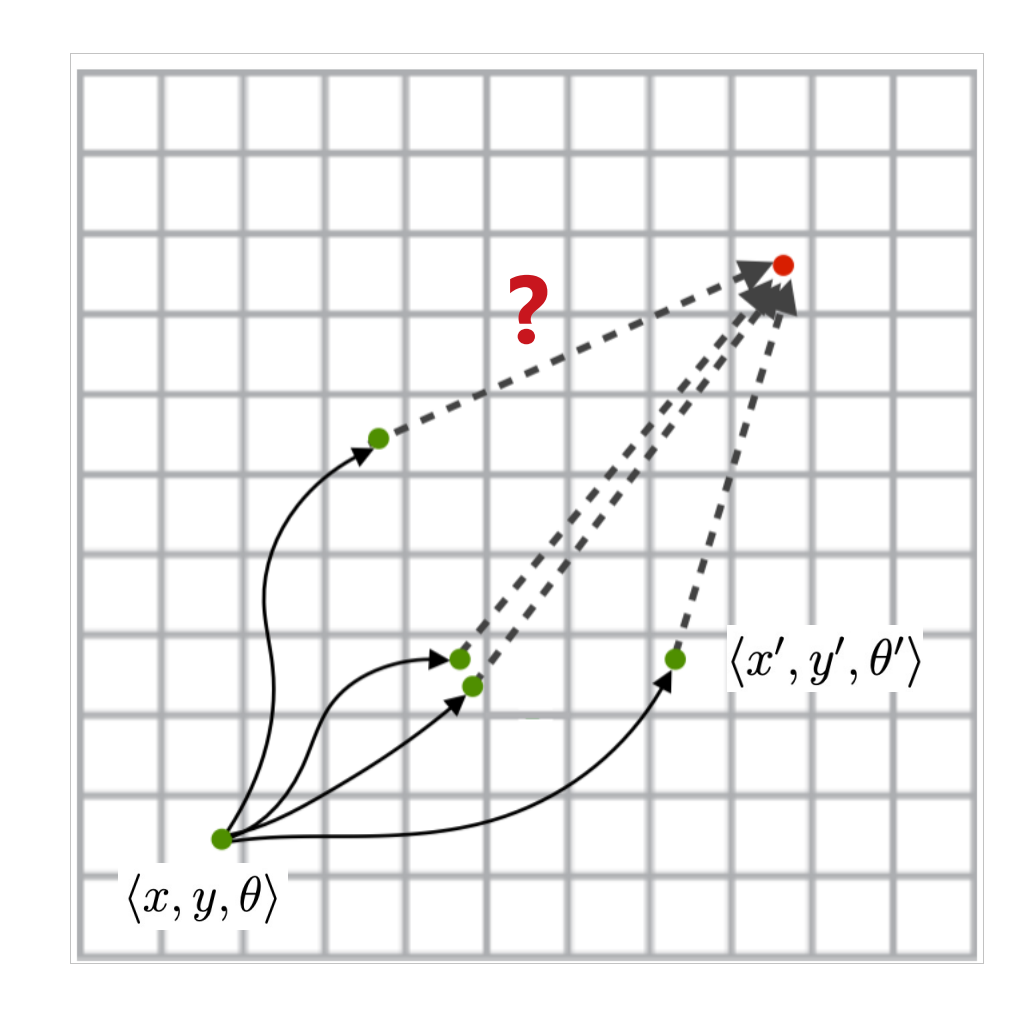


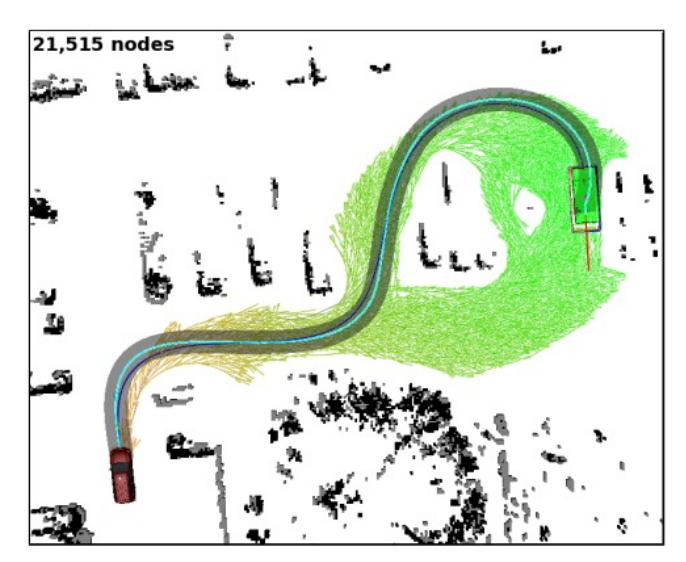
图片来自 Karl's master thesis

- ●启发函数 <- relaxed problem:
- **⑥ 启发1**: Nonholonomic without obstacles  $h_1(q)$ 
  - 保持非完整约束
  - 去掉所有障碍物
- **圖启发2**: Holonomic with obstacles  $h_2(q)$ 
  - 去掉运动学限制 -> A\*, D\* Lite
  - 保留障碍物

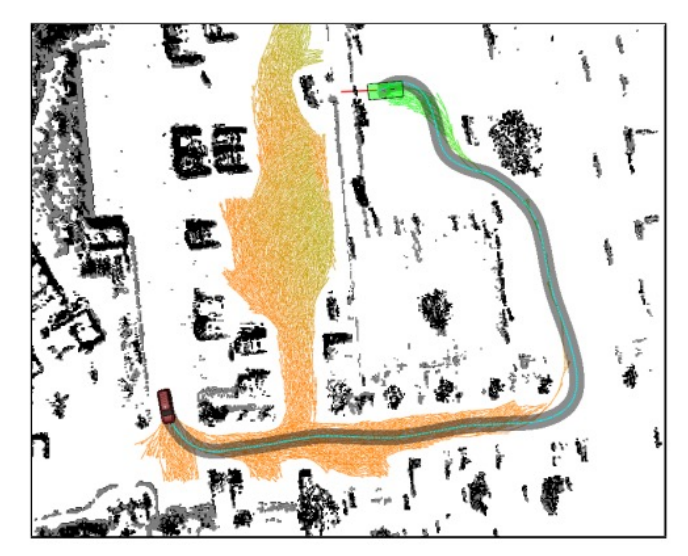
#### ◉ 合并启发:

- $h(q) = max\{h_1(q), h_2(q)\}$
- h(q) 一定比  $h_1(q)$  和  $h_2(q)$  更好

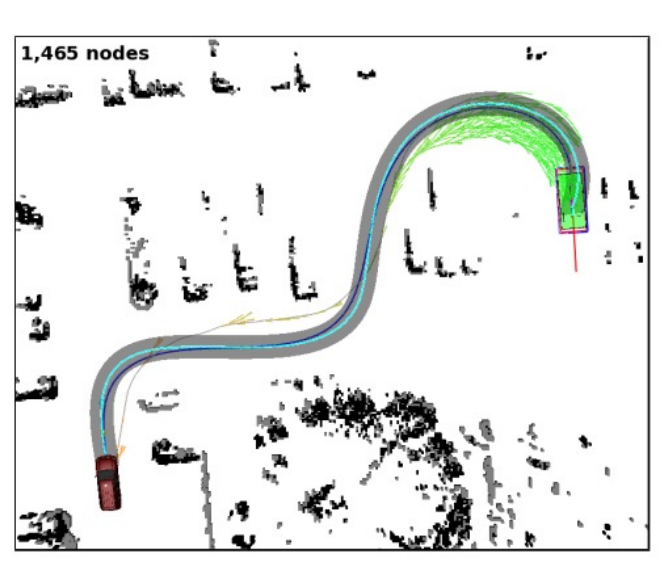




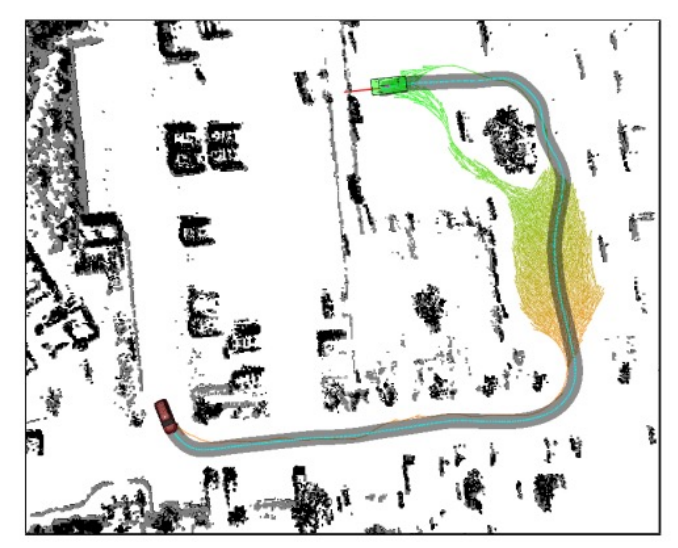
**Euclidean Distance** 



**Nonholonomic without obstacles** 

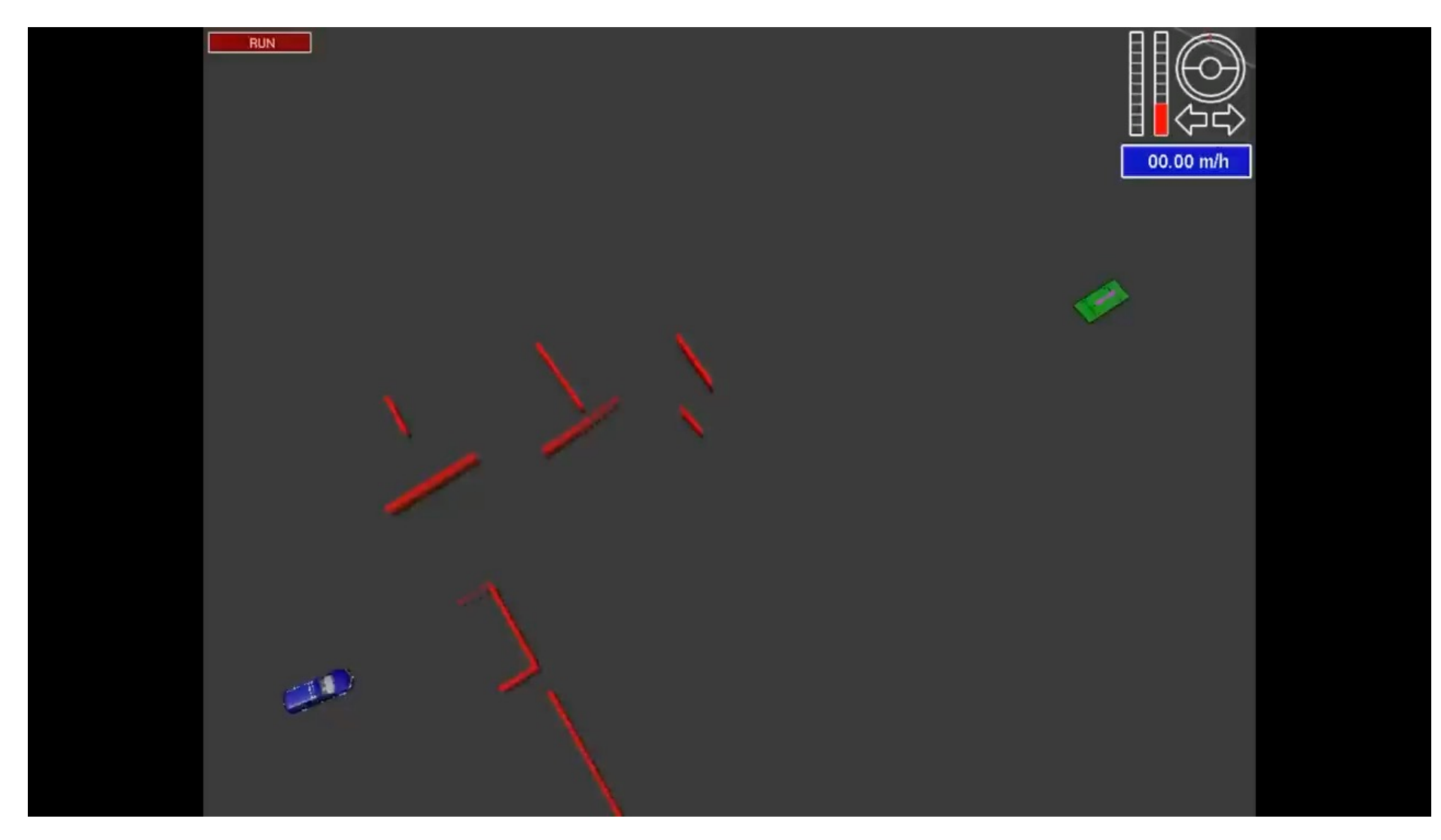


**Nonholonomic without obstacles** 



+ Holonomic with obstacles

# Hybrid A\* 效果 ( DARPA Urban Challenge 2007 )



Developed by <u>Dmitri</u>
<u>Dolgov</u>, who currently serves as the co-chief executive officer of Waymo

Free-form path planner used by Junior from Standford: https://youtu.be/qXZt-B7iUyw

## 第八讲总结

#### ◉ 层级式自动驾驶规划

- 任务规划:"城市地图中怎么从A到B"
- 行为规划:"车流中,何时进行跟车、变道、超车、转向…"
- 运动规划:"以什么轨迹进行变道、超车, ..., 停车、绕行, ..."
  - 路径规划
  - 速度曲线生成
- 运动控制:"如何控制方向盘、油门、刹车以精准地跟踪参考轨迹"

#### ◉ 图搜索算法 (任务规划、路径规划)

- 静态图:A\*
- 动态图:LPA\*, D\* Lite
- 自动驾驶专用: Hybrid A\*

## 第八讲扩展阅读

- A\*: Hart, Peter E., Nils J. Nilsson, and Bertram Raphael. "A formal basis for the heuristic determination of minimum cost paths." IEEE transactions on Systems Science and Cybernetics 4, no. 2 (1968): 100-107.
- Lifelong Planning A\*: Koenig, Sven, Maxim Likhachev, and David Furcy. "Lifelong planning A\*." Artificial Intelligence 155, no. 1-2 (2004): 93-146.
- **D\* Lite**: Koenig, Sven, and Maxim Likhachev. "Fast replanning for navigation in unknown terrain." IEEE transactions on robotics 21, no. 3 (2005): 354-363.
- Whybrid A\*: Montemerlo, Michael, Jan Becker, Suhrid Bhat, Hendrik Dahlkamp, Dmitri Dolgov, Scott Ettinger, Dirk Haehnel et al. "Junior: The stanford entry in the urban challenge." Journal of field Robotics 25, no. 9 (2008): 569-597.
- Whybrid A\*: Dolgov, Dmitri, Sebastian Thrun, Michael Montemerlo, and James Diebel. "Path planning for autonomous vehicles in unknown semi-structured environments." The international journal of robotics research 29, no. 5 (2010): 485-501.
- Parking Planner based on Hybrid A\*: Li, Bai, Tankut Acarman, Youmin Zhang, Yakun Ouyang, Cagdas Yaman, Qi Kong, Xiang Zhong, and Xiaoyan Peng. "Optimization-based trajectory planning for autonomous parking with irregularly placed obstacles: A lightweight iterative framework." IEEE Transactions on Intelligent Transportation Systems 23, no. 8 (2021): 11970-11981.

## 第九讲:运动规划!!



**蔡盼盼** 副教授 上海交通大学清源研究院

研究领域:机器人规划、机器人学习、自动驾驶

邮箱: Cai\_panpan@sjtu.edu.cn

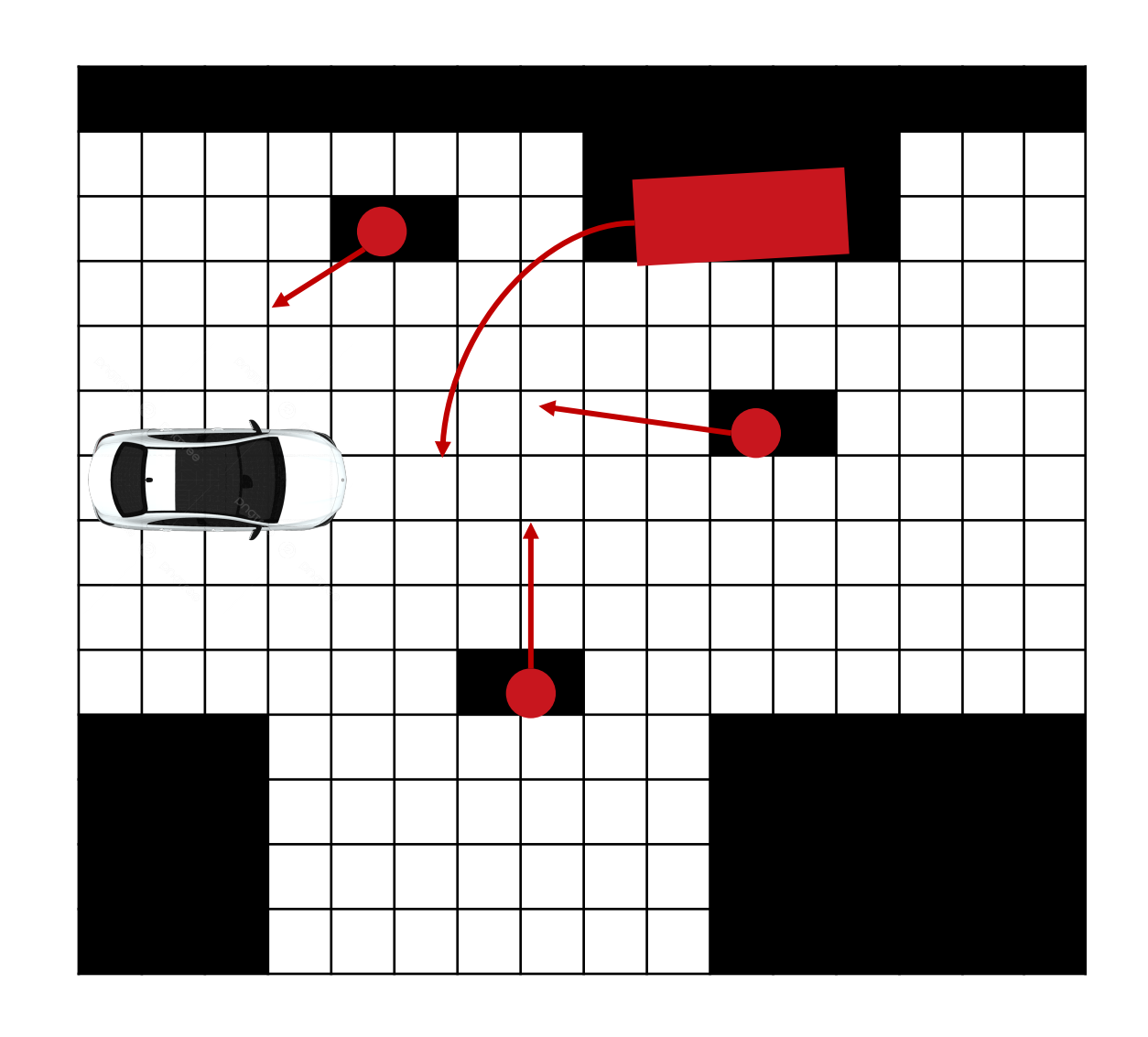
网站: https://cindycia.github.io/



#### 动态场景路径规划?

- ●思路1: Hybrid D\* Lite?
  - 每次执行完一段路径
  - 接受一次环境更新
  - 迅速地重新规划

- ●问题:不能对危险进行提前反应
  - 只对已经观察到的变化做出反应
  - 不会预测未来的运动,提前应对



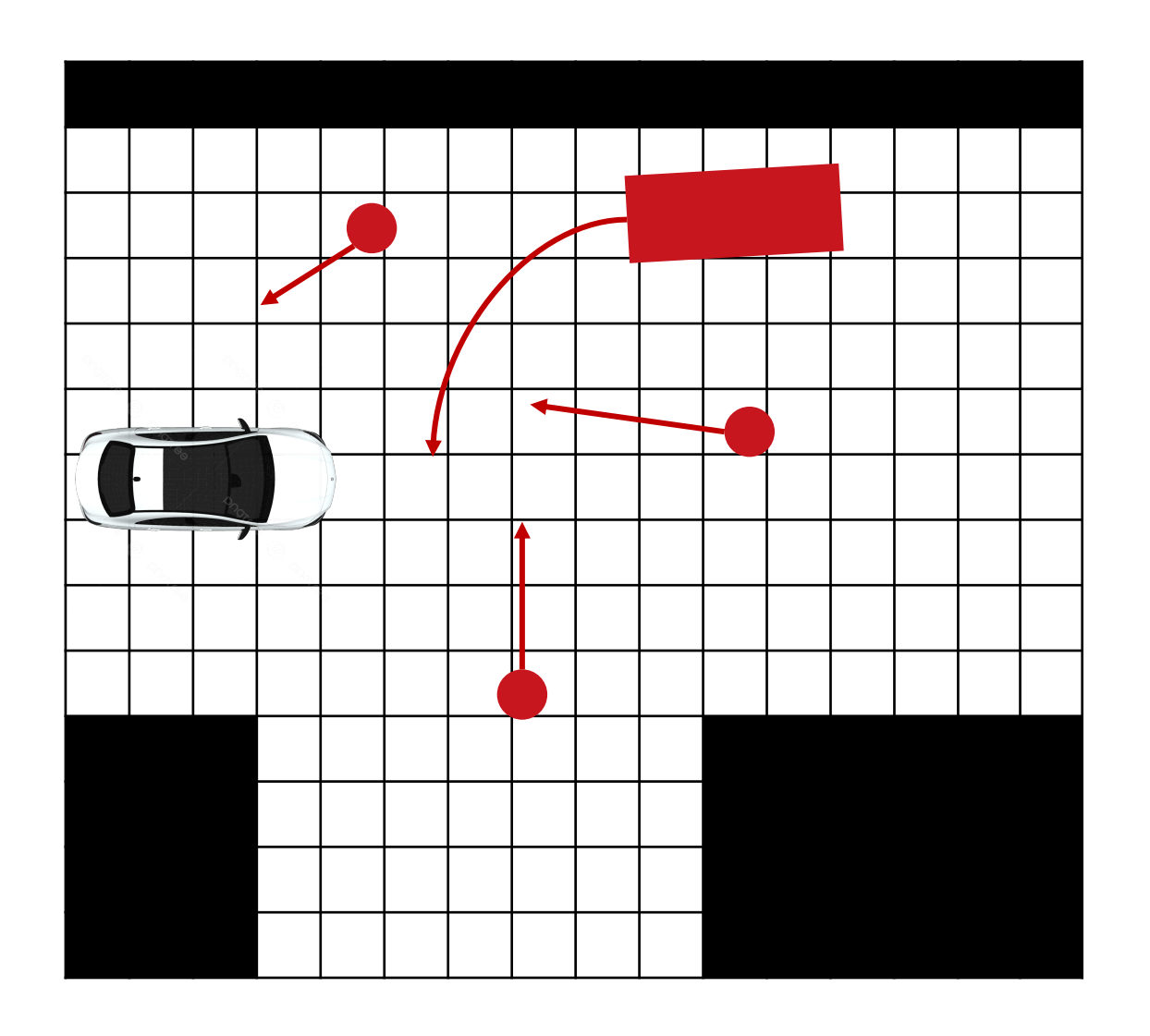
## 动态场景路径规划?

#### ● 思路2:联合状态空间(joint state space)

- $q = (q_{ego}, q_{exo}^1, q_{exo}^2, q_{exo}^3, q_{exo}^4)$
- $q'_{ego} = f(q_{ego}, u)$
- $q'_{exo} = m(q_{exo})$
- 进行 hybrid A\* 搜索

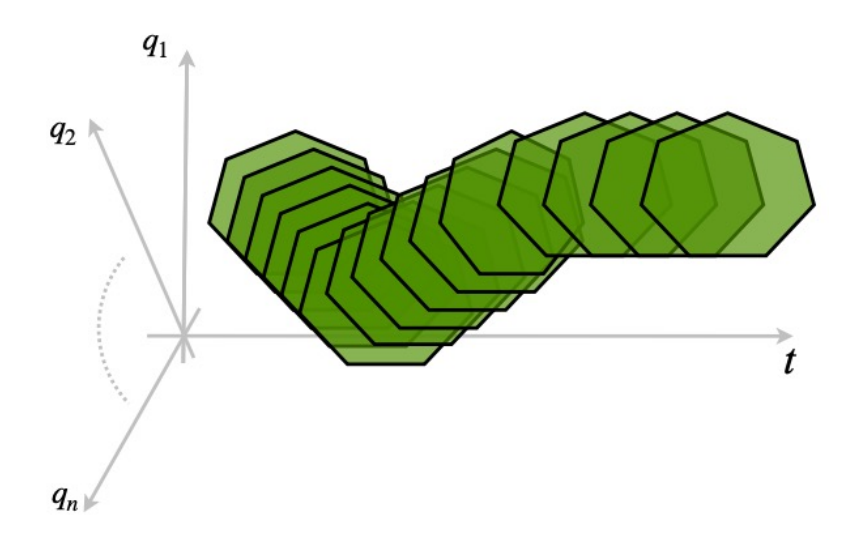
#### ●问题:栅格维度太高!

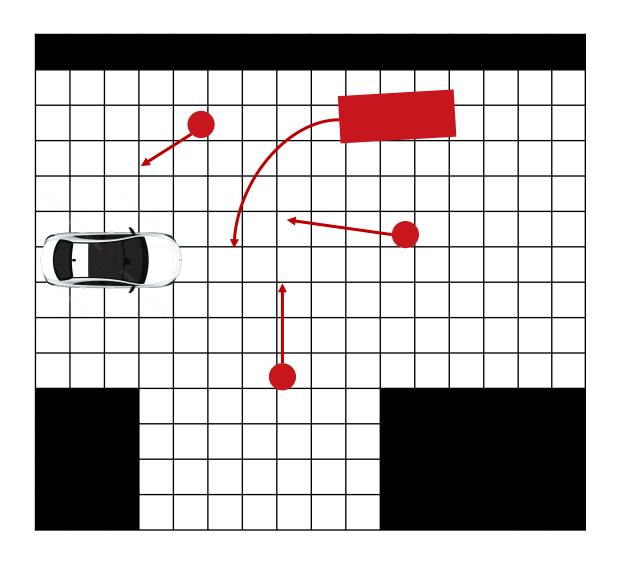
• 搜索具有指数复杂度 (worst-case)



## 动态场景路径规划?

- 思路3:时空搜索(Space-time search)
  - 5D 时空栅格:向状态空间中引入时间维度
  - 扩展: < q', t + 1 > = < F(q, u), t >
  - 碰撞检测:
    - $_{\overline{M}}$  (t,t+1) 时间段内他人/车的位置
    - 将他人/车与自车进行碰撞检测
    - 若整个时间段都没有碰撞,才接受扩展





### 运动预测问题(Motion Prediction Problem)

#### 輸 输入:

- 动态障碍物类型、几何特征
- 动态障碍物当前状态
- 动态障碍物历史轨迹
- (可选)高清地图
- (可选)当前感知数据

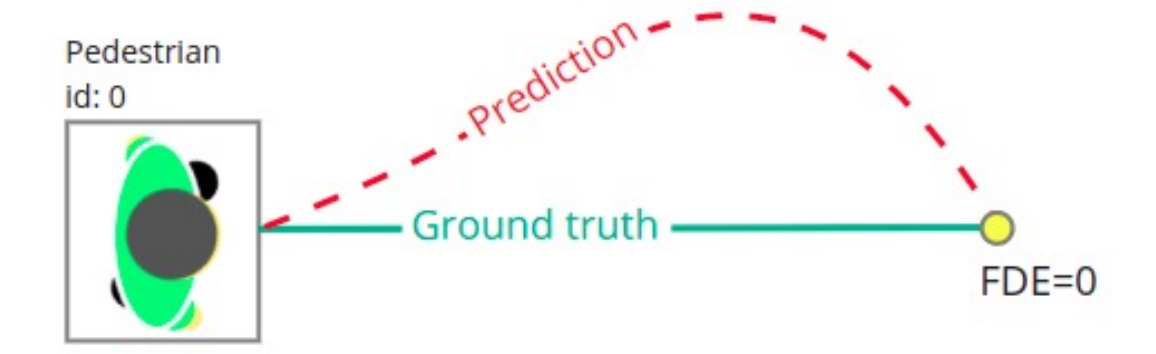
#### ●输出:

- 动态障碍物未来轨迹
  - 参数曲线  $< x(t), y(t), \theta(t) >$  的参数,或
  - 离散点序列  $\{ \langle x_1, y_1, \theta_1 \rangle, \langle x_2, y_2, \theta_2 \rangle, ..., \langle x_T, y_T, \theta_T \rangle \}$

### 运动预测评价指标

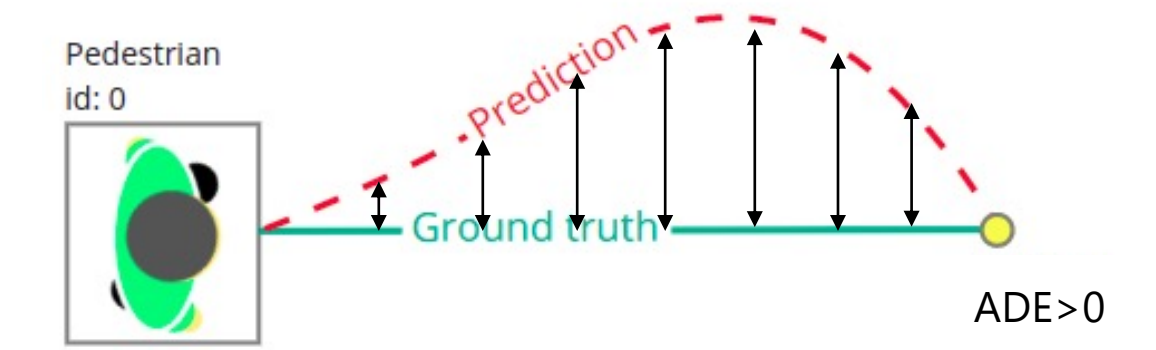
◉ 评价指标一: Final Displacement Error

$$FDE = \frac{\sum_{i=1}^{n} \sqrt{(\hat{x}_{i}^{T_{pred}} - x_{i}^{T_{pred}})^{2} + (\hat{y}_{i}^{T_{pred}} - y_{i}^{T_{pred}})^{2}}}{n}$$



◉ 评价指标二:Average Displacement Error

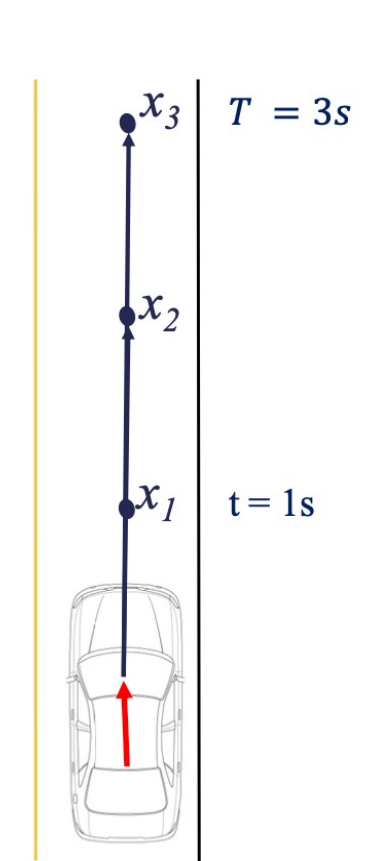
$$ADE = \frac{\sum_{i=1}^{n} \sum_{t=T_{obs}+1}^{T_{pred}} \left[ (\hat{x}_{i}^{t} - x_{i}^{t})^{2} + (\hat{y}_{i}^{t} - y_{i}^{t})^{2} \right]}{n(T_{pred} - (T_{obs} + 1))}$$



## 运动预测模型(Motion Prediction Models)

- 简单模型 Const-vel, const-speed
- ◉ 解析模型 Social forces, ORCA, ....
- ◎ 深度学习方法 CNN, LSTM, GNN, Transformer, ...

# 匀速运动模型(Constant Velocity Model)



#### Algorithm Constant Velocity Prediction( $x_{obj}$ )

```
1. t \leftarrow 0

2. x_0 = x_{obj}

3. while t * dt < T do

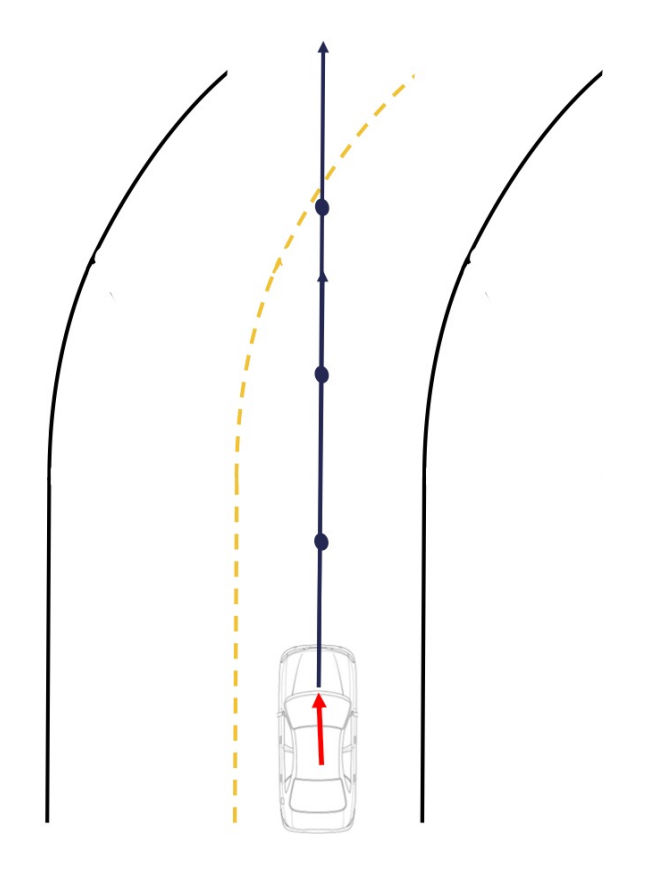
4. t = t + 1

5. x_t \cdot pos \leftarrow x_{t-1} \cdot pos + dt * x_{t-1} \cdot vel

6. x_t \cdot vel \leftarrow x_{t-1} \cdot vel

7. end while

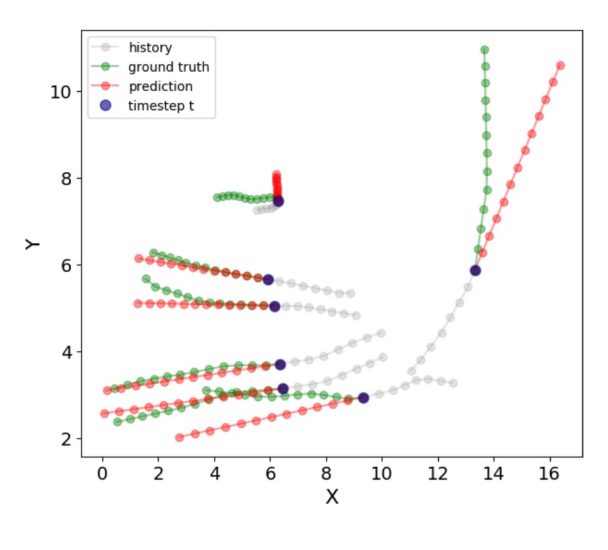
8. return x_{1:T}
```

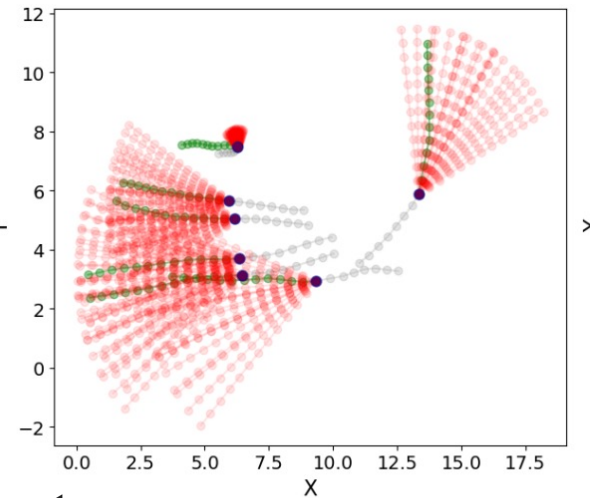


## 匀速运动模型(Constant Velocity Model)

◎ 预测行人运动: Const-vel vs. 深度学习

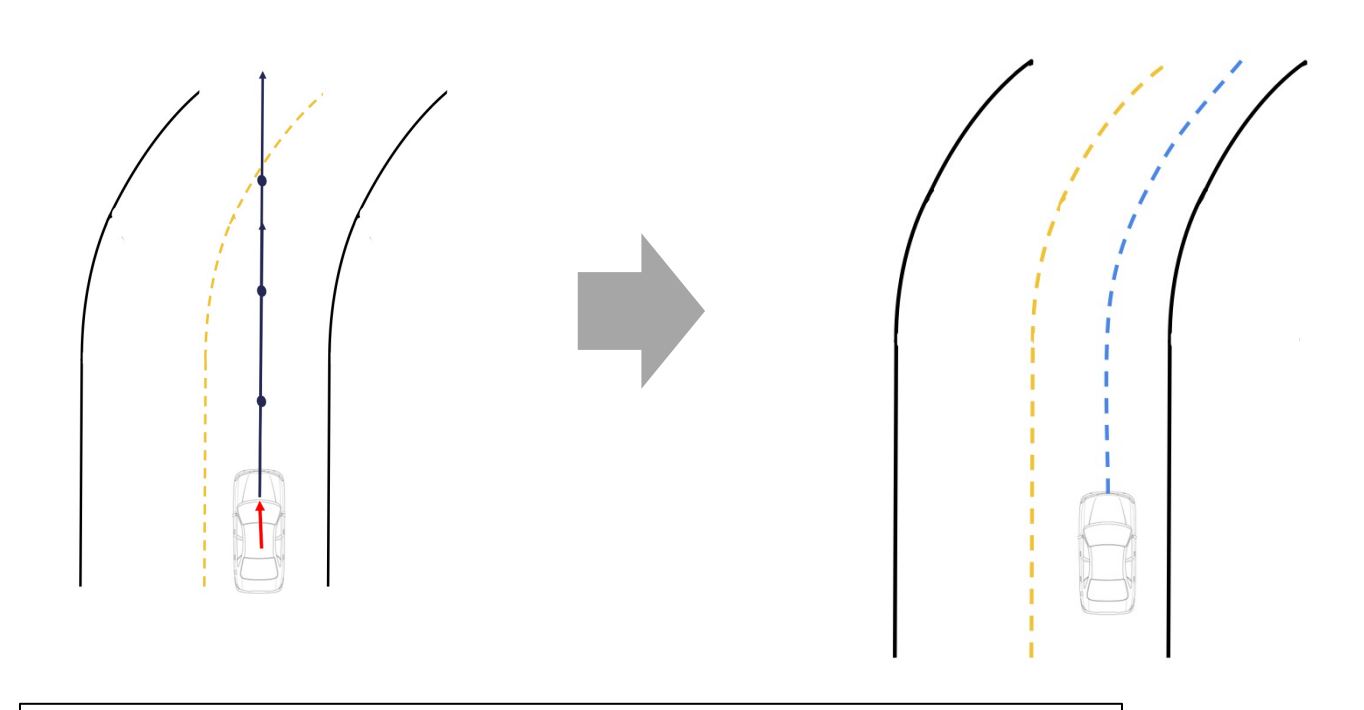
Metric	Dataset	ConstAcc	Lin	FF	LSTM	RED	SR-LSTM	OUR	SoPhie	S-GAN	OUR-S
ADE	ETH-Uni	1.35	0.58	0.67	0.54	0.60	0.63	0.58	0.70	0.59	0.43
	Hotel	0.95	0.39	1.59	2.91	0.47	0.37	0.27	0.76	0.38	0.19
	Zara1	0.59	0.44	0.39	0.34	0.34	0.41	0.34	0.30	0.18	0.24
	Zara2	0.50	0.41	0.38	0.43	0.31	0.32	0.31	0.38	0.18	0.21
	UCY-Uni	0.79	0.60	0.69	0.72	0.47	0.51	0.46	0.54	0.26	0.34
AVG		0.84	0.48	0.74	0.99	0.44	0.45	0.39	0.54	0.32	0.28
FDE	ETH-Uni	3.29	1.11	1.32	1.04	1.14	1.25	1.15	1.43	1.04	0.80
	Hotel	2.41	0.81	3.12	6.07	0.94	0.74	0.51	1.67	0.79	0.35
	Zara1	1.50	0.93	0.81	0.74	0.76	0.90	0.76	0.63	0.32	0.48
	Zara2	1.30	0.83	0.77	0.95	0.70	0.70	0.69	0.78	0.34	0.45
	UCY-Uni	2.03	1.19	1.38	1.60	1.00	1.10	1.02	1.24	0.49	0.71
AVG		2.11	0.97	1.48	2.08	0.91	0.94	0.83	1.15	0.60	0.56





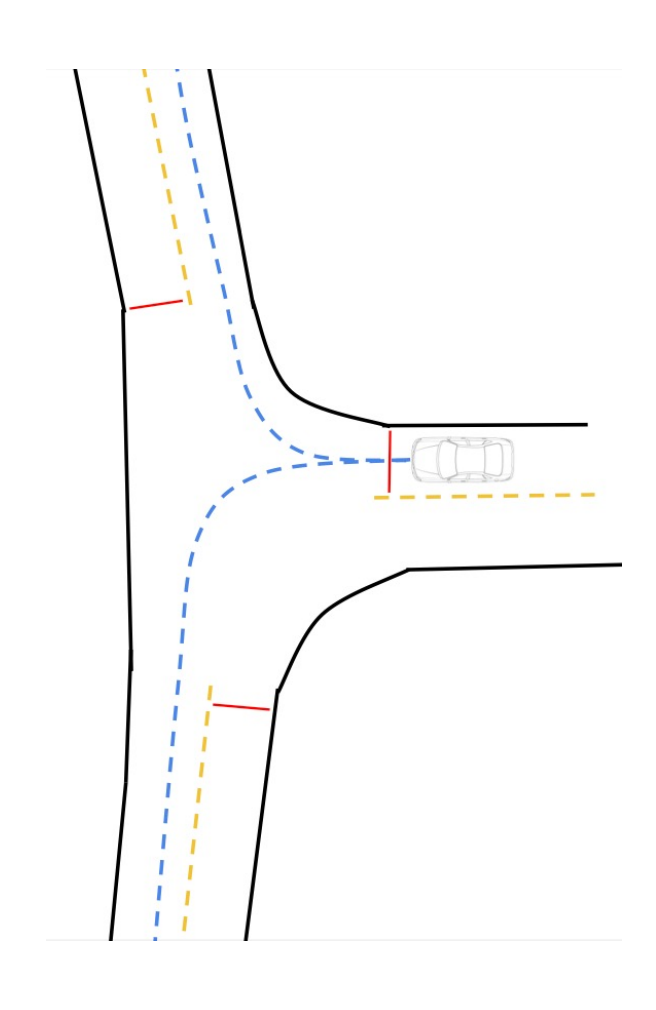
Schöller, Christoph, Vincent Aravantinos, Florian Lay, and Alois Knoll. "What the constant velocity model can teach us about pedestrian motion prediction." *IEEE Robotics and Automation Letters* 5, no. 2 (2020): 1696-1703.

# 匀速运动模型+地图信息(Constant Speed Model)





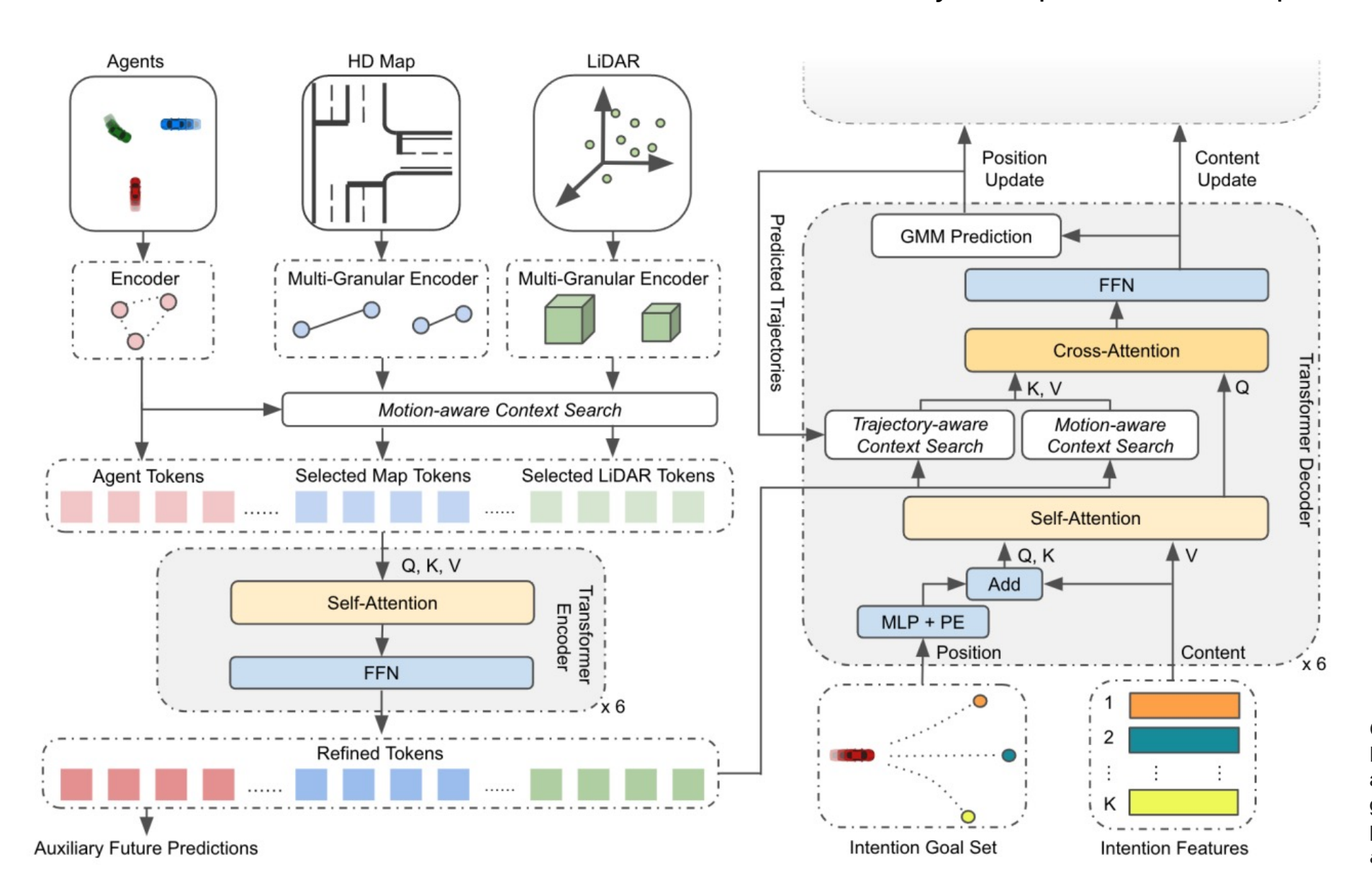
- 缺乏交互
- 无法预测复杂行为



### 深度学习运动预测模型

#### **MRTR**

( 2023 Waymo Open Dataset 1st place )

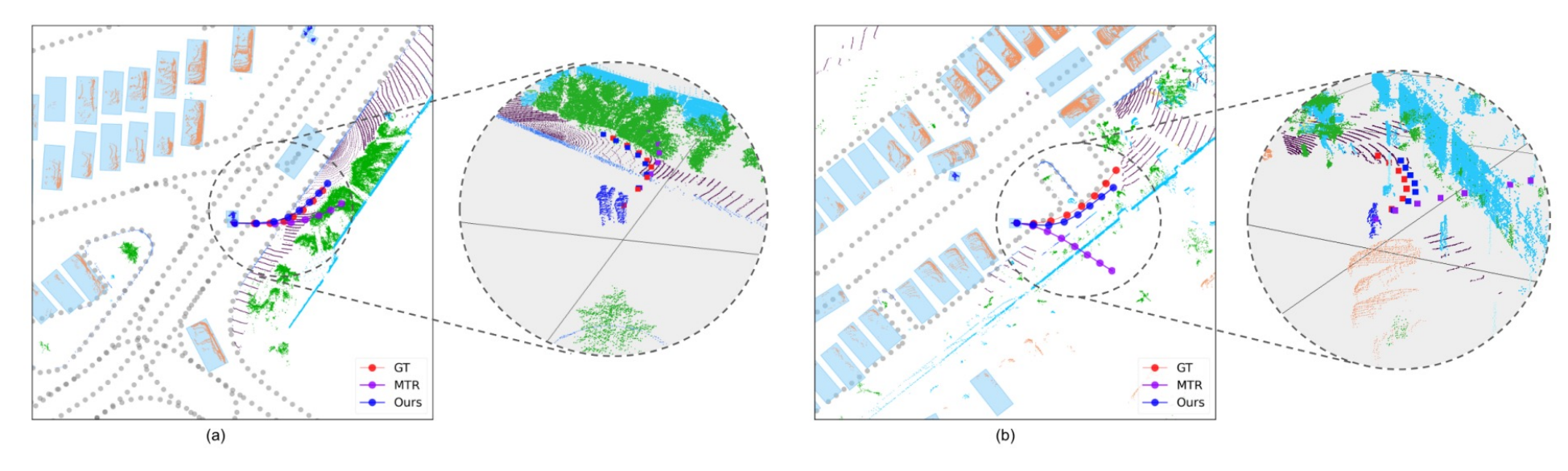


Gan, Yiqian, Hao Xiao, Yizhe Zhao, Ethan Zhang, Zhe Huang, Xin Ye, and Lingting Ge. "MGTR: Multigranular transformer for motion prediction with lidar." *arXiv preprint arXiv:2312.02409* (2023).

## 深度学习运动预测模型

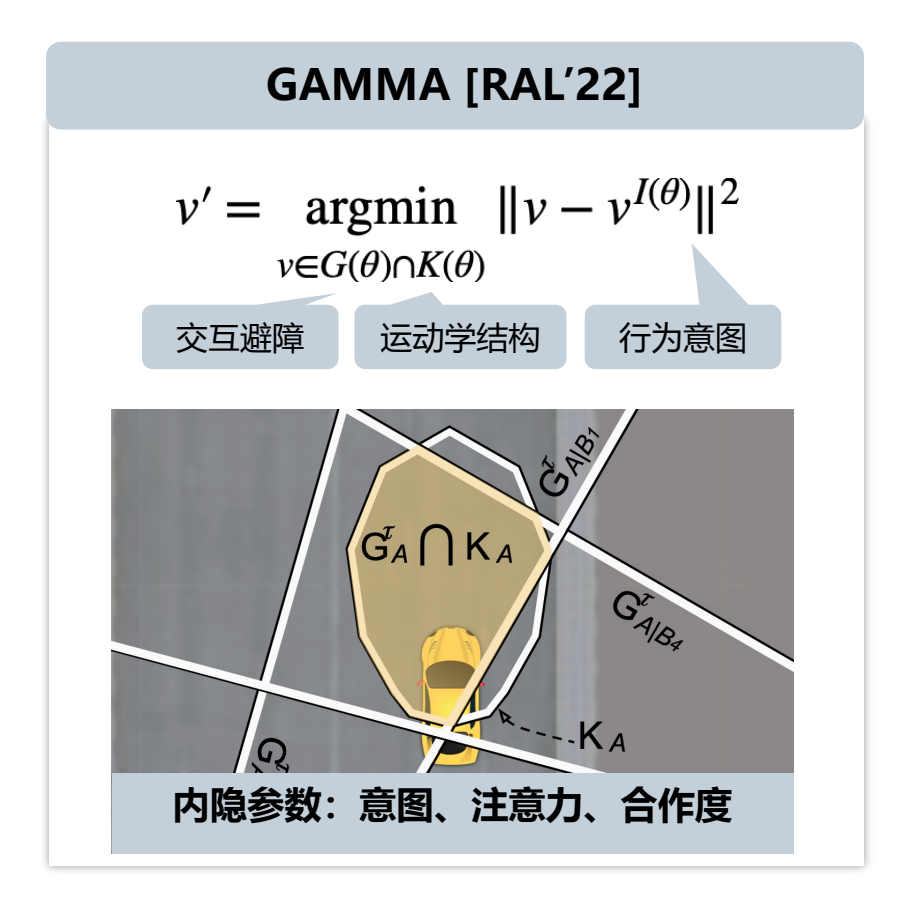


MRTR ( 2023 Waymo Open Dataset 1st place )



- **优势**:数据覆盖越稠密,预测效果越好
- 劣势:慢,难以支持实时规划
  - 0.1s 内需要完成预测+规划
  - 若要考虑未来自车行为对他人轨迹的影响,需要再每个节点重新调用一次运动预测!

## 解析运动模型



通过对内隐参数进行概率推断,提供 概率性预测

#### 更准确的多模态预测

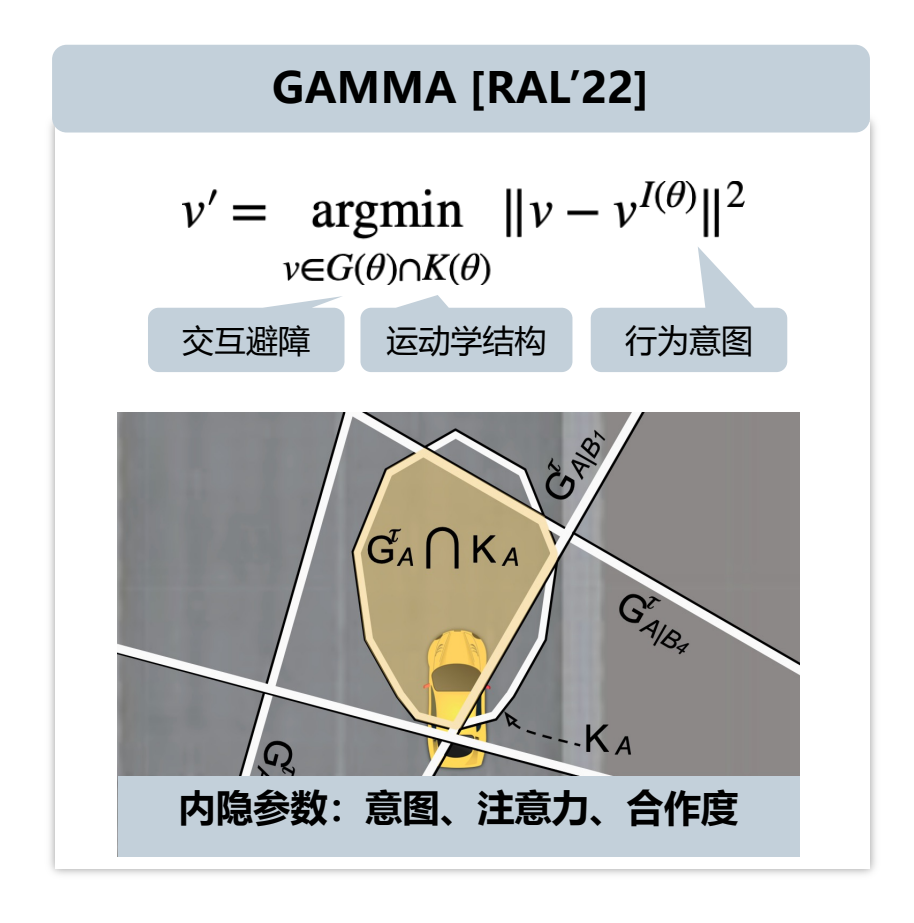
Distributional Models								
SGAN	SoPhie	深度学习模型	S-Ways	SGCN	GAMMA-d			
0.81/1.52	0.70/1.43	1.01/1.75	0.39/0.64	0.63/1.03	0.30/0.65			
0.72/1.61	0.76/1.67	0.43/0.80	0.39/0.66	0.32/0.55	0.18/0.40			
0.60/1.26	0.54/1.24	0.44/0.91	0.55/1.31	0.37/0.70	0.32/0.79			
0.34/0.69	0.30/0.63	0.26/0.45	0.44/0.64	0.29/0.53	0.24/0.57			
0.42/0.84	0.38/0.78	0.26/0.57	0.51/0.92	0.25/0.45	0.19/0.46			

#### 运行时间 0.392ms

	$\begin{array}{c} \text{SGAN} \\ (bs = 1) \end{array}$	深度学习	模型STM (b) = 1)	SRLSTM (bs = 4)	GAMMA
Time	3.15	1.80	2.32	2.19	0.392
Speed-up	1x	1.75x	1.36x	1.44x	8.04x

Luo, Yuanfu, Panpan Cai, Yiyuan Lee, and David Hsu. "Gamma: A general agent motion model for autonomous driving." *IEEE Robotics and Automation Letters* 7, no. 2 (2022): 3499-3506.

## 解析运动模型



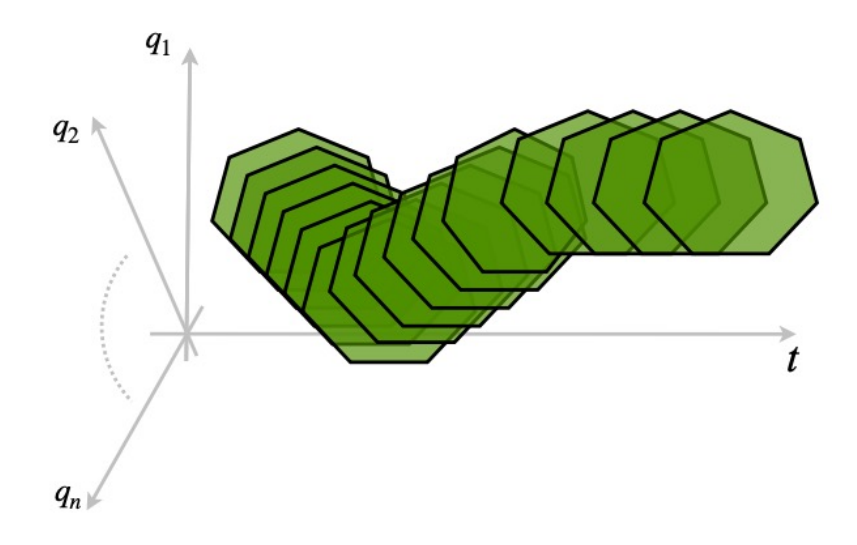
通过对内隐参数进行概率推断,提供 概率性预测 优势:快,可以支持在实时规划中大量调用

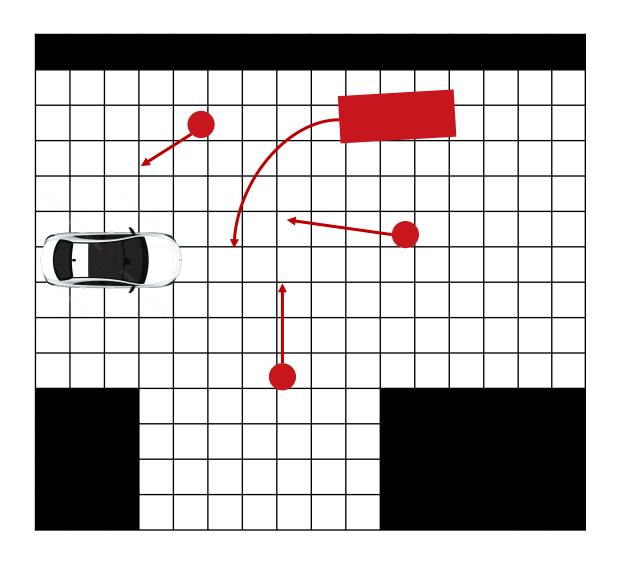
參 劣势:无法直接利用离线数据

Luo, Yuanfu, Panpan Cai, Yiyuan Lee, and David Hsu. "Gamma: A general agent motion model for autonomous driving." *IEEE Robotics and Automation Letters* 7, no. 2 (2022): 3499-3506.

## 动态场景路径规划?

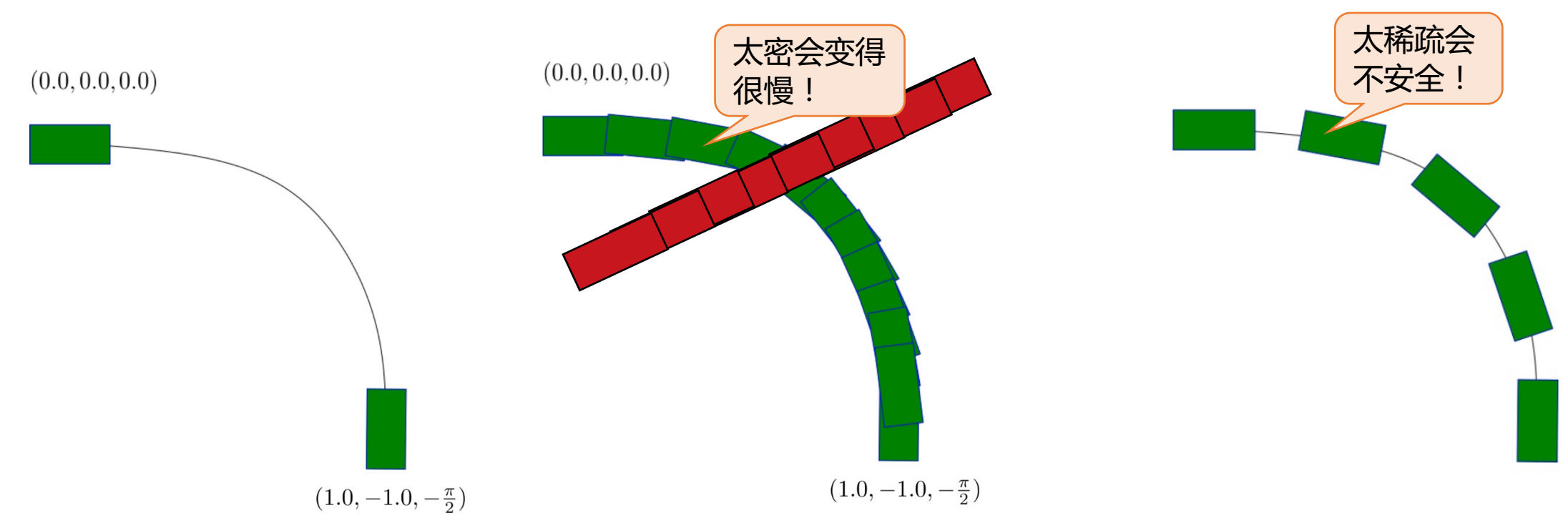
- 思路3:时空搜索(Space-time search)
  - 5D 时空栅格:向状态空间中引入时间维度
  - 扩展: < q', t + 1 > = < F(q, u), t >
  - 碰撞检测:
    - **预测** (t, t + 1) 时间段内他人/车的位置
    - 将他人/车与自车轨迹进行碰撞检测
    - 若整个时间段都没有碰撞,才接受扩展





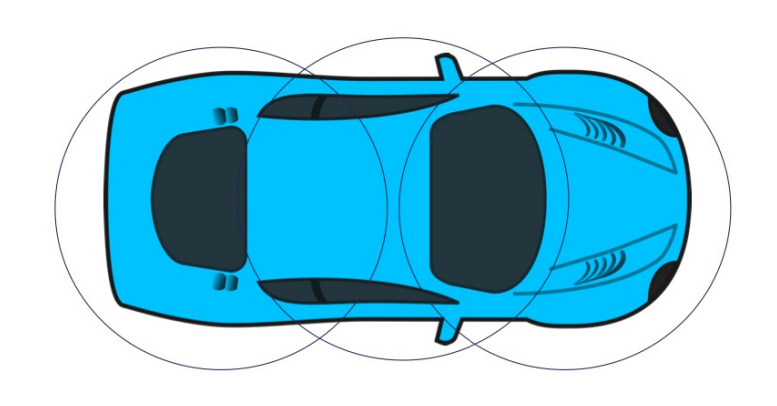
## 离散碰撞检测(Discrete Collision Checking)

- ◎ 将轨迹离散化
- ◎ 在每个离散时刻考虑当时的几何形状,进行碰撞检测
- 需要仔细选择离散化粒度

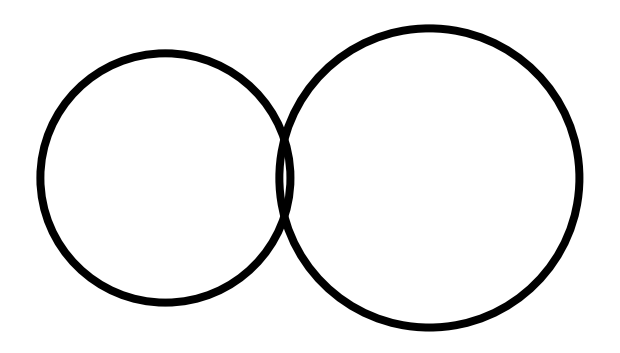


## 快速碰撞检测 — 圆盘近似

◎ 将车体表示为三个圆盘的集合,人表示为一个圆盘







$$|x_1 - x_2|^2 + |y_1 - y_2|^2 \le |r_1 + r_2|^2$$

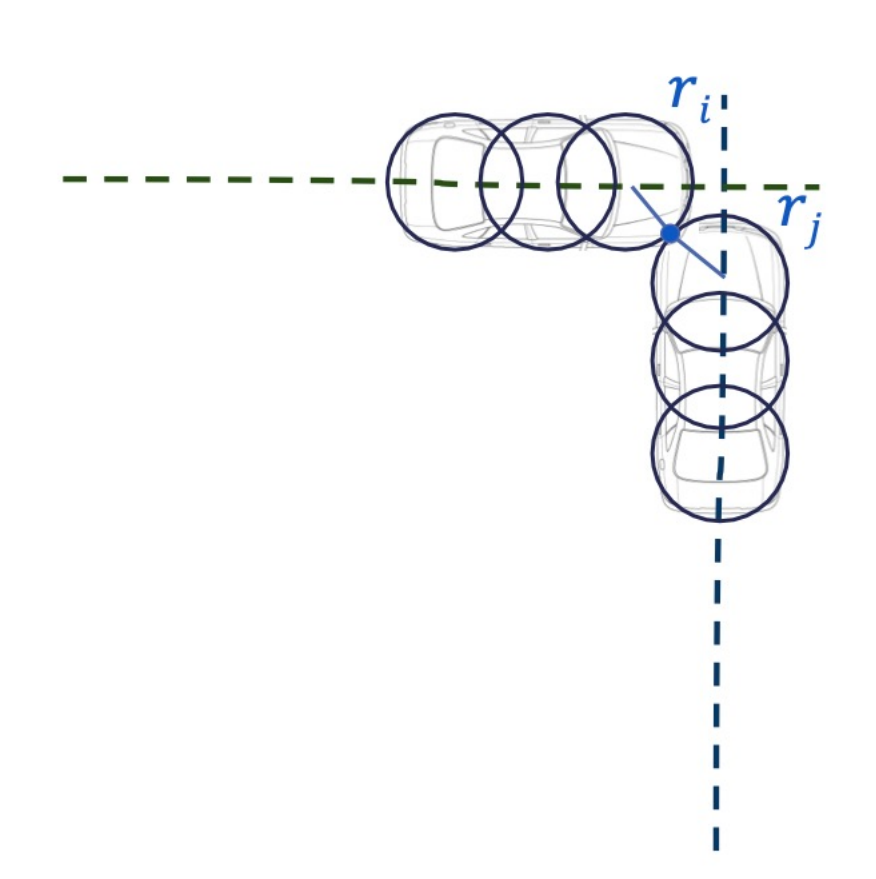
## 快速碰撞检测 — 圆盘近似

- ◎ 将车体表示为三个圆盘的集合
- 当任意圆盘与他人/车发生重叠时,记作碰撞:

$$d_{i,j} = \sqrt{(x_j - x_i)^2 + (y_j - y_i)^2}, \quad r_i + r_j \ge d_{i,j}$$

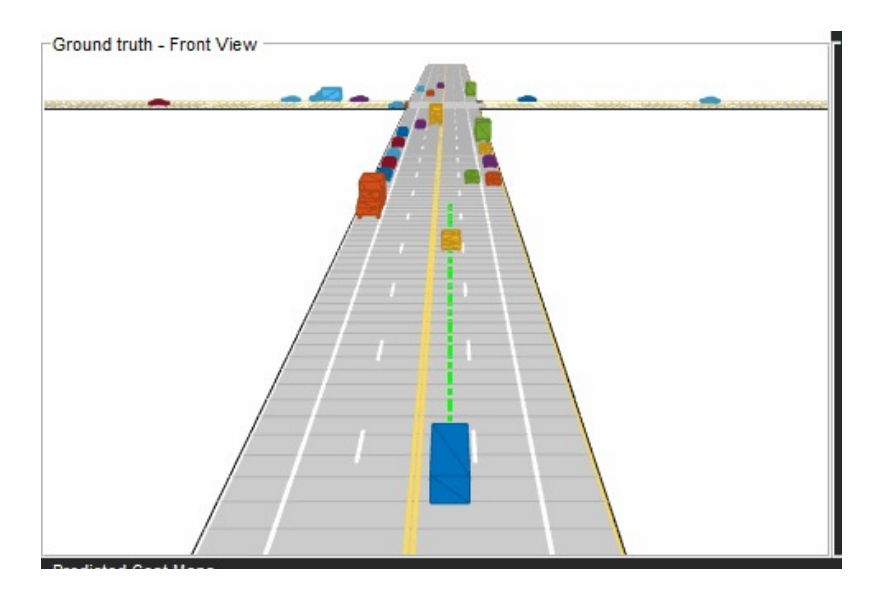
● 计算碰撞点:

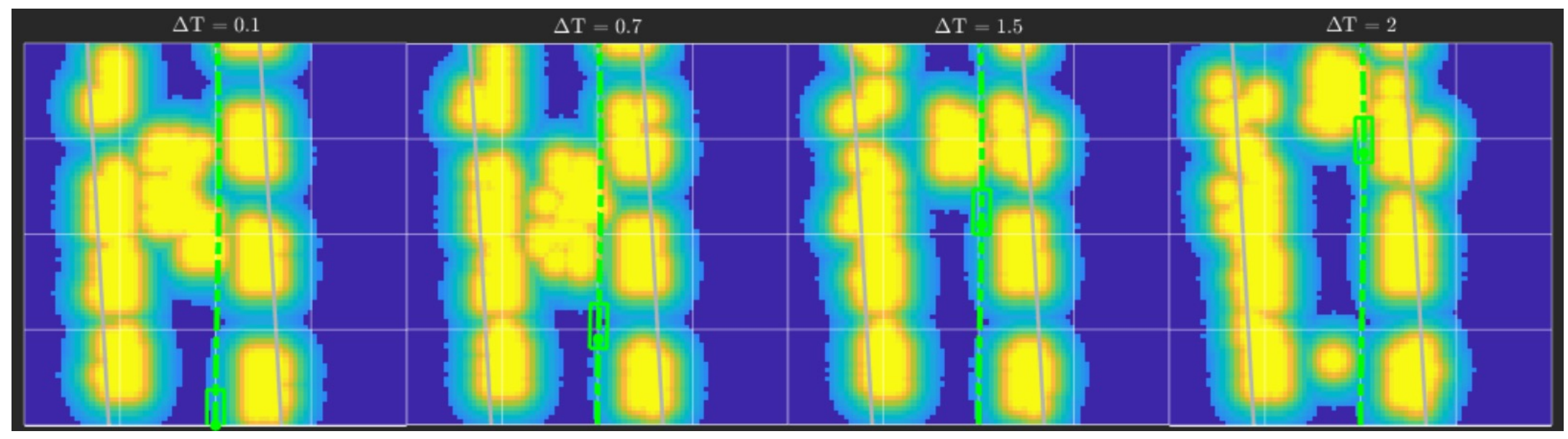
$$C_X = \frac{(x_i * r_j) + (x_j * r_i)}{(r_i + r_j)}, \qquad C_Y = \frac{(y_i * r_j) + (y_j * r_i)}{(r_i + r_j)}$$



## 碰撞检测 — 时空占用栅格

- 任何几何形状都可以被快速栅格化(GPU并行)
- 通过检查是否占用相同的格子进行碰撞检测
- ◎ 给每一个未来时间步生成一个占用栅格





## 时空占用栅格生成

#### ◉方法一:

• 在每一个时间步,用**运动模型**预测动态障碍物当时的状态,然后将更新后的几何形状投射到栅格上

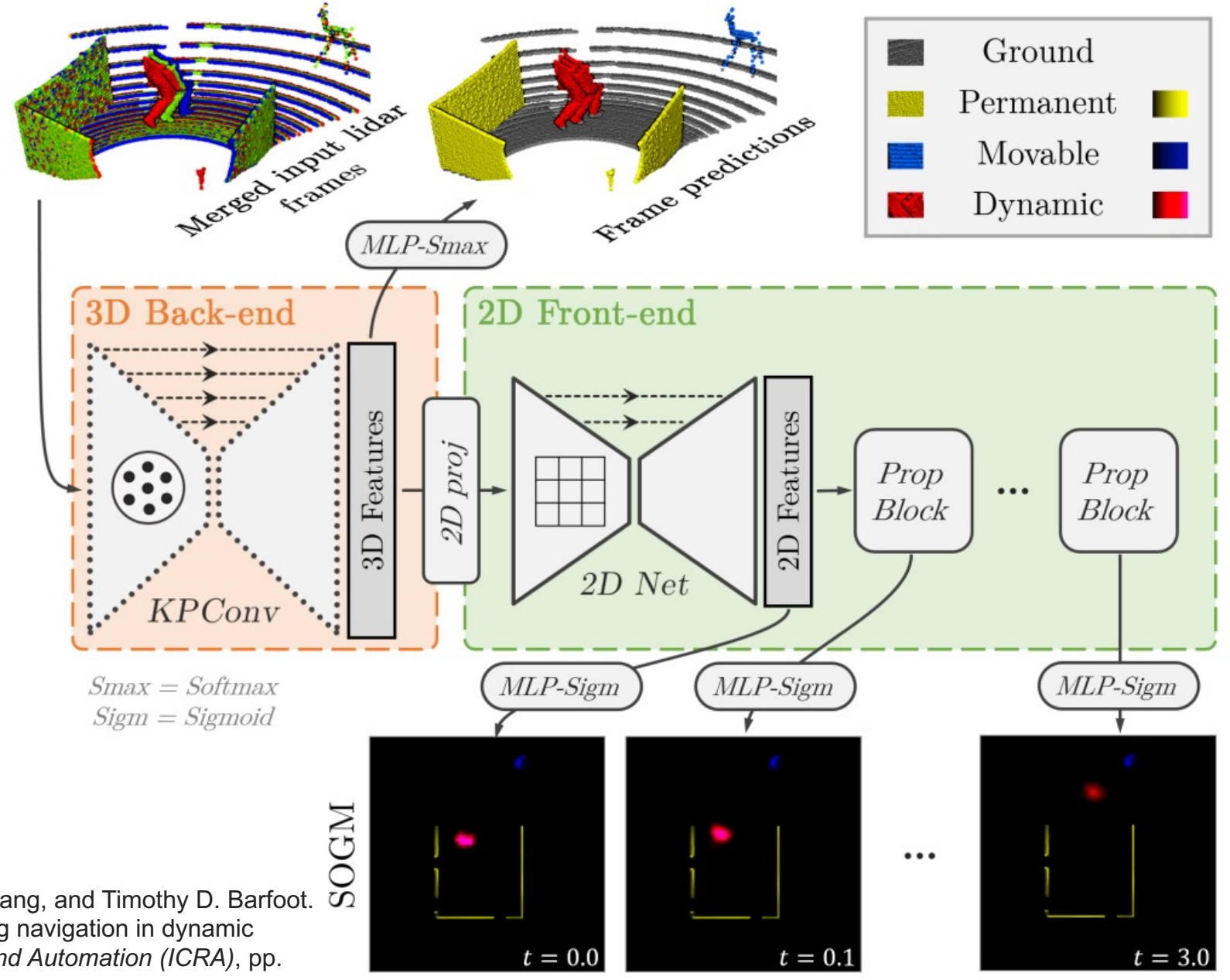
### 时空占用栅格生成

#### ◉方法二:

• 直接用深度学习生成 未来的占用栅格

**优势:**相关数据越多,预测效果越好

● 劣势:慢,难以支持实时 规划



Thomas, Hugues, Matthieu Gallet de Saint Aurin, Jian Zhang, and Timothy D. Barfoot. 
"Learning spatiotemporal occupancy grid maps for lifelong navigation in dynamic scenes." In 2022 International Conference on Robotics and Automation (ICRA), pp. 484-490. IEEE, 2022.

## 基于 Hybrid A\* 的动态场景路径规划

思路:时空搜索(Space-time search)

• 5D 时空栅格:向状态空间中引入时间维度

• 扩展: < q', t + 1 > = < f(q, u), t >

• 碰撞检测:预测+离散化 or 时空占用栅格

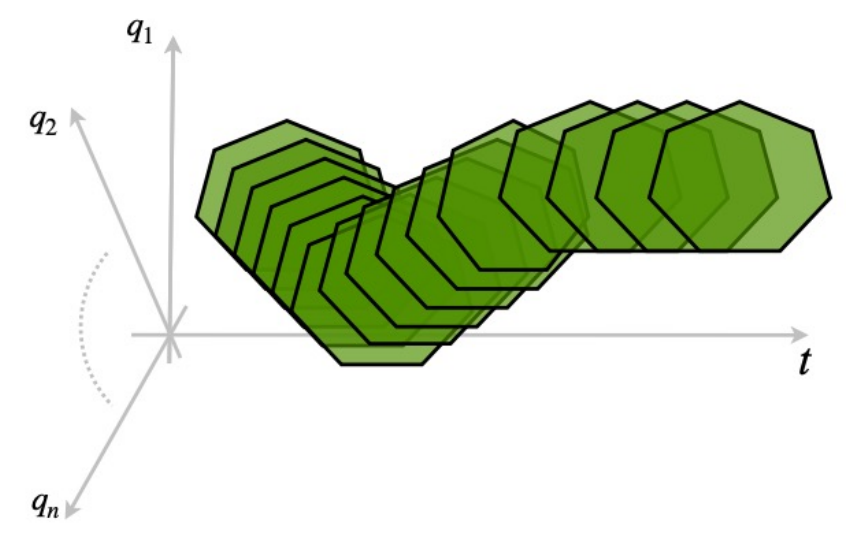
・搜索算法: Hybrid A\*

#### **)问题:**

- 预测模型不准确,长远规划不可靠
- 搜索的计算量可能超过实时规划时间

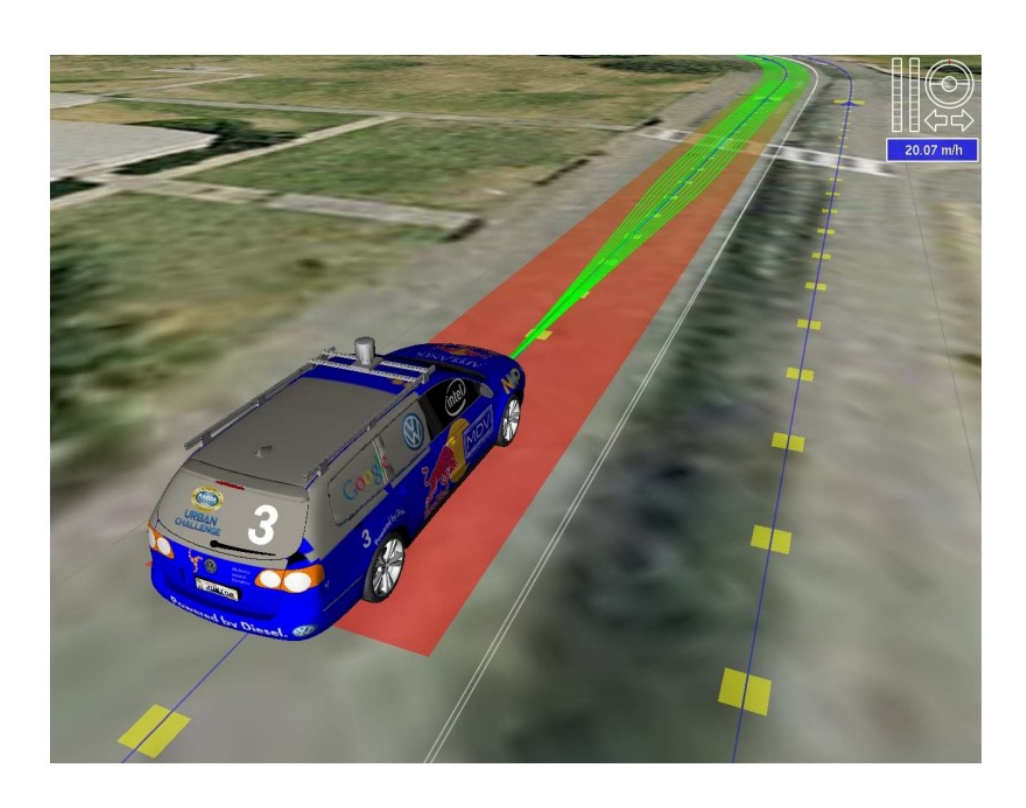
#### 主要适合低速场景

• 停车场、单行道掉头、低速避开静态障碍物



# 高速、动态场景路径规划

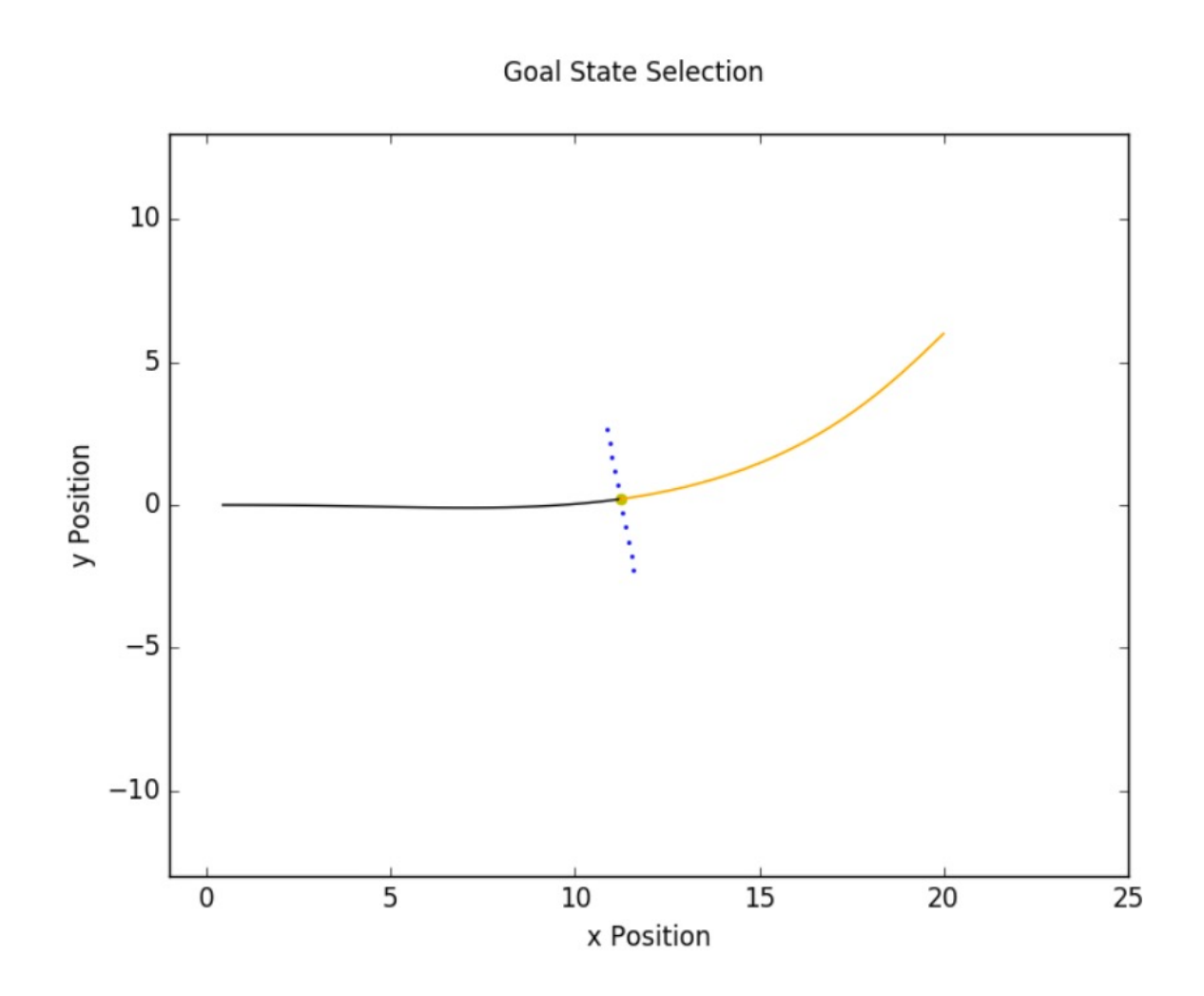
● 结构化道路:共形格子规划器(Conformal lattice planner)



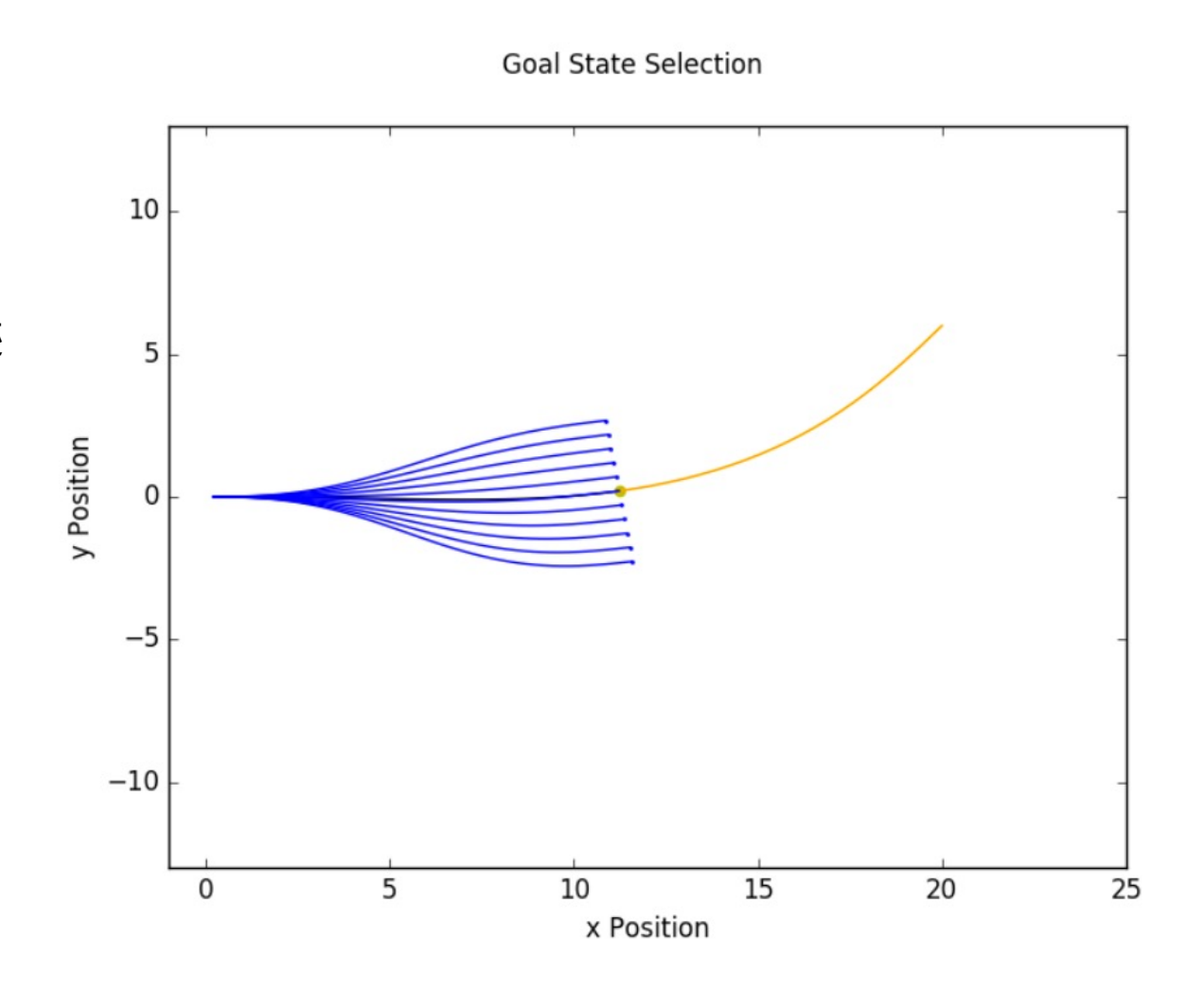


Junior from Stanford, 2007 DARPA Urban Challenge

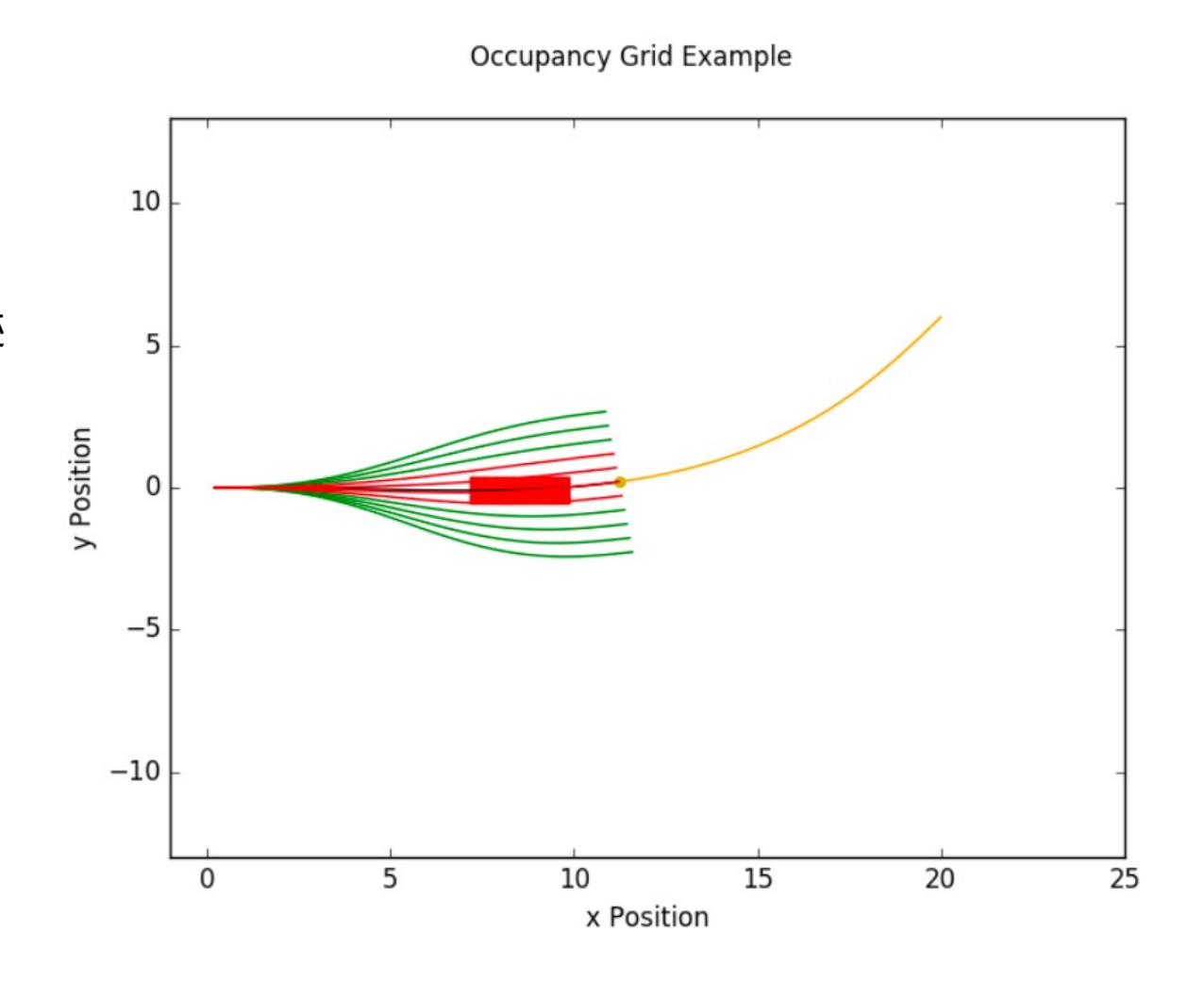
- ◎ 选择前方道路中心线上的目标点
- ◉ 重复N次:
  - 将目标点沿横向偏移固定的距离



- ◎ 选择前方道路中心线上的目标点
- ◉ 重复N次:
  - 将目标点沿横向偏移固定的距离
  - 通过解边界值问题,生成当前状态到目标点的行车轨迹



- ◉ 选择前方道路中心线上的目标点
- 重复N次:
  - 将目标点沿横向偏移固定的距离
  - 通过解边界值问题,生成当前状态到目标点的行车轨迹
  - 对该轨迹做碰撞检测

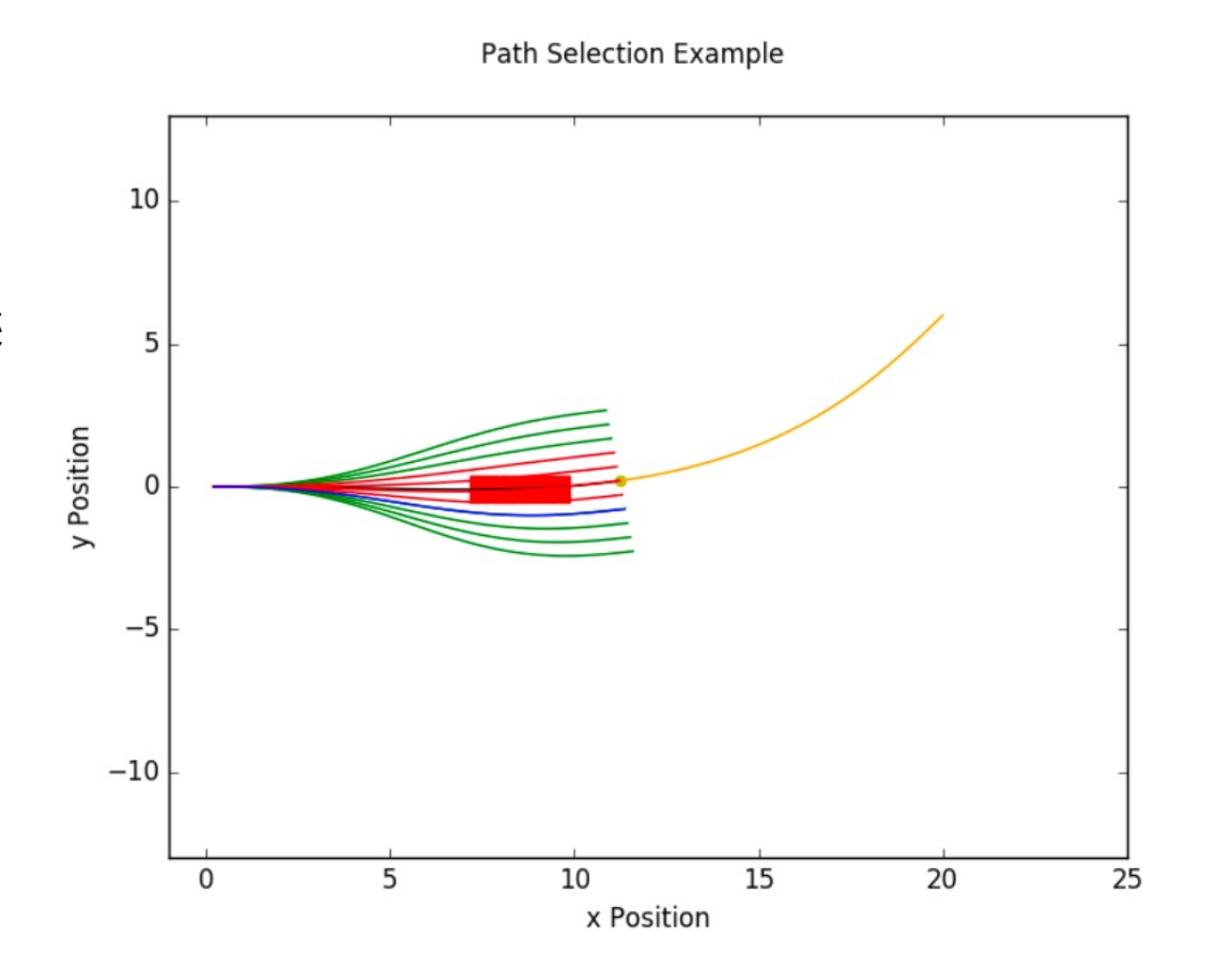


- ◎ 选择前方道路中心线上的目标点
- 🏿 重复N次:

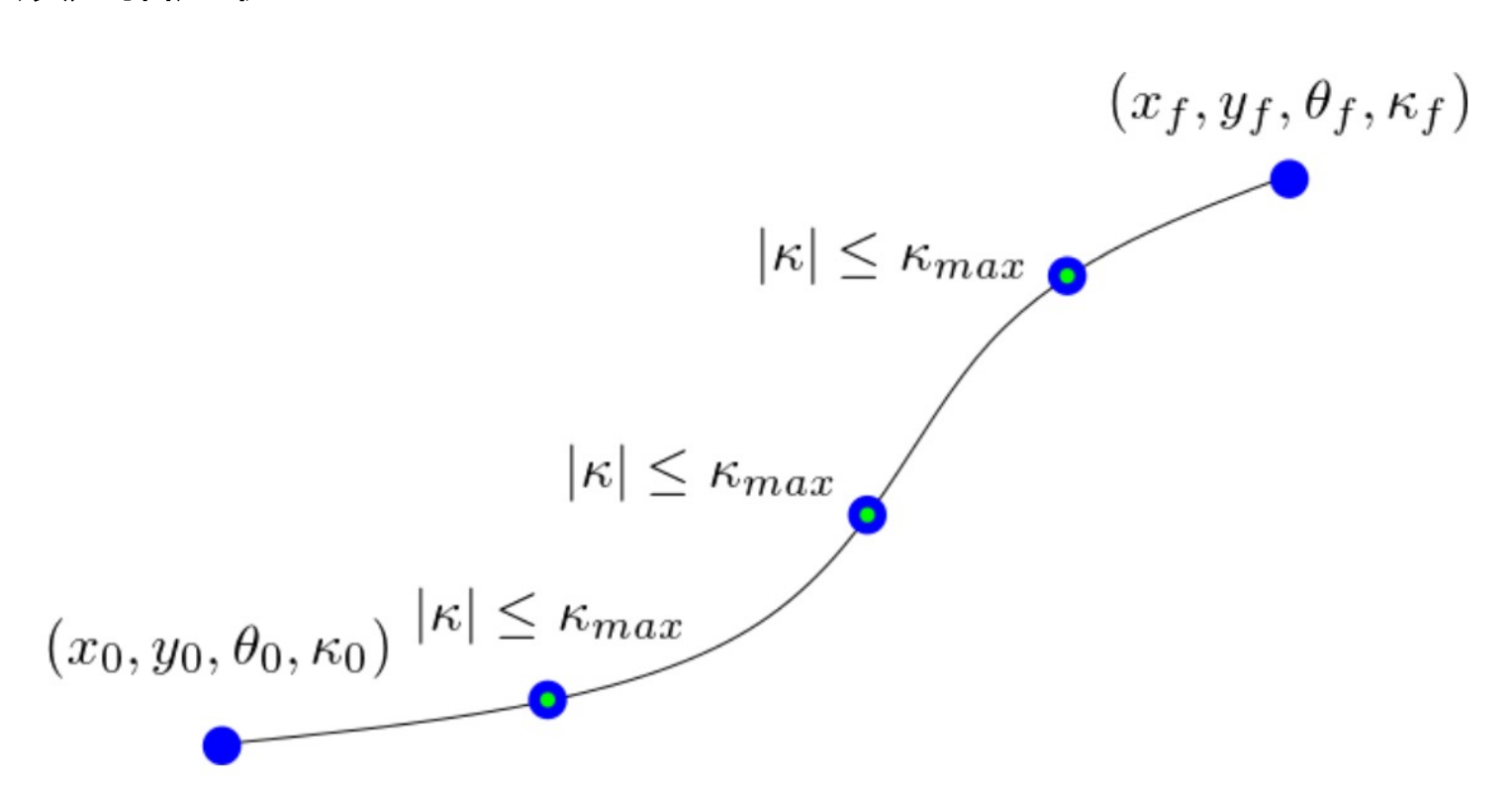
如何求解?

- 将目标点沿横向偏移。
- 通过解边界值问题,生成当前状态到目标点的行车轨迹
- 对该轨迹做碰撞检测
- ◎ 选择最优的无碰撞路径

优化目标?



- ◉ 运动规划中的边界值问题:
  - 边界值:路径起点、终点必须是指定状态
  - · 其他限制:
    - 路径必须平滑
    - 路径必须满足运动学限制

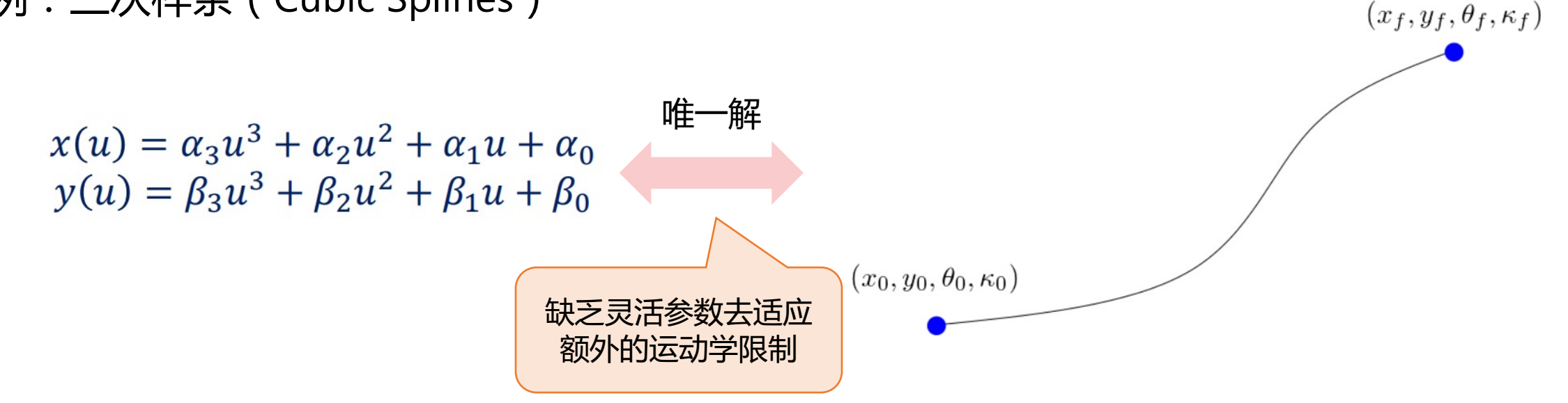


### 边界值问题的光滑解

- 参数化曲线 ( Parametric Curve )
  - 由参数等式表达的曲线
  - 参数通常是弧长 (arc length) 或归一化之后的弧长

$$\mathbf{r}(u) = \langle x(u), y(u) \rangle$$
$$u \in [0,1]$$

◉ 例:三次样条 ( Cubic Splines )



## 边界值问题的光滑解

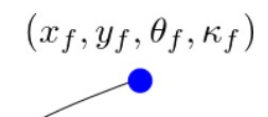
例: 五次样条(Quintic Splines)

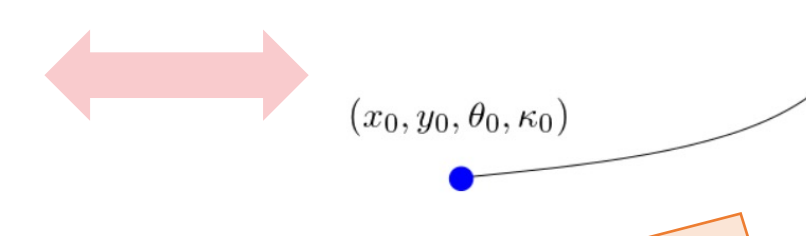
$$x(u) = \alpha_5 u^5 + \alpha_4 u^4 + \alpha_3 u^3 + \alpha_2 u^2 + \alpha_1 u + \alpha_0$$

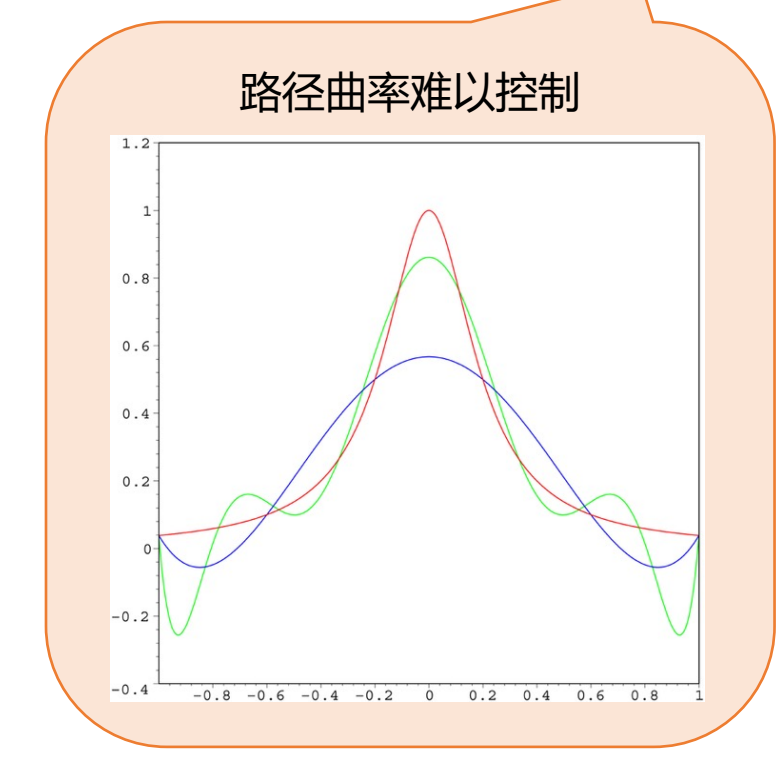
$$y(u) = \beta_5 u^5 + \beta_4 u^4 + \beta_3 u^3 + \beta_2 u^2 + \beta_1 u + \beta_0$$

$$u \in [0,1]$$

$$\min f(\mathbf{r}(u)) \text{ s. t. } \begin{cases} c(\mathbf{r}(u)) \le \alpha, & \forall u \in [0,1] \\ \mathbf{r}(0) = \beta_0 \\ \mathbf{r}(u_f) = \beta_f \end{cases}$$





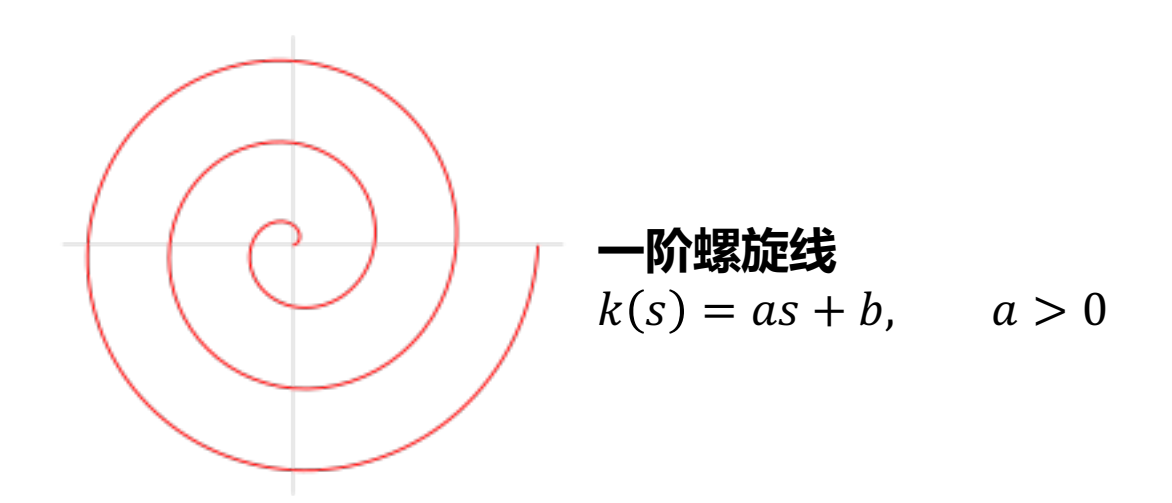


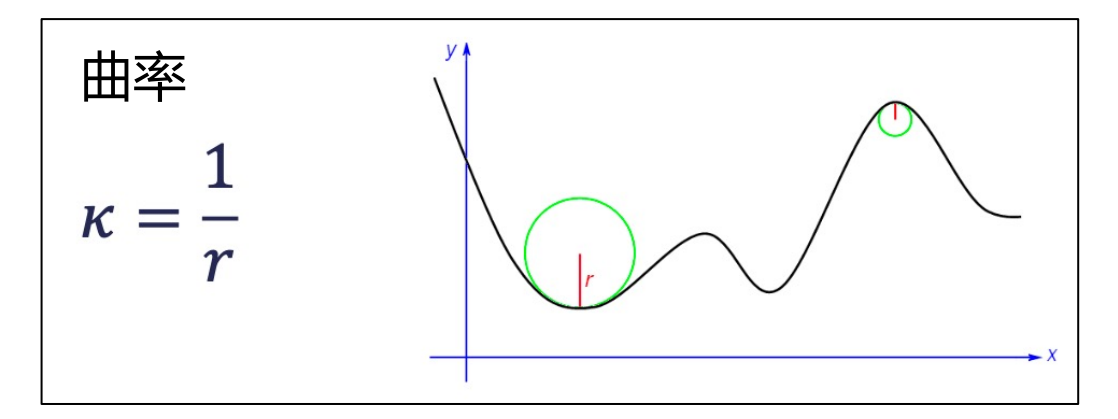
## 边界值问题的光滑解

●例:三阶螺旋线(Cubic Spirals)

• 螺旋线:将曲率表达为弧长的函数

· **曲率(curvature)**: 曲线上某个点的切线方向角度相对于弧长的转动率





$$\kappa = \frac{x'y'' - y'x''}{(x'^2 + y'^2)^{3/2}}$$

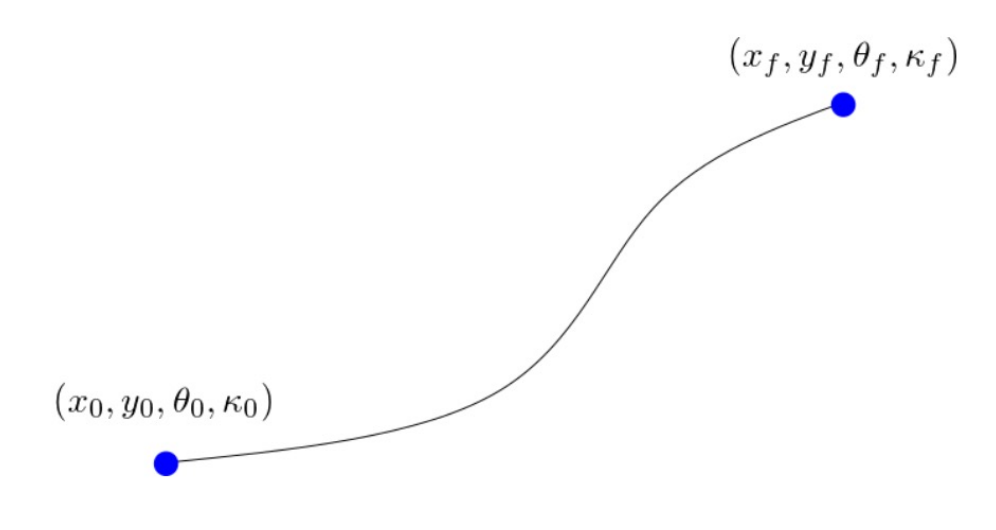
- ●例:三阶螺旋线(Cubic Spirals)
  - 将曲率(curvature)表达为弧长的三次多项式函数
  - 可以利用积分计算  $\theta(s), x(s), y(s)$

$$\theta(s) = \theta_0 + \int_0^s a_3 s'^3 + a_2 s'^2 + a_1 s' + a_0 ds'$$
$$= \theta_0 + a_3 \frac{s^4}{4} + a_2 \frac{s^3}{3} + a_1 \frac{s^2}{2} + a_0 s$$

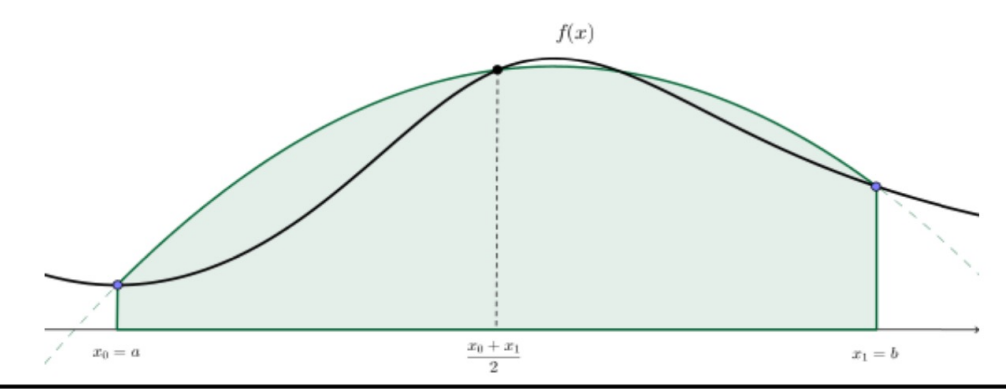
$$x(s) = x_0 + \int_0^s \cos(\theta(s')) ds'$$
$$y(s) = y_0 + \int_0^s \sin(\theta(s')) ds'$$

没有解析解,需要数值积分方法

$$\kappa(s) = a_3 s^3 + a_2 s^2 + a_1 s + a_0$$



- 数值积分: Simpson's Rule
  - 对函数 f(x) 进行二次多项式插值
  - 对二次插值曲线进行积分



$$\int_0^s f(s')ds' \approx \frac{s}{3n} \left( f(0) + 4f\left(\frac{s}{n}\right) + 2f\left(\frac{2s}{n}\right) + \dots + f(s) \right)$$

Simpson's Rule

$$x(s) = x_0 + \int_0^s \cos(\theta(s')) ds'$$
$$y(s) = y_0 + \int_0^s \sin(\theta(s')) ds'$$

$$x_{S}(s) = x_{0} + \frac{s}{24} \left[ \cos(\theta(0)) + 4\cos(\theta(\frac{s}{8})) + 2\cos(\theta(\frac{2s}{8})) + 4\cos(\theta(\frac{3s}{8})) + 2\cos(\theta(\frac{4s}{8})) \right]$$

$$+ 4\cos(\theta(\frac{5s}{8})) + 2\cos(\theta(\frac{6s}{8})) + 4\cos(\theta(\frac{7s}{8})) + \cos(\theta(s))$$

$$y_{S}(s) = y_{0} + \frac{s}{24} \left[ \sin(\theta(0)) + 4\sin(\theta(\frac{s}{8})) + 2\sin(\theta(\frac{2s}{8})) + 4\sin(\theta(\frac{3s}{8})) + 2\sin(\theta(\frac{4s}{8})) \right]$$

$$+ 4\sin(\theta(\frac{5s}{8})) + 2\sin(\theta(\frac{6s}{8})) + 4\sin(\theta(\frac{7s}{8})) + \sin(\theta(s))$$

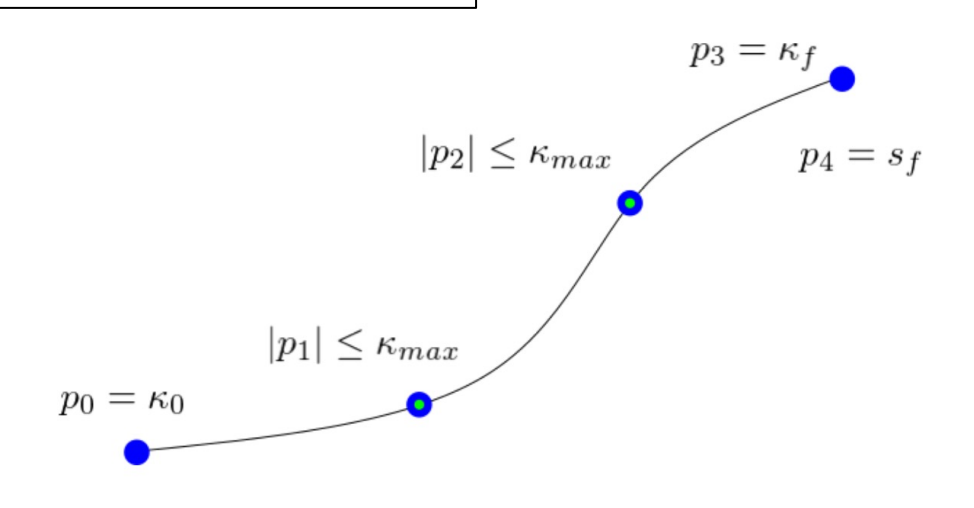
$$\kappa(s) = a_3 s^3 + a_2 s^2 + a_1 s + a_0$$

#### ◉ 约束优化问题

- 近似曲率约束:
  - 只考虑4个均匀分布的点:  $0, \frac{s_f}{3}, \frac{2s_f}{3}, s_f$
- 状态边界值限制:
  - 起始边界值已经在积分初始值中考虑
  - 终点边界值是约束条件
- 优化目标:最小化 Bending Energy

$$f_{be}(a_0, a_1, a_2, a_3, s_f)$$

$$= \int_0^{s_f} (a_3 s^3 + a_2 s^2 + a_1 s + a_0)^2 ds$$



$$\left|\kappa\left(\frac{s_f}{3}\right)\right| \le \kappa_{max}, \qquad \left|\kappa\left(\frac{2s_f}{3}\right)\right| \le \kappa_{max}$$

$$x_S(0) = x_0, \qquad x_S(s_f) = x_f$$

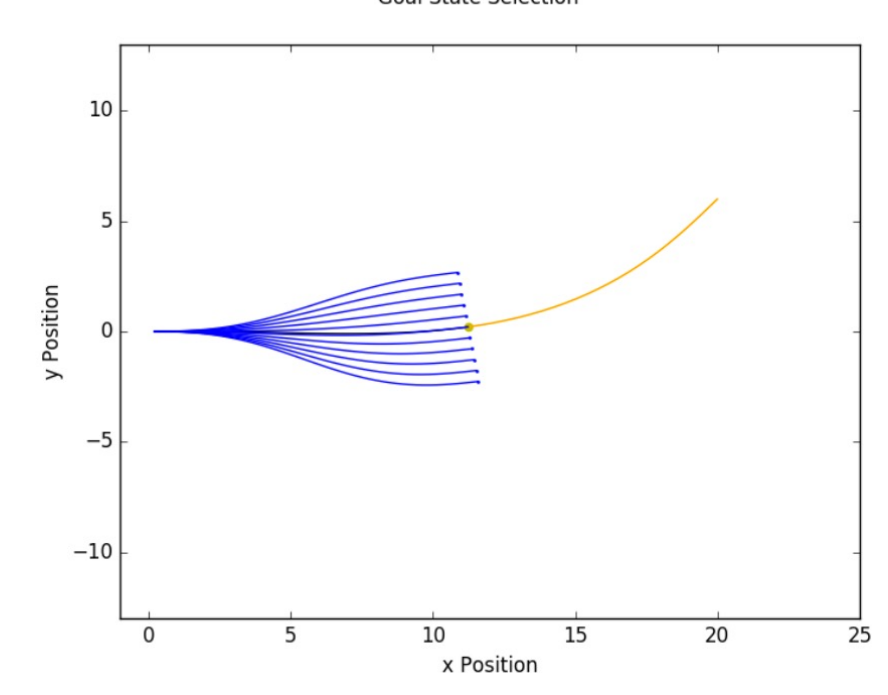
$$y_S(0) = y_0, \qquad y_S(s_f) = y_f$$

$$\theta(0) = \theta_0, \qquad \theta(s_f) = \theta_f$$

$$\kappa(0) = \kappa_0, \qquad \kappa(s_f) = \kappa_f$$

#### ◉ 近似地求解约束优化问题

- Lagrangian 方法:将硬性约束(hard constraints) 转换为软性约束(soft constraints),从而最小化约束违反度
- Lagrangian multiplier (α, β, γ) 是非常大的数值



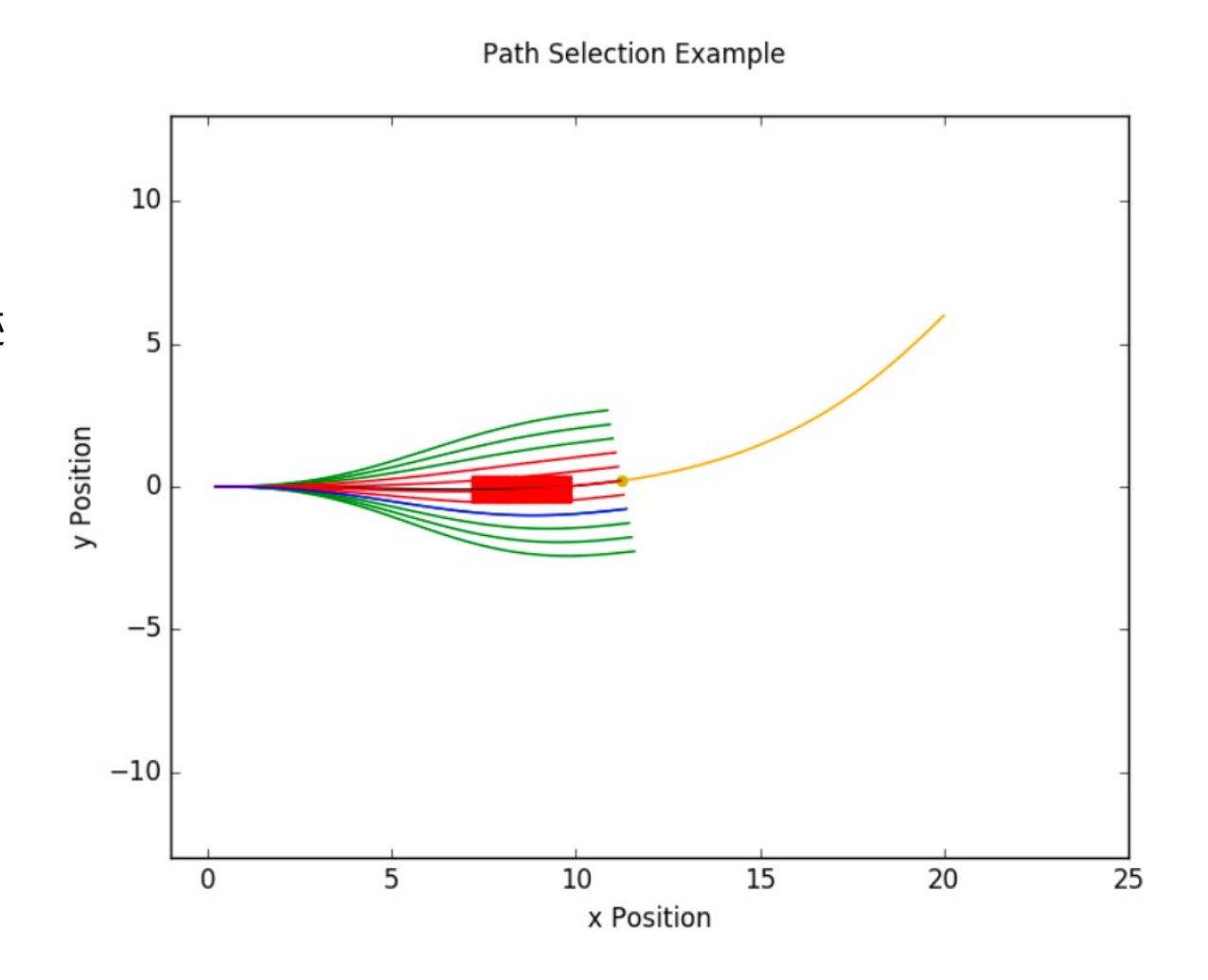
$$\min f_{be}(a_0, a_1, a_2, a_3, s_f) + \alpha \left( x_S(s_f) - x_f \right) + \beta \left( y_S(s_f) - y_f \right) + \gamma \left( \theta_S(s_f) - \theta_f \right)$$

$$\text{s.t.} \left\{ \begin{vmatrix} \kappa \left( \frac{s_f}{3} \right) \end{vmatrix} \le \kappa_{max} \\ \left| \kappa \left( \frac{2s_f}{3} \right) \right| \le \kappa_{max} \\ \kappa(s_f) = \kappa_f \end{aligned} \right.$$

不一定精确到达终点

- ◎ 选择前方道路中心线上的目标点
- ◉ 重复N次:
  - 将目标点沿横向偏移固定的距离
  - 通过解边界值问题,生成当前状态到目标点的行车轨迹
  - 对该轨迹做碰撞检测
- ◉ 选择最优的无碰撞路径

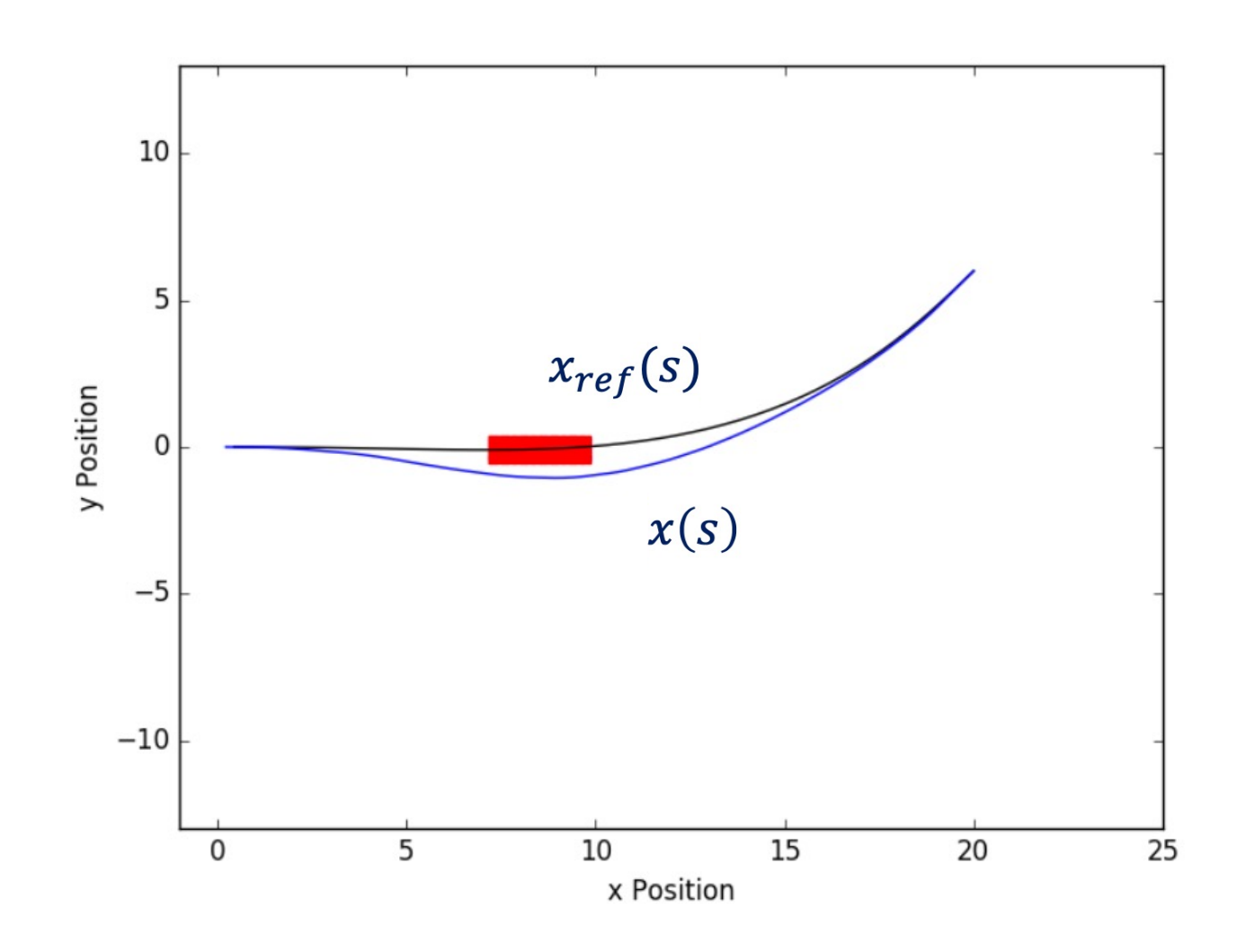
优化目标?



## 路径优化目标

#### ● 累积路径追踪误差:

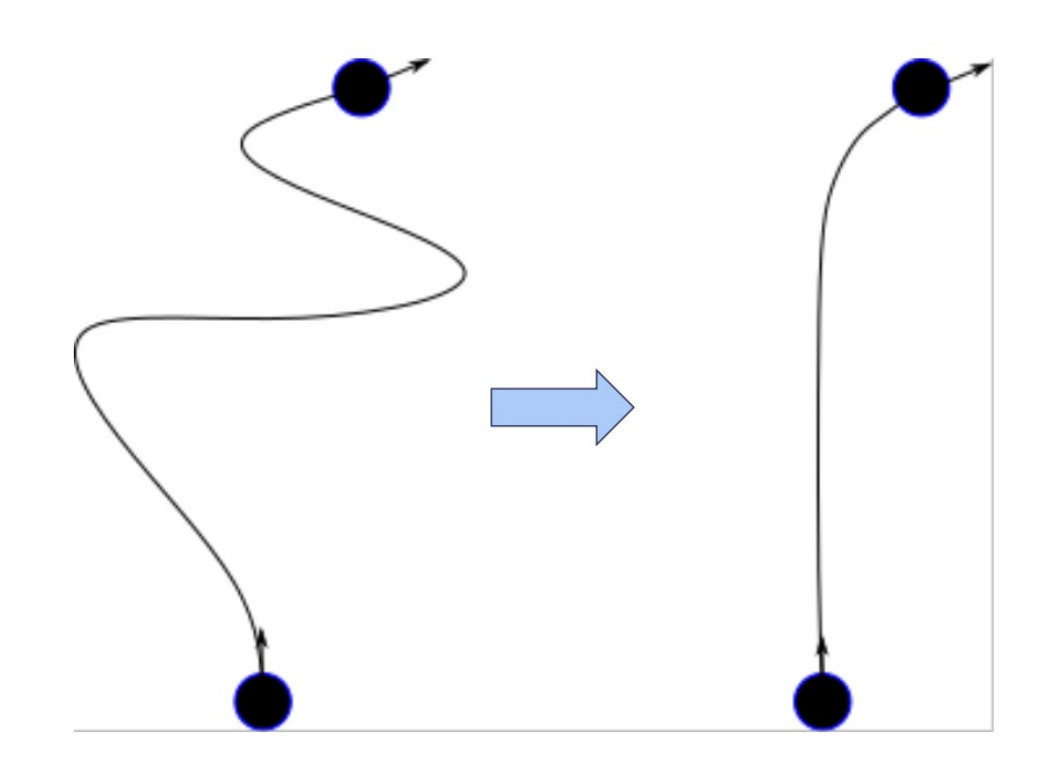
$$\int_0^{s_f} \|x(s) - x_{ref}(s)\| ds$$



### 路径规划的通用目标

**路径长度**: 
$$s_f = \int_{x_i}^{x_f} \sqrt{1 + \left(\frac{dy}{dx}\right)^2} \, dx$$

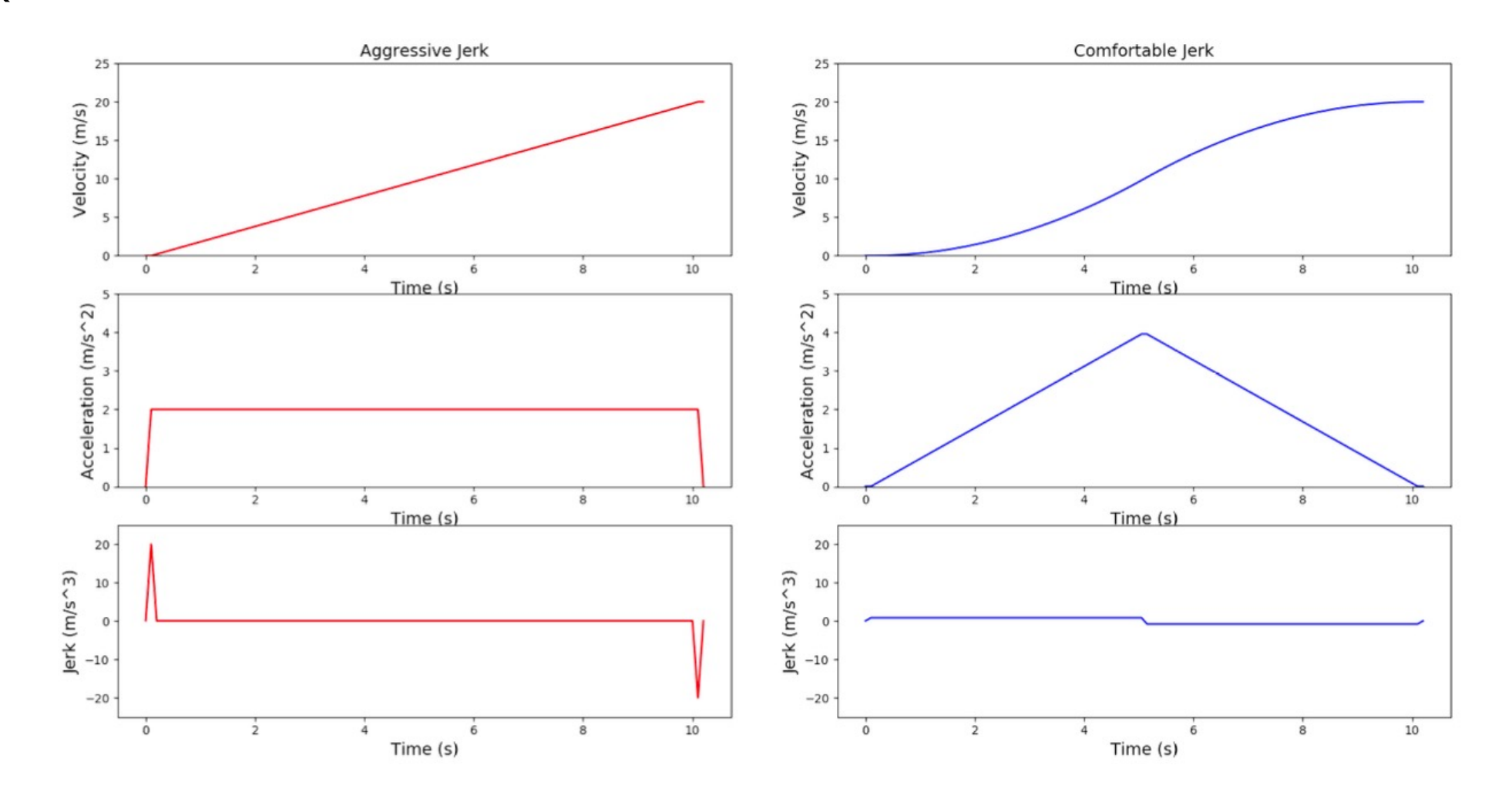
**遂行时间**: 
$$T_f = \int_0^{s_f} \frac{1}{v(s)} ds$$



# 路径规划的通用目标

● 光滑度:累积 jerk

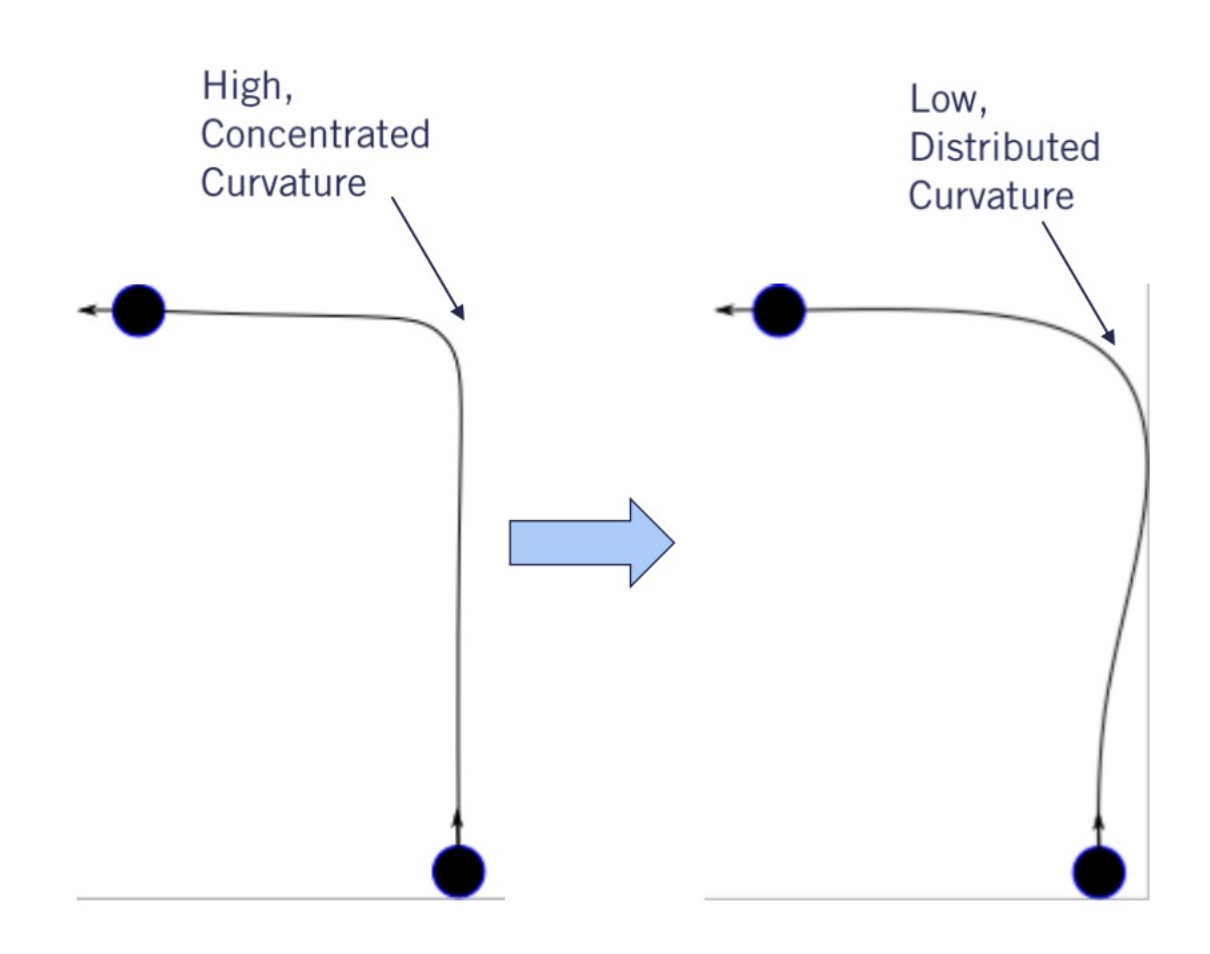
$$\int_0^{s_f} \|\ddot{x}(s)\|^2 ds$$
Jerk



# 路径规划的通用目标

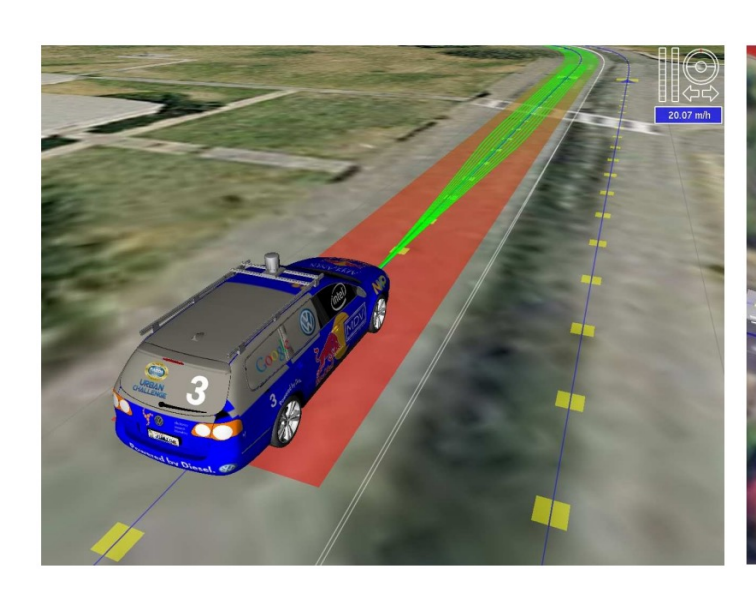
● 光滑度:累积曲率

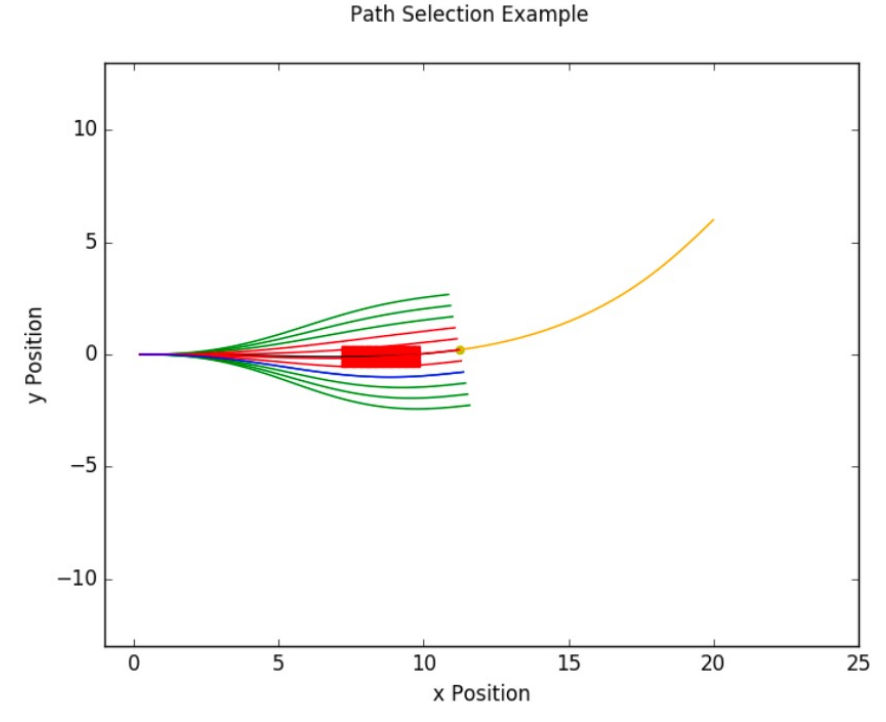
$$\int_0^{s_f} ||\kappa(s)||^2 ds$$



# 完整的 Conformal lattice planner

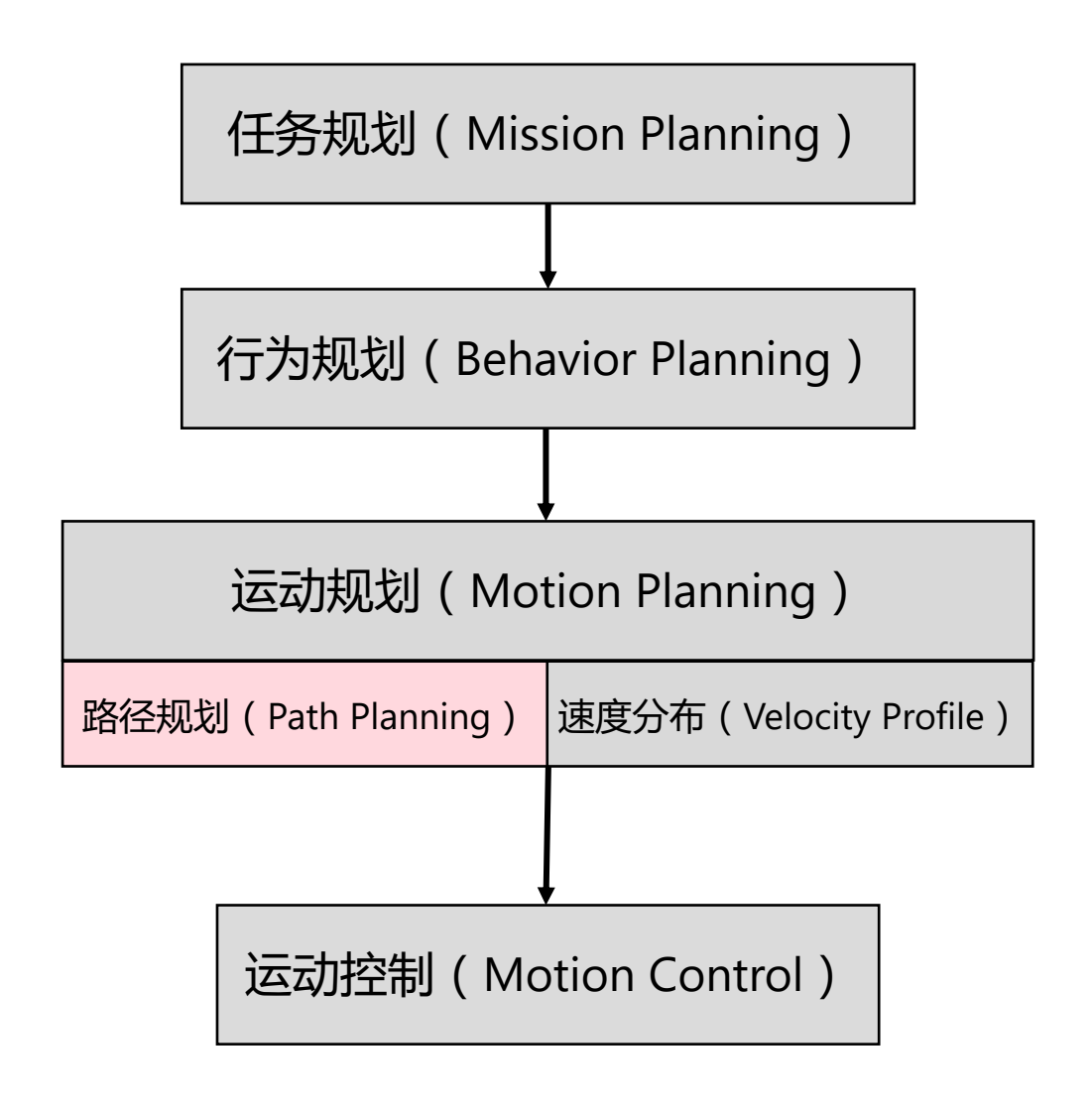
- ◎ 选择前方道路中心线上的目标点
- 重复N次:
  - 将目标点沿横向偏移固定的距离
  - 通过解边界值问题,生成当前状态到目标点的行车轨迹
  - 对该轨迹做碰撞检测
- ◉ 选择最优的无碰撞路径:
  - $\min \gamma_T C_T + \gamma_L C_L + \gamma_S C_S$
  - $C_T$ : 累积路径追踪误差(必须)
  - *C<sub>L</sub>*:路径长度(可选)
  - *C<sub>S</sub>*:累积路径曲率(可选)



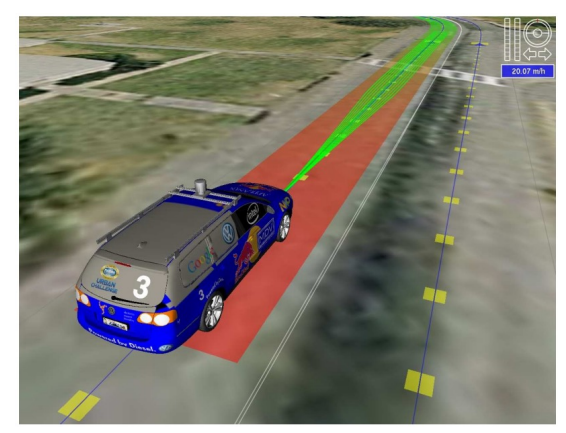




# 自动驾驶路径规划

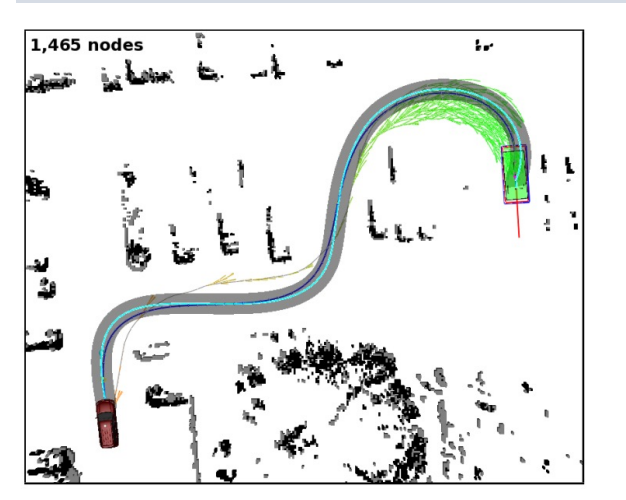


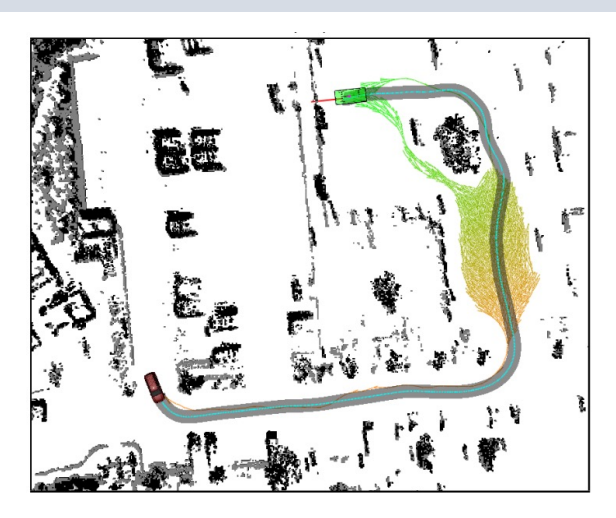
#### 结构化场景 -> Conformal Lattice Planner



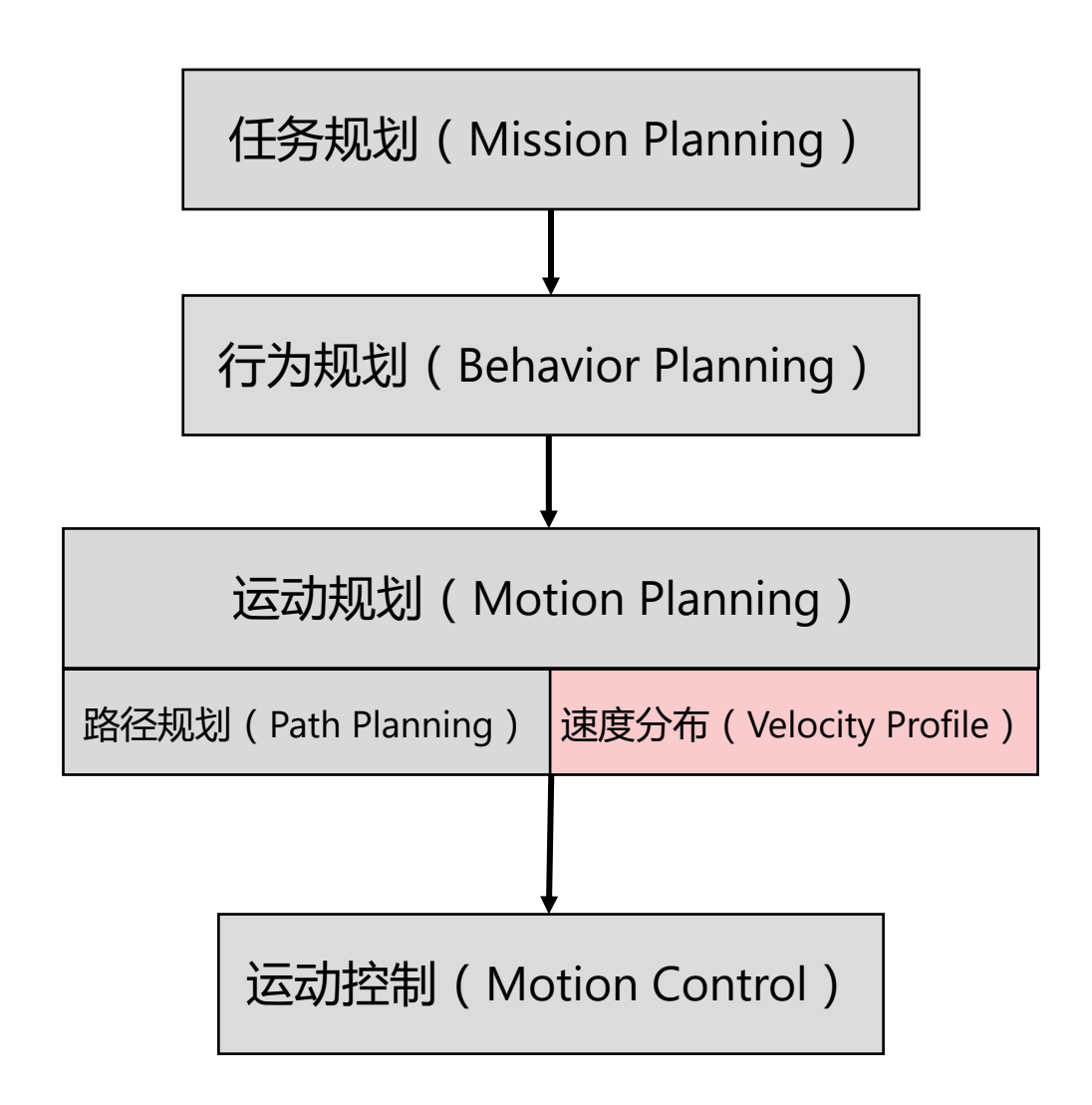


#### 非结构化场景 -> Hybrid A\* + 复合 heuristics





# 自动驾驶速度分布生成



# 自动驾驶速度分布生成



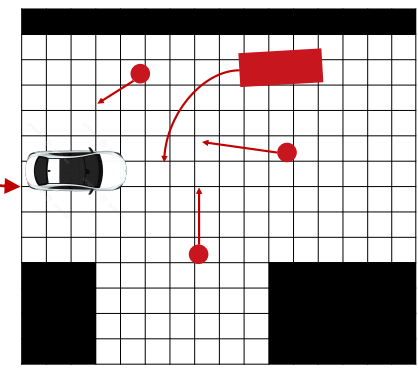
#### 停车





#### 跟车、变道时与前车交互





### 结构化场景中的目标速度 - 影响因素 I

#### ●参考速度 $v_{ref}$

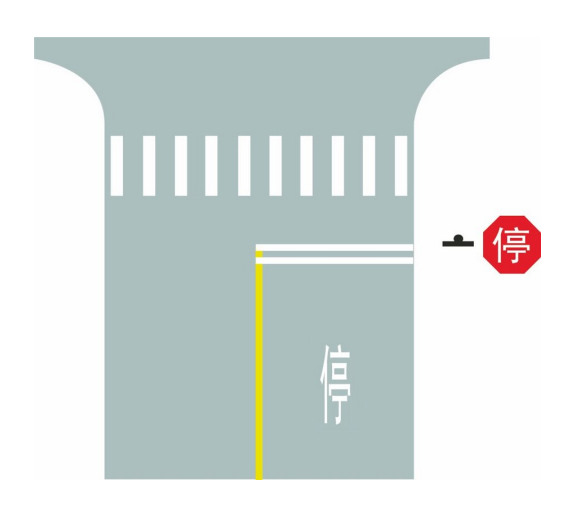
- 由用户指定: "请开到80 km/h"
- 受到道路限速的限制
- 收到交通管制装置的约束

$$v_{ref} \le 60 \, km/h$$

$$v_{ref} = 0 \ km/h$$

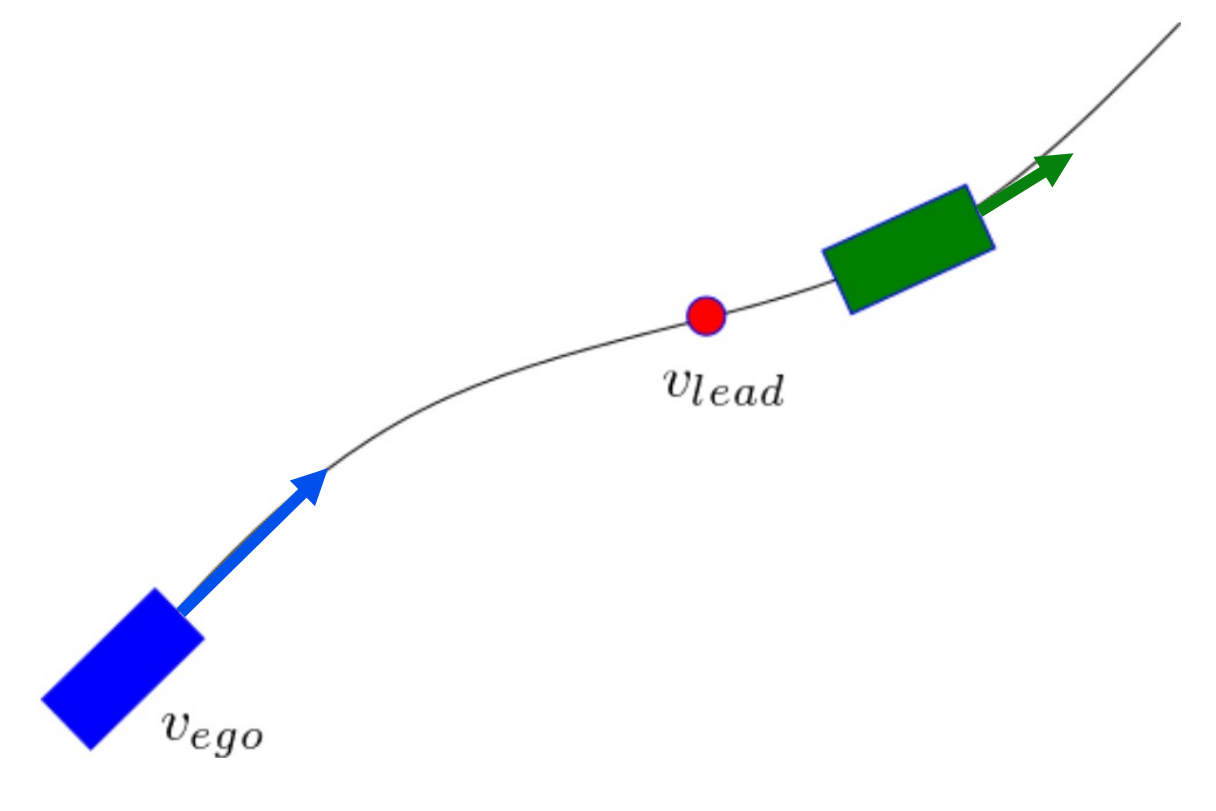


$$v_{ref} = 0$$
 (持续2s)

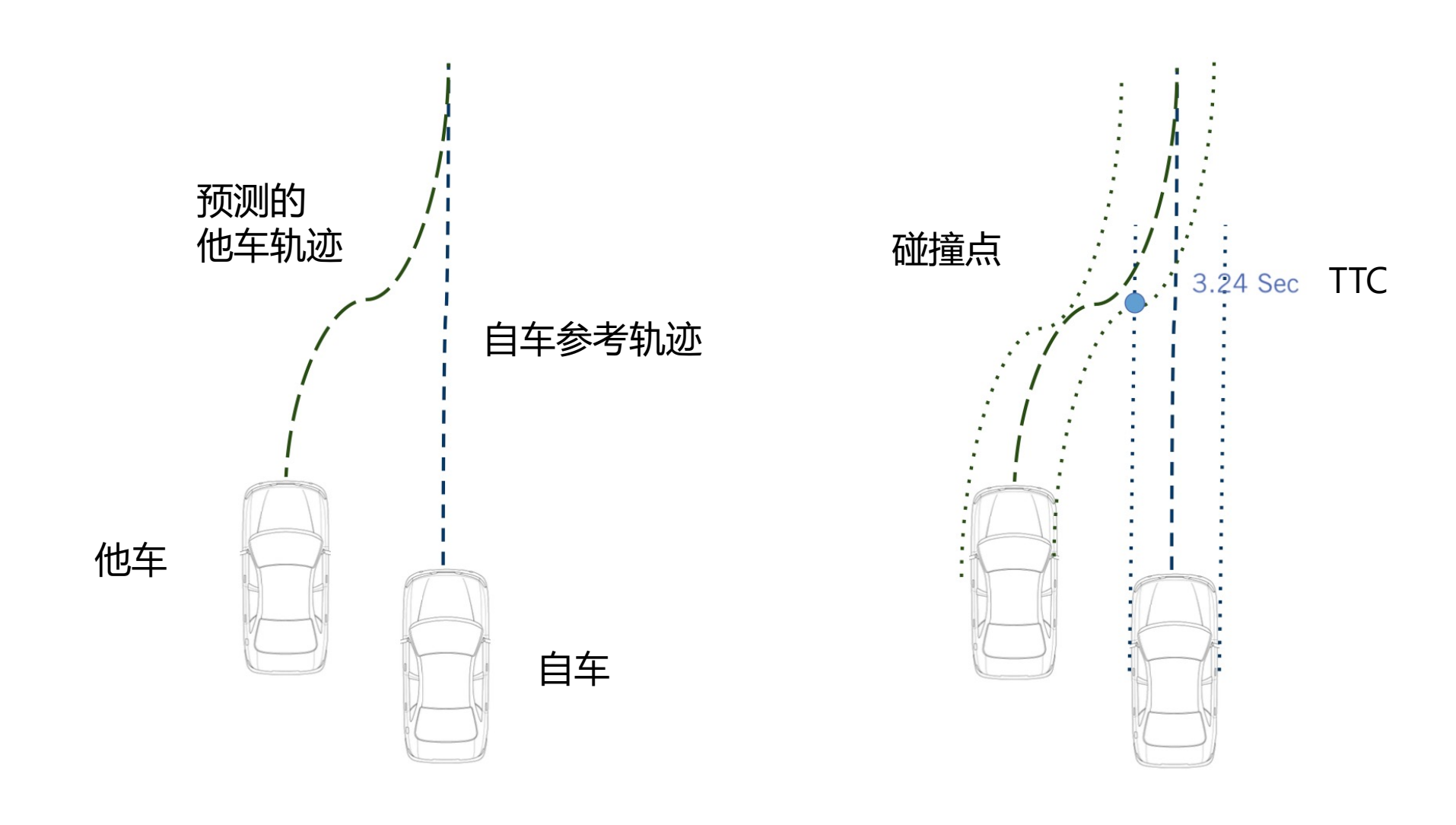


### 结构化场景中的目标速度 – 影响因素 ॥

- - 在自车到达前车尾部之前,自车速度必须降到前车速度之下

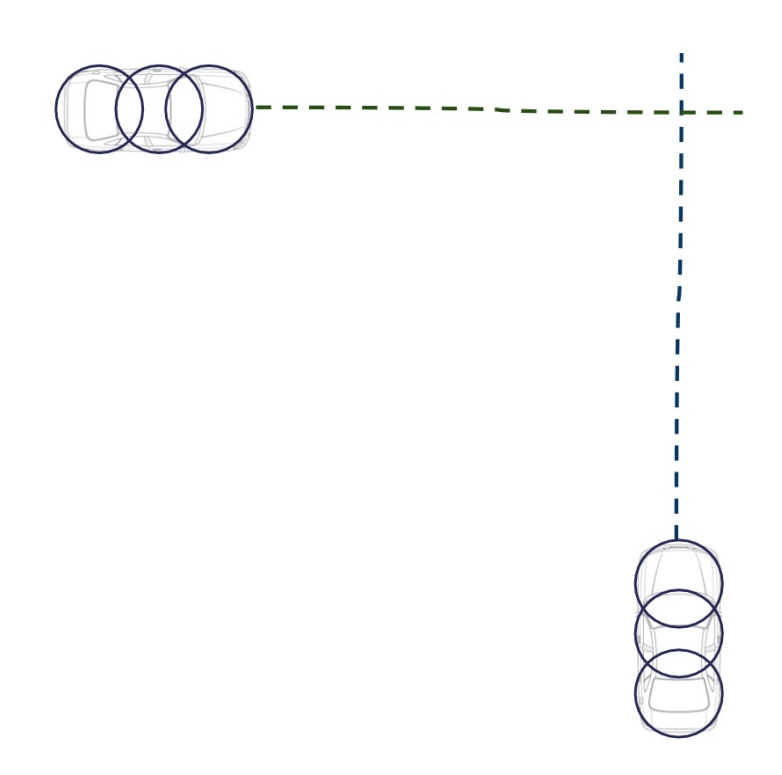


#### 碰撞点(Collision Point)与碰撞时间(Time-To-Collision)

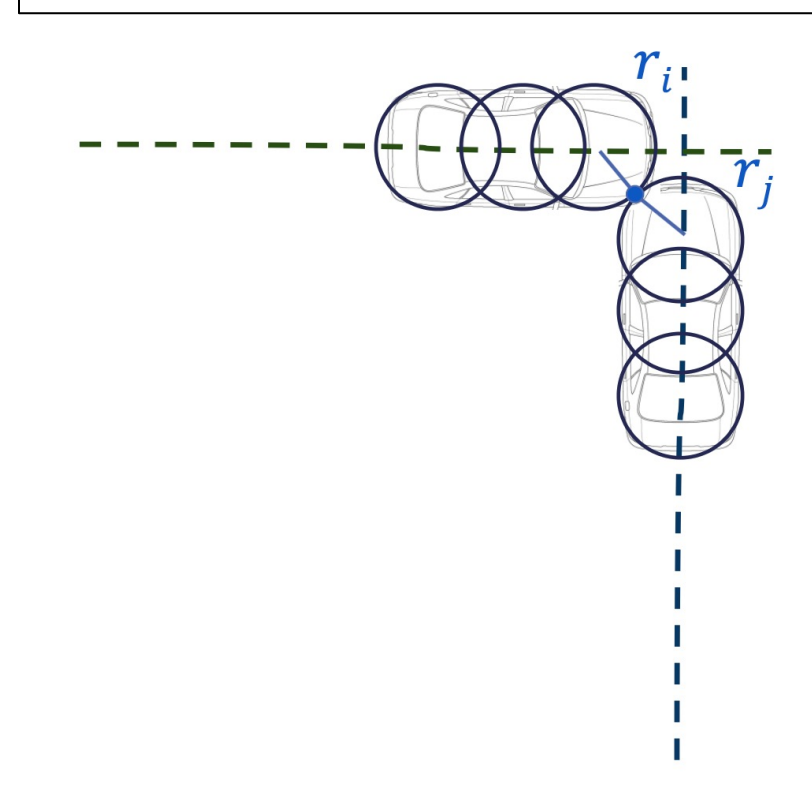


#### 碰撞点(Collision Point)与碰撞时间(Time-To-Collision)

- ◎ 将车辆模拟成3个圆盘,按照参考与预测轨迹向前模拟车的未来状态
- ◎ 在每一个时间步,进行碰撞检测
- 当碰撞发生时,记录碰撞时间、碰撞点

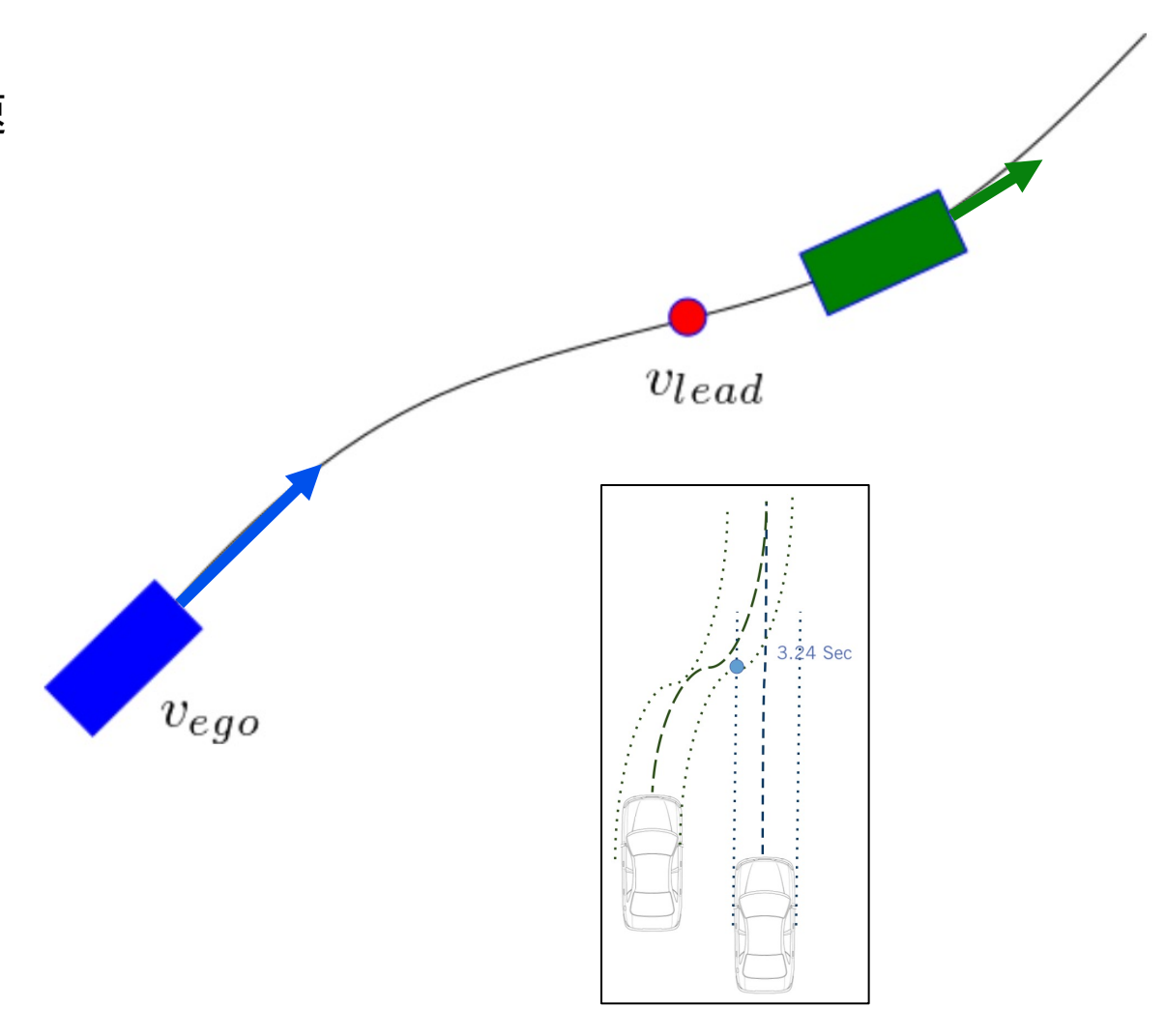


$$C_X = \frac{(x_i * r_j) + (x_j * r_i)}{(r_i + r_j)}, \qquad C_Y = \frac{(y_i * r_j) + (y_j * r_i)}{(r_i + r_j)}$$



# 结构化场景中的目标速度

- - 在到达路径上的碰撞点(红点)之前,自车速度必须降到前车速度之下



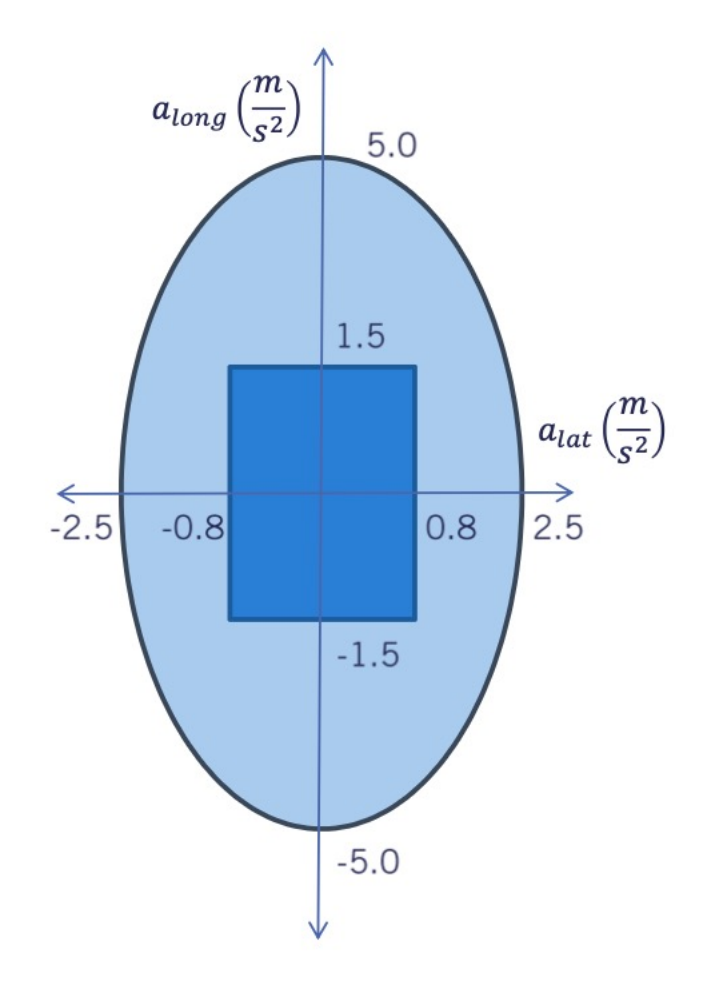
### 结构化场景中的目标速度 - 影响因素 |||

- - 摩擦力椭圆:车辆加速度在椭圆内不会导致打滑
  - 舒适矩形: 车辆加速度在矩形内, 乘客感到舒适
  - · 横向加速度限制 -> 纵向速度限制:
    - 车辆横向加速度与速度、转弯半径的关系:

$$a_{lat} = \frac{v^2}{r}, \qquad a_{lat} \le a_{lat_{max}}$$

• 根据曲率定义:  $\kappa = \frac{1}{r}$ 

• 于是:  $v^2 \leq \frac{a_{lat_{max}}}{\kappa}$ 

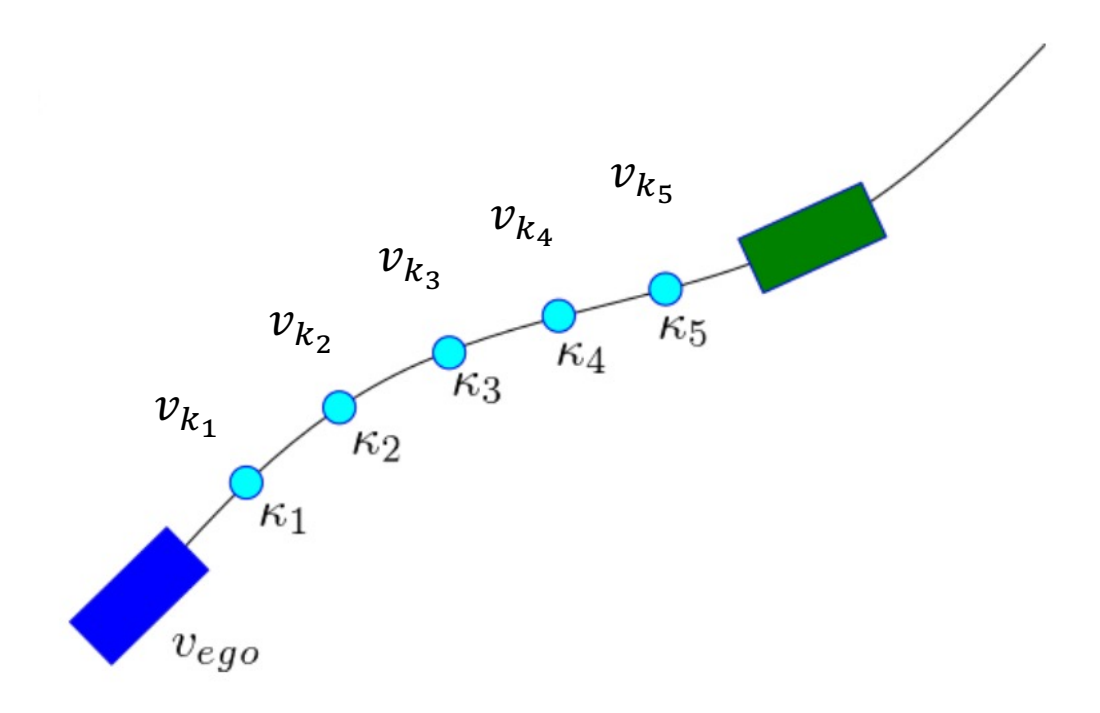


### 结构化场景中的目标速度分布

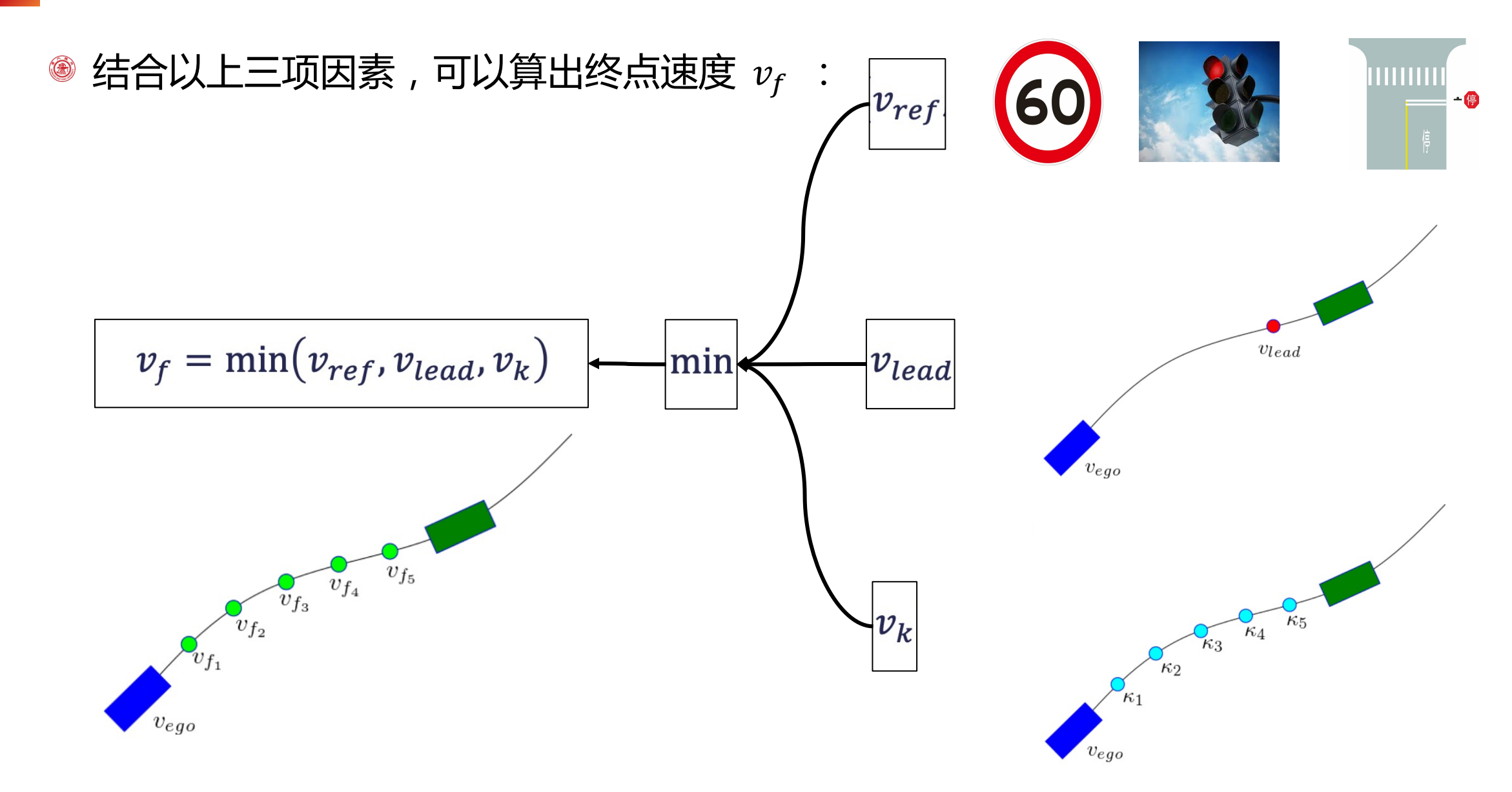
- - 在**轨迹上任意一个点**,若当时的曲率是  $\kappa_i$ ,那么:

$$v_k \leq \sqrt{\frac{a_{lat}}{\kappa_i}}$$

• 车辆在运动到第 i 个离散点时,必须满足:  $v \le v_{k_i}$ 



# 结构化场景中的目标速度分布

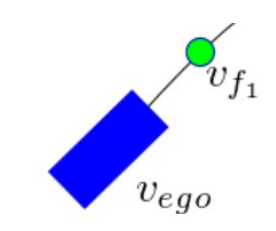


- 方法1:线性斜坡曲线(Linear Ramp Profile)
  - 将  $v_0$  与  $v_f$  沿着弧长维度线性插值
  - 需要的加速度可以计算为:

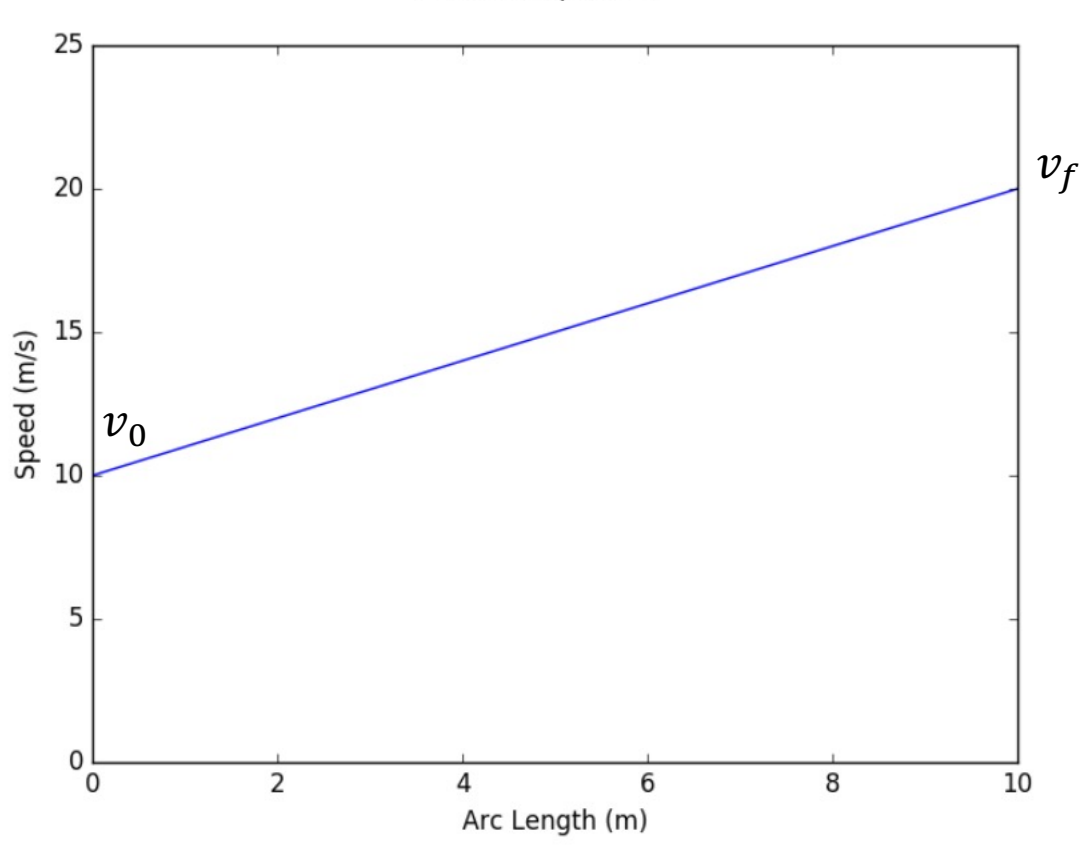
$$\frac{v_f^2 - v_0^2}{2s} = a$$

• 若达到最大加速度限制,则不一定能达到 $v_f$ :

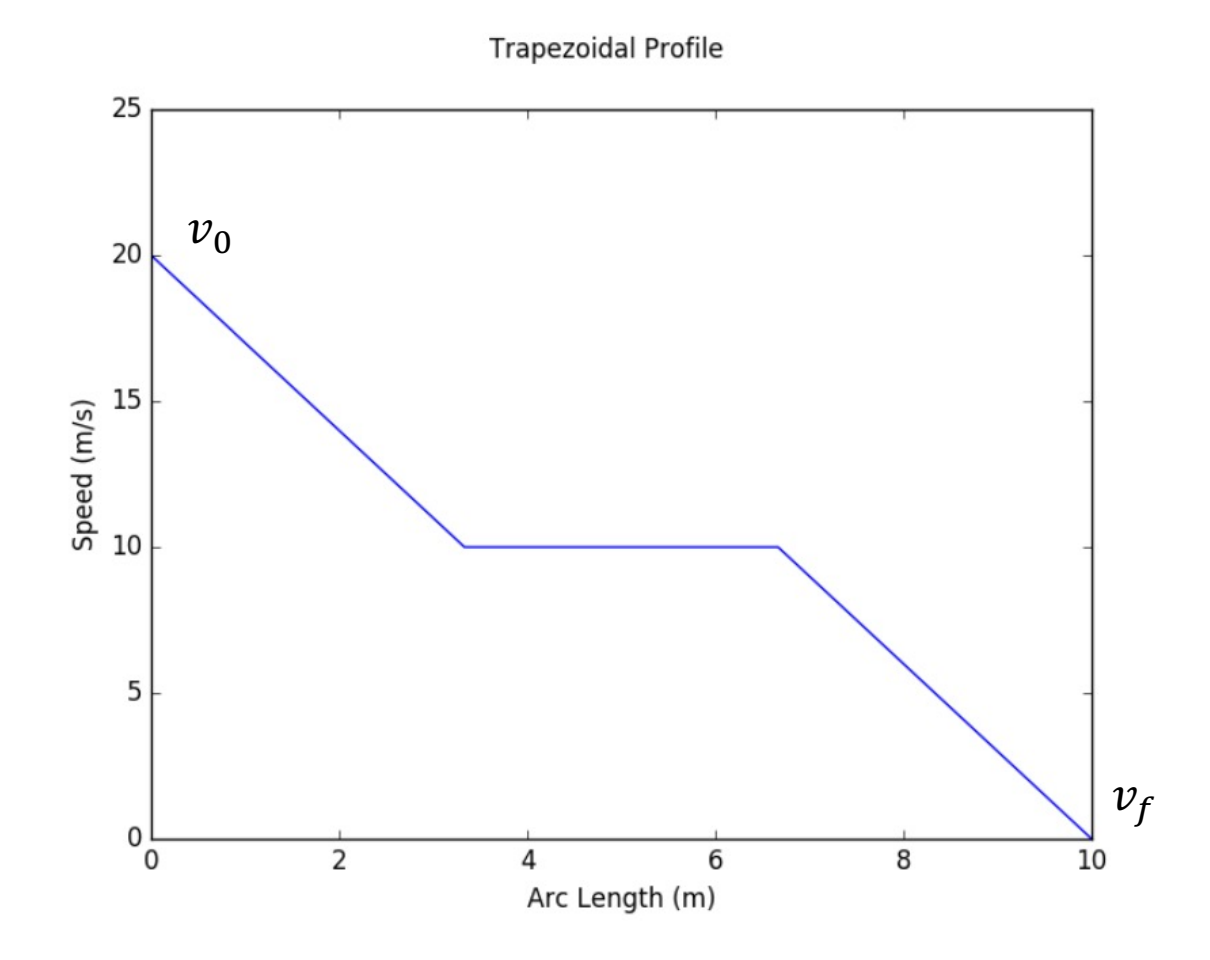
$$\sqrt{2as + v_0^2} = v_f$$





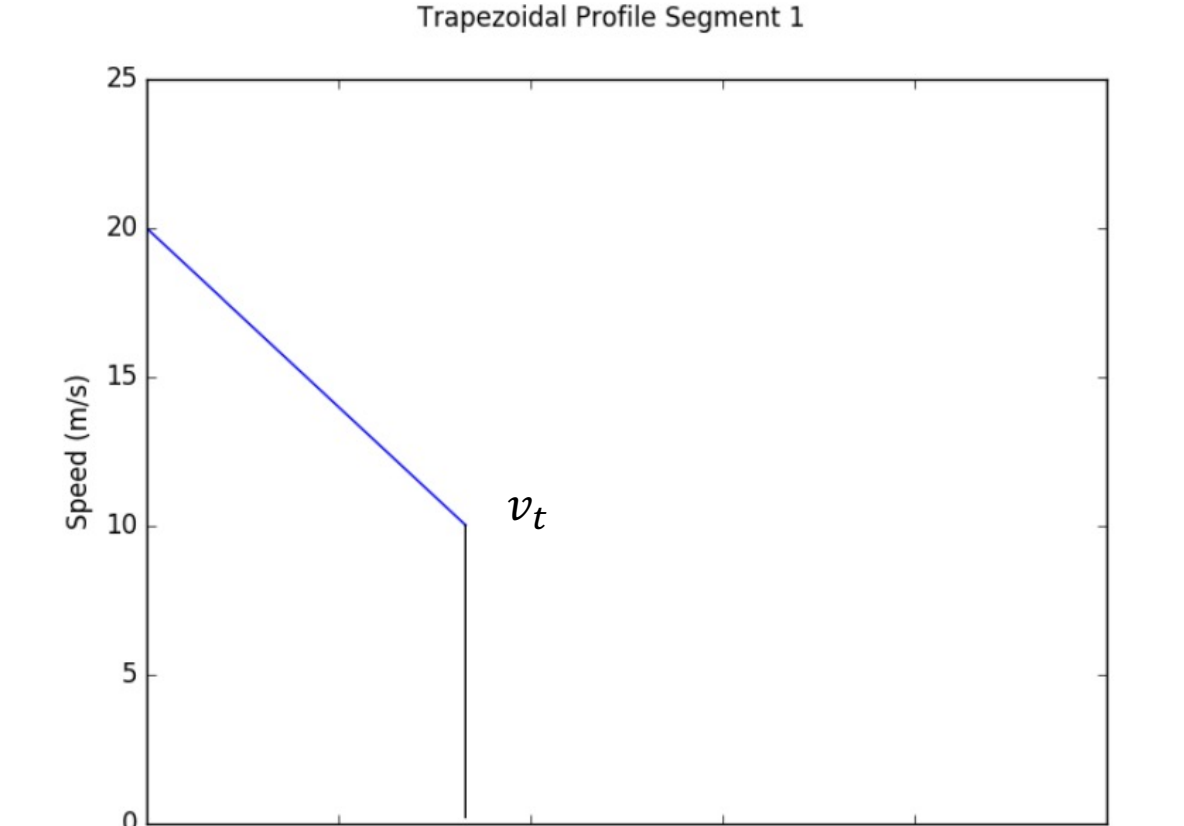


- $ilde{m{ ilde{ ilde{m{ ilde{m{ ilde{m{v}}}}}}}}$  在当前路径段内,将速度从  $v_0$  变化到  $v_f$
- 方法2:梯形曲线(Trapezoidal Profile)
  - 匀加/减速-匀速-匀加/减速
  - 停车时适用



- $^{\textcircled{6}}$  在当前路径段内,将速度从  $v_0$  变化到  $v_f$
- 方法2:梯形曲线(Trapezoidal Profile)
  - 第一段: 执行匀加速度  $s_0$  达到临时速度  $v_t$

$$\frac{v_t^2 - v_0^2}{2a_0} = s_a$$

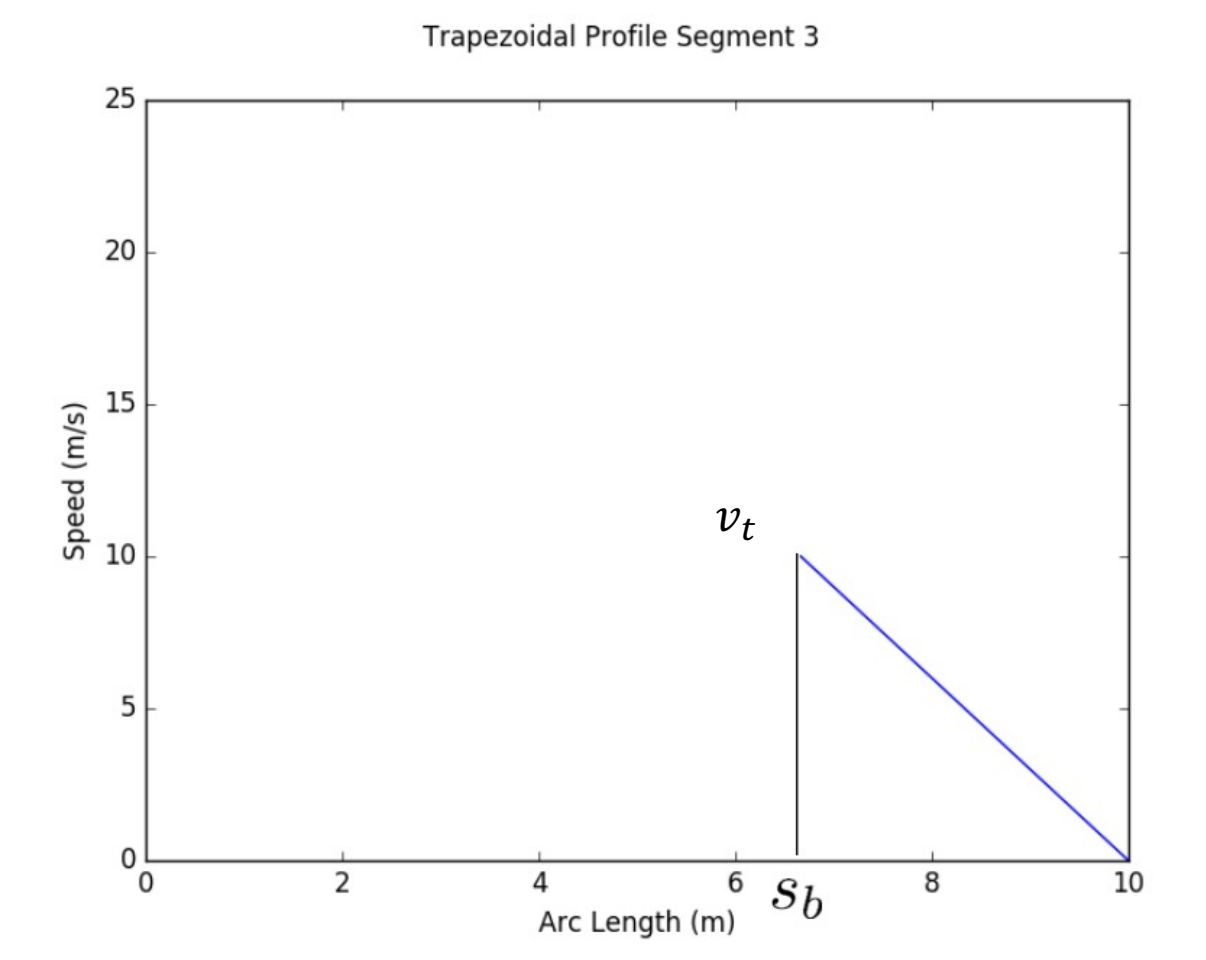


Arc Length (m)

8

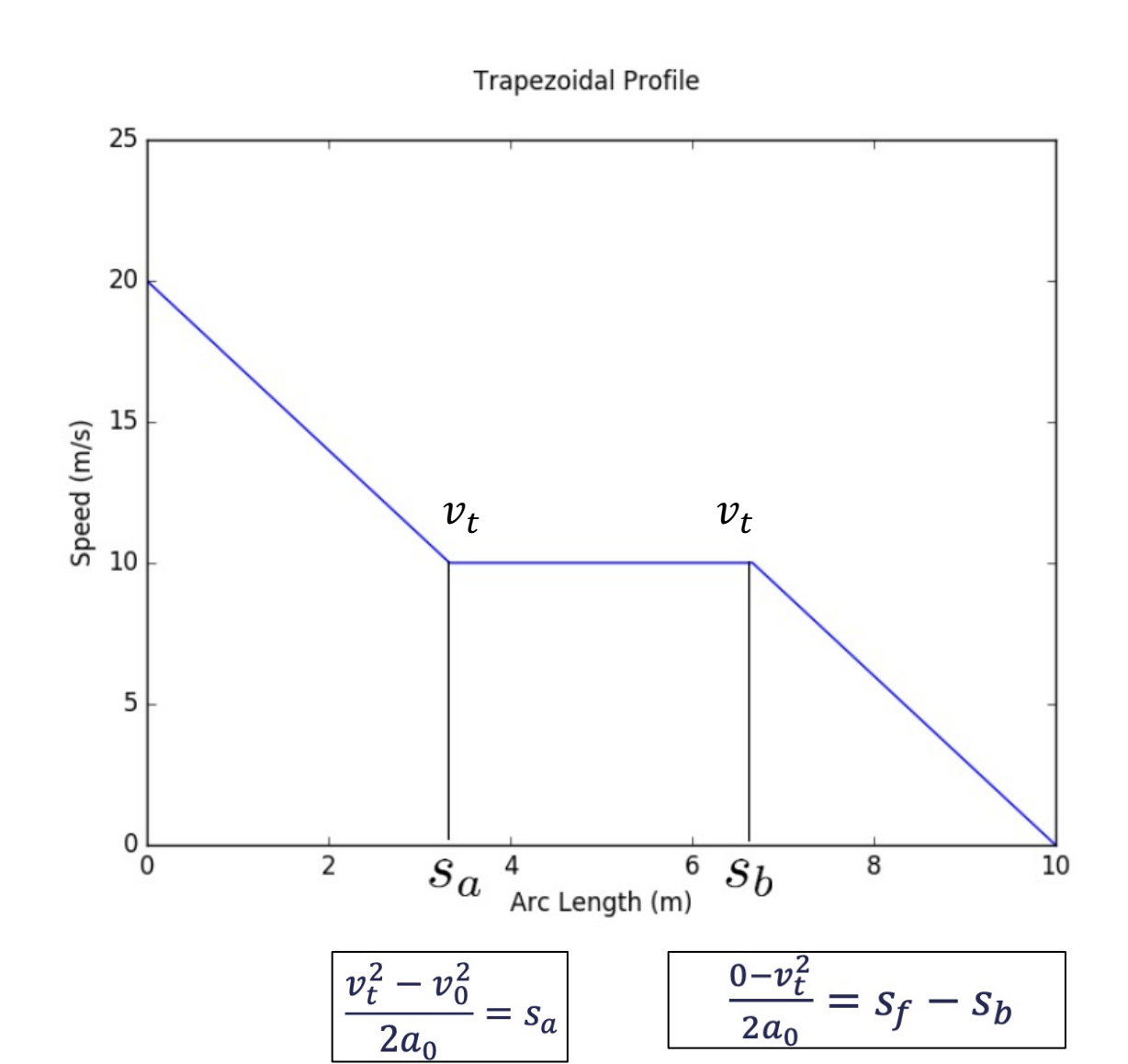
- $^{\textcircled{6}}$  在当前路径段内,将速度从  $v_0$  变化到  $v_f$
- 方法2:梯形曲线(Trapezoidal Profile)
  - 第一段: 执行匀加速度  $s_0$  达到临时速度  $v_t$
  - 第三段:执行匀加速度  $s_0$  达到最终速度 0

$$\frac{0 - v_t^2}{2a_0} = s_f - s_b$$

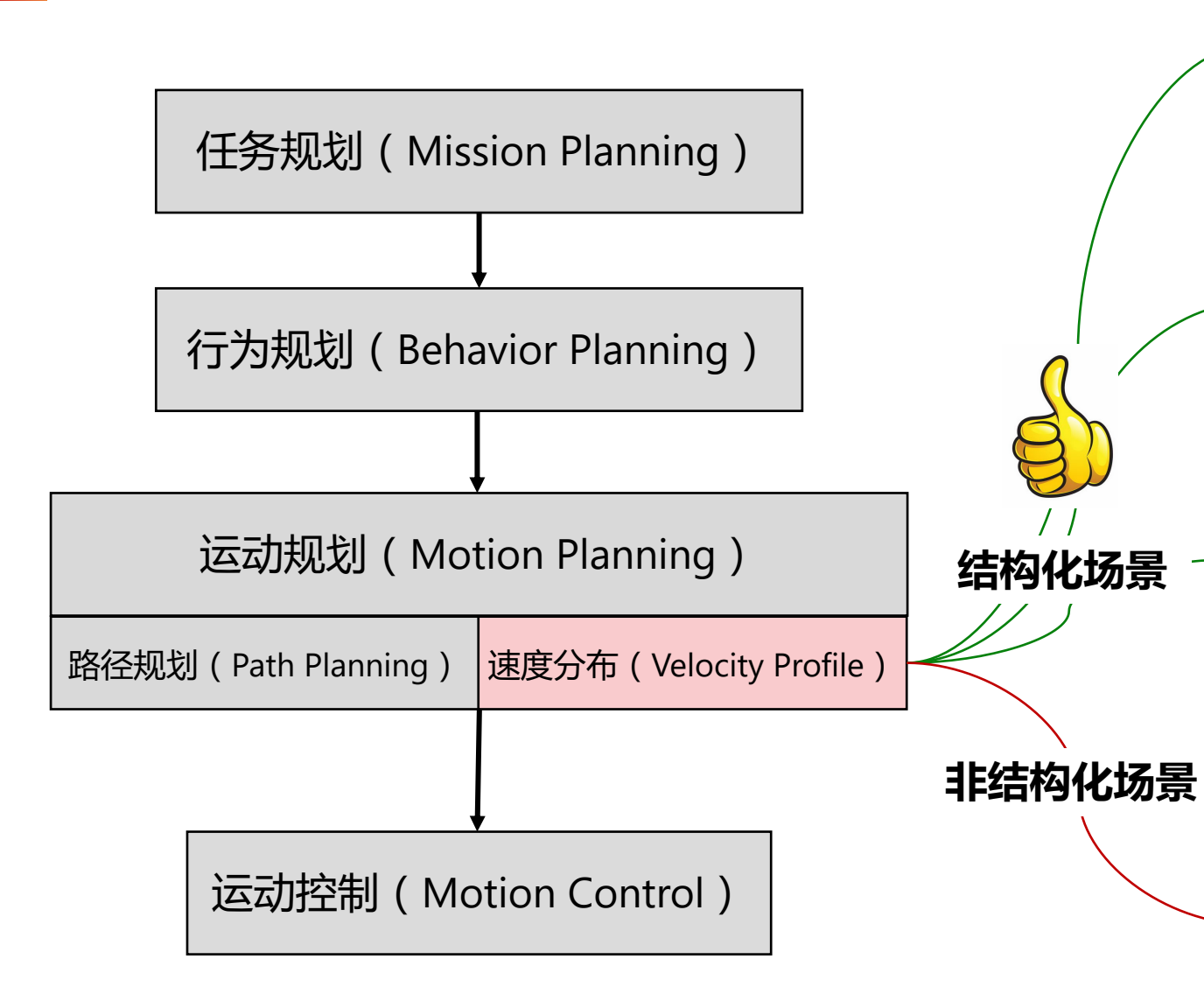


- 方法2:梯形曲线(Trapezoidal Profile)
  - 第一段: 执行匀加速度  $s_0$  达到临时速度  $v_t$
  - 第二段: 执行匀速运动
  - 第三段:执行匀加速度  $s_0$  达到最终速度 0

$$v_{f_i} = \begin{cases} \sqrt{2a_0 s_i + v_i^2}, & s_i \le s_a \\ v_t, & s_a \le s_i \le s_b \\ \sqrt{2a_0 (s_i - s_b) + v_i^2}, & s_b \le s_i \le s_f \end{cases}$$



### 自动驾驶速度分布生成







#### 启动

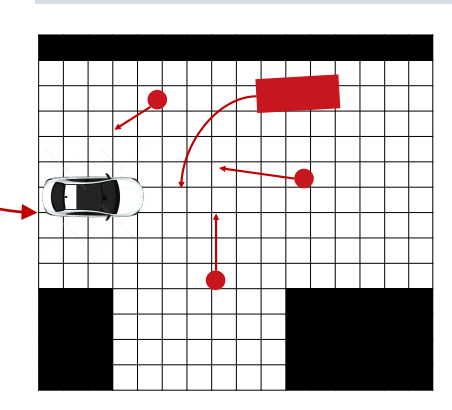


#### 跟车、变道时与前车交互



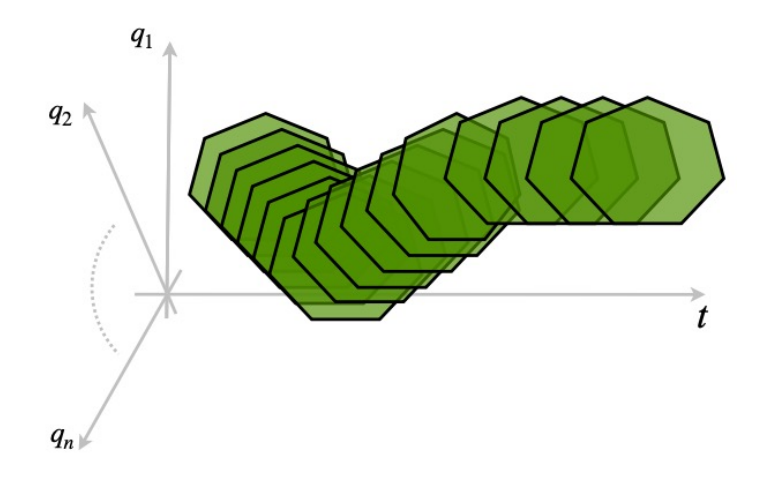


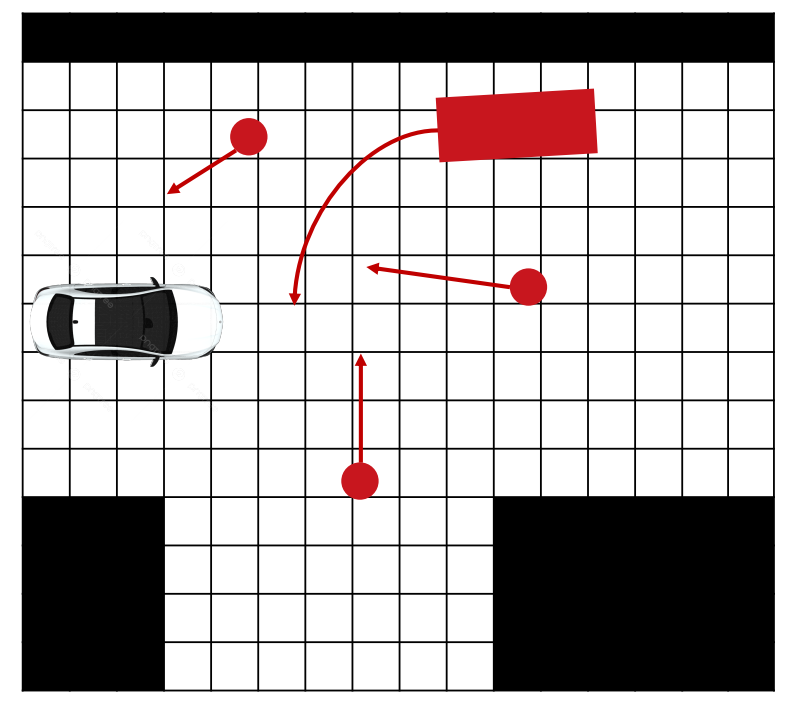
#### 其他复杂交互



### Recap: Hybrid A\* 时空搜索

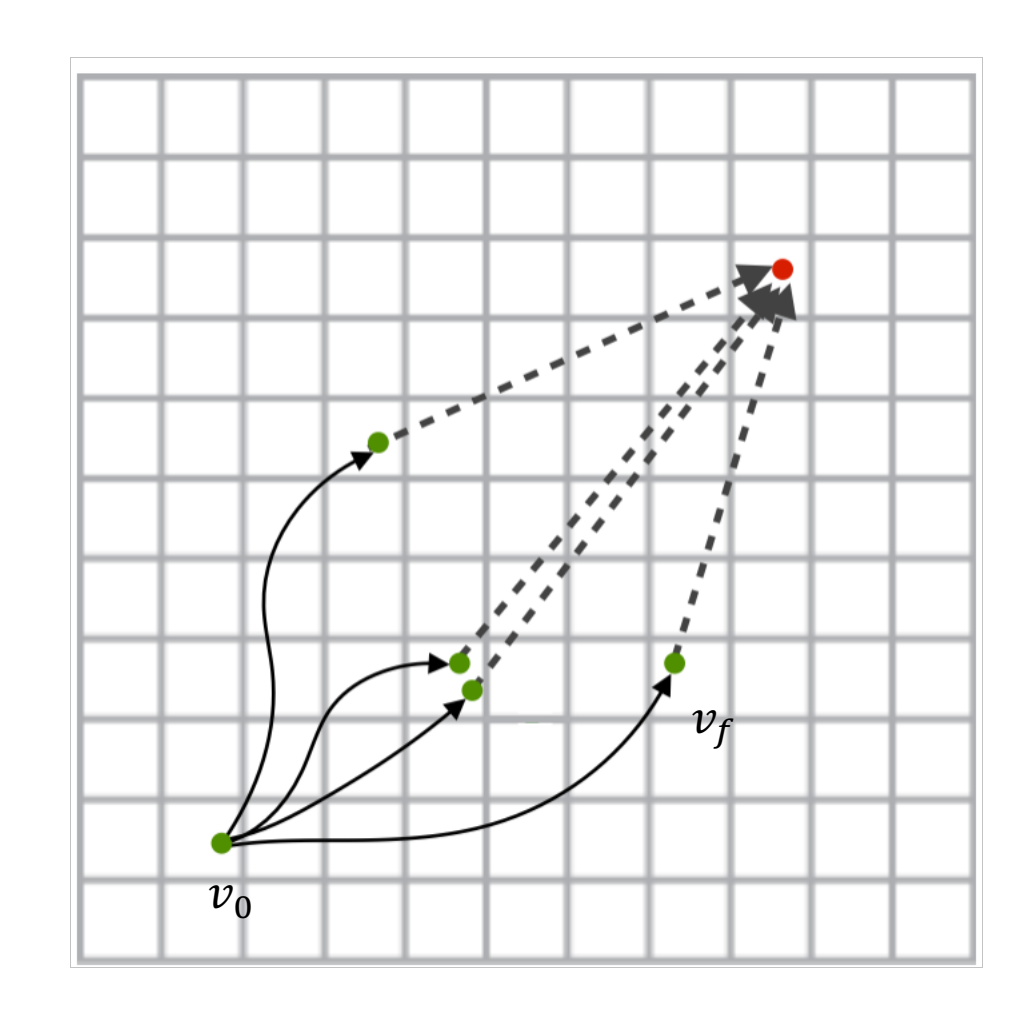
- **⑤ 5D 时空栅格**:  $< x, y, \theta, dir, t >$
- **會自车轨迹扩展:**< q', t + 1 > = < f(q, u), t >
  - 他人/车轨迹预测:  $< q'_{exo}, t+1 >= m(h_{exo}, h, c, t)$
  - 若以下条件满足则碰撞:
    - $< q', t+1 > 与 < q'_{exo}, t+1 > 几何发生重叠$
    - 时间标签必须一致(时空重叠)



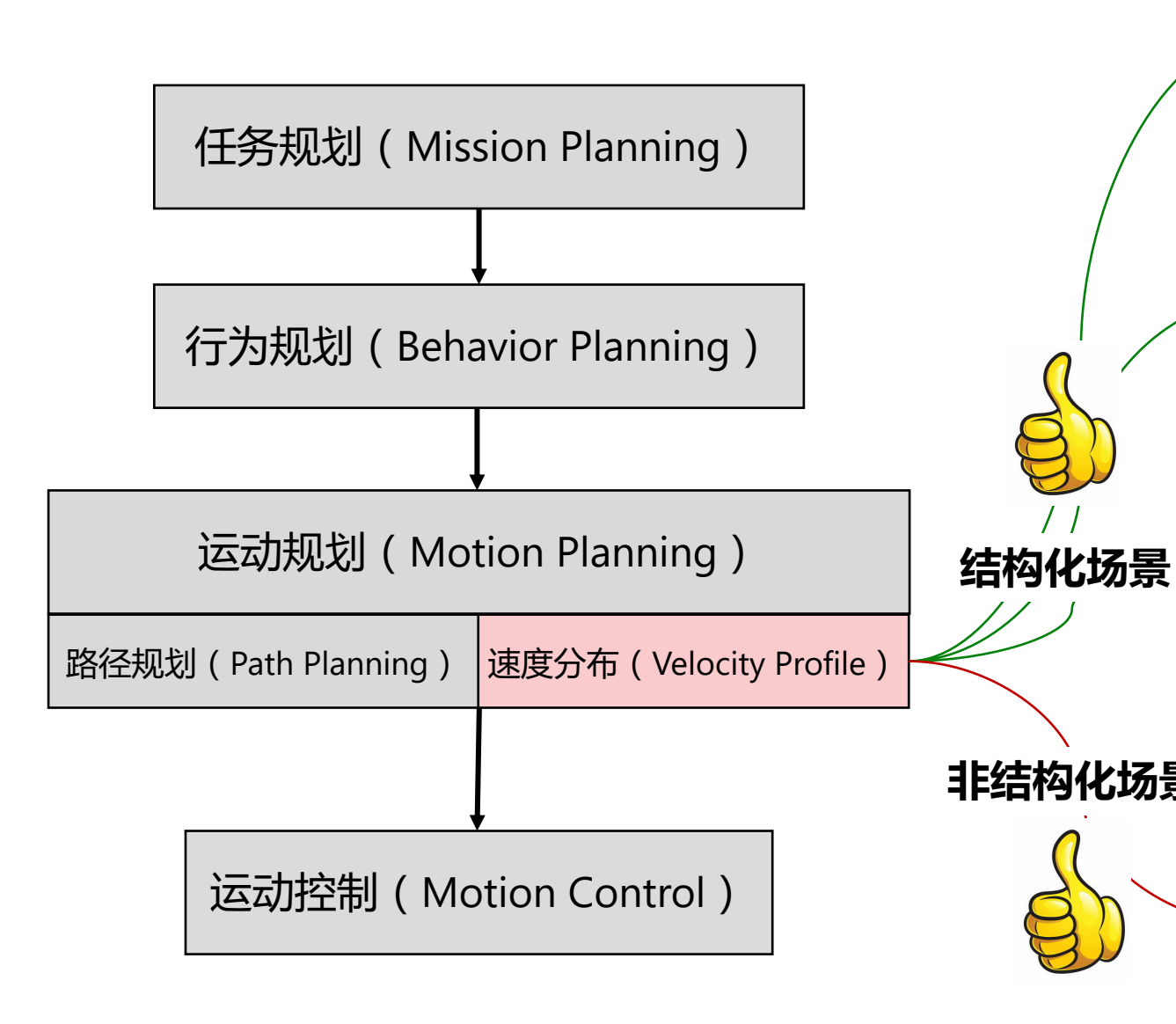


# Hybrid A\* 时空搜索 + 速度控制

- **⑤ 5D 时空栅格**:  $< x, y, \theta, dir, t >$
- **會自车轨迹扩展:**< q', t + 1 > = < f(q, u), t >
  - 他人/车轨迹预测:  $< q'_{exo}, t+1 >= m(h_{exo}, h, c, t)$
  - 若以下条件满足则碰撞:
    - $< q', t+1 > 与 < q'_{exo}, t+1 > 几何发生重叠$
    - 时间标签必须一致(时空重叠)
- **控制输入**:  $u = \langle \phi, v_f \rangle$ 
  - $\phi = \text{ fonda he def}$  of  $\phi = \text{ fonda he def}$
  - $v_f =$ 终点速度
  - $v_f$  也需要受到多方面的限制:
    - 交通限速 (<=60)、红绿灯(=0)
    - 曲率限制(与方向盘角度相关)



# 自动驾驶速度分布生成



# 停车





#### 跟车、变道时与前车交互





#### 其他复杂交互

